

Opérateur DEFI_MATERIAU

1 But

Définir le comportement d'un matériau ou les paramètres associés à la fatigue, au dommage, ou aux méthodes simplifiées.

Les lois de comportement admises actuellement par cet opérateur concernent les domaines suivants : **Mécanique** et **Thermique** linéaires ou non, **Métallurgique** pour la modélisation des aciers, **Hydratation** et **Séchage** pour les bétons, **Fluide** pour l'acoustique, **Thermo-Hydro-Mécanique** pour la modélisation des milieux poreux saturés en thermo-mécanique couplée et la **Mécanique des Sols**.

Si nécessaire, un même matériau peut être défini lors d'un appel à DEFI_MATERIAU avec plusieurs comportements, tels que élastique, thermique, ...

Produit une structure de données de type `mater`.

Table des Matières

1 But.....	1
2 Syntaxe générale.....	14
3 Comportements élastiques généraux.....	18
3.1 Mots clés facteur ELAS, ELAS_FO.....	18
3.1.1 Syntaxe.....	18
3.1.2 Opérandes E/NU	18
3.1.3 Opérande RHO	18
3.1.4 Opérandes ALPHA/TEMP_DEF_ALPHA/PRECISION.....	18
3.1.5 Opérandes AMOR_ALPHA / AMOR_BETA / AMOR_HYST.....	19
3.1.6 Opérandes K_DESSIC / B_ENDOGE.....	19
3.1.7 Opérande FONC_DESORP.....	20
3.2 Mot clé facteur ELAS_FLUI.....	20
3.2.1 Syntaxe.....	20
3.2.2 Opérandes RHO/E/NU	20
3.2.3 Opérandes PROF_RHO_F_INT/PROF_RHO_F_EXIT/COEF_MASS_AJOU.....	21
3.3 Mot clé facteur CABLE.....	21
3.3.1 Syntaxe.....	21
3.3.2 Opérandes d'élasticité.....	21
3.4 Mots clés facteur ELAS_ORTH, ELAS_ORTH_FO.....	21
3.4.1 Syntaxe.....	21
3.4.2 Opérandes d'élasticité.....	22
3.4.3 Cas particulier de l'élasticité cubique :.....	23
3.4.4 Opérande RHO.....	24
3.4.5 Opérandes ALPHA_L / ALPHA_T / ALPHA_N.....	24
3.4.6 Opérandes TEMP_DEF_ALPHA / PRECISION.....	24
3.4.7 Critères de rupture.....	24
3.5 Mots clés facteur ELAS_ISTR, ELAS_ISTR_FO.....	24
3.5.1 Syntaxe.....	25
3.5.2 Opérandes d'élasticité.....	25
3.5.3 Opérande RHO.....	26
3.5.4 Opérandes ALPHA_L / ALPHA_N.....	26
3.5.5 Opérandes TEMP_DEF_ALPHA / PRECISION.....	27
3.6 Mot clés facteur ELAS_COQUE, ELAS_COQUE_FO.....	27
3.6.1 Syntaxe.....	27
3.7 Mot clé facteur ELAS_HYPER.....	28
3.7.1 Syntaxe.....	29
3.7.2 Opérandes C01, C10 et C20.....	29
3.7.3 Opérande NU et K.....	29
3.7.4 Opérande RHO.....	29

3.8 Mot clé facteur ELAS_2NDG.....	30
3.8.1 Syntaxe.....	30
3.8.2 Opérandes A1, A2, A3, A4 et A5.....	30
4 Comportements mécaniques non linéaires généraux.....	31
4.1 Mot clé facteur TRACTION.....	31
4.1.1 Syntaxe.....	31
4.1.2 Opérande SIGM.....	31
4.2 Mots clés facteur ECRO_LINE , ECRO_LINE_FO.....	31
4.2.1 Syntaxe.....	31
4.2.2 Opérandes.....	31
4.3 Mots clés facteur PRAGER, PRAGER_FO.....	32
4.3.1 Syntaxe.....	32
4.4 Mots clés facteur ECRO_PUIS, ECRO_PUIS_FO.....	32
4.4.1 Syntaxe.....	32
4.4.2 Opérandes.....	33
4.5 Mots clés facteur CIN1_CHAB, CIN1_CHAB_FO	33
4.5.1 Syntaxe.....	33
4.6 Mots clés facteur CIN2_CHAB, CIN2_CHAB_FO	34
4.6.1 Syntaxe.....	35
4.7 Mots clés facteurs VISCOCHAB, VISCOCHAB_FO.....	35
4.7.1 Syntaxe.....	36
4.8 Mots clé facteur MEMO_ECRO.....	36
4.8.1 Syntaxe.....	37
4.8.2 Opérandes.....	37
4.9 Mots clés facteur TAHERI, TAHERI_FO.....	37
4.9.1 Syntaxe.....	38
4.10 Mots clés facteurs MONO_VISC1, MONO_VISC2, MONO_VISC3, MONO_CINE1, MONO_CINE2, MONO_ISOT1, MONO_ISOT2, MONO_DD_KR, MONO_DD_CFC, MONO_DD_FAT, MONO_DD_CC.....	38
4.10.1 Syntaxe.....	39
4.11 Mots clés facteur LEMAITRE, LEMAITRE_FO	42
4.11.1 Syntaxe	42
4.12 Mot clé facteur VISC_SINH.....	42
4.12.1 Syntaxe.....	43
4.13 Mot clé LEMA_SEUIL	43
4.13.1 Syntaxe.....	44
4.14 Mot clé facteur VISC_IRRA_LOG.....	44
4.14.1 Syntaxe.....	44
4.15 Mot clé facteur GRAN_IRRA_LOG.....	45
4.15.1 Syntaxe.....	45
4.16 Mots clés facteur IRRAD3M.....	45

4.16.1 Syntaxe.....	45
4.16.2 Opérandes R02/RM/EPSI_U/KAPPA.....	45
4.16.3 Opérandes AI02/ZETA_F/ETAI_S.....	46
4.16.4 Opérandes RG0/ALPHA/PHI0/ZETA_G.....	46
4.17 Mots clés facteur ECRO_COOK.....	46
4.17.1 Syntaxe.....	46
4.17.2 Opérandes.....	46
5 Comportements liés à l'endommagement et la rupture.....	47
5.1 Mots clés facteur ROUSSELIER, ROUSSELIER_FO.....	47
5.1.1 Syntaxe.....	48
5.2 Mots clés VENDOCHAB / VENDOCHAB_FO.....	48
5.2.1 Syntaxe.....	49
5.3 Mots clés VISC_ENDO / VISC_ENDO_FO.....	50
5.3.1 Syntaxe.....	50
5.4 Mot clé facteur NON_LOCAL.....	50
5.4.1 Syntaxe.....	50
5.4.2 Opérandes LONG_CARAC/GRAD_VARI/COEF_RIGI_MINI/C_GONF/PENA_LAGR.....	50
5.5 Mot clé facteur RUPT_FRAG, RUPT_FRAG_FO.....	51
5.5.1 Syntaxe.....	51
5.5.2 Opérande G_C.....	51
5.5.3 Opérande SIGM_C.....	51
5.5.4 Opérande PENADHERENCE.....	52
5.5.5 Opérande PENACONTACT.....	52
5.5.6 Opérandes PENALAGR et RIGI_GLIS.....	52
5.6 Mot clé facteur RUPT_DUCT.....	52
5.6.1 Syntaxe.....	52
5.6.2 Opérande G_C.....	52
5.6.3 Opérande SIGM_C.....	52
5.6.4 Opérandes COEF_EXTR et COEF_PLAS.....	52
5.6.5 Opérandes PENALAGR et RIGI_GLIS.....	52
5.7 Mot clé facteur JOINT_MECA_RUPT.....	52
5.7.1 Syntaxe.....	52
5.7.2 Opérande K_N.....	53
5.7.3 Opérande K_T.....	53
5.7.4 Opérande SIGM_MAX.....	53
5.7.5 Opérande ALPHA.....	53
5.7.6 Opérande PENARUPTURE.....	53
5.7.7 Opérande PENACONTACT.....	53
5.7.8 Opérande PRES_FLUIDE.....	53
5.7.9 Opérande PRES_CLAVAGE.....	53
5.7.10 Opérande RHO_FLUIDE.....	53

5.7.11 Opérande VISC_FLUIDE	53
5.7.12 Opérande OUV_MIN	54
5.8 Mot clé facteur JOINT_MECA_FROT.....	54
5.8.1 Syntaxe.....	54
5.8.2 Opérande K_N.....	54
5.8.3 Opérande K_T.....	54
5.8.4 Opérande MU.....	54
5.8.5 Opérande ADHESION.....	54
5.8.6 Opérande PENA_TANG.....	54
5.9 Mot clé facteur CORR_ACIER.....	55
5.9.1 Syntaxe.....	55
5.9.2 Opérande D_CORR.....	55
5.9.3 Opérandes ECRO_K, ECRO_M.....	55
5.9.4 Opérande SY	55
5.10 Mot clé facteur ENDO_HETEROGENE.....	56
5.10.1 Syntaxe.....	56
5.10.2 Opérande WEIBULL.....	56
5.10.3 Opérande SY.....	56
5.10.4 Opérande KI.....	56
5.10.5 Opérande EPAI.....	56
5.10.6 Opérande GR.....	56
6 Comportements thermiques.....	57
6.1 Mots clés facteur THER, THER_FO.....	57
6.1.1 Syntaxe.....	57
6.1.2 Opérandes LAMBDA / RHO_CP.....	57
6.2 Mot clé facteur THER_ORTH.....	57
6.2.1 Syntaxe.....	57
6.2.2 Opérandes LAMBDA / RHO_CP.....	58
6.3 Mot clé facteur THER_NL	58
6.3.1 Syntaxe.....	58
6.3.2 Opérandes BETA / LAMBDA / RHO_CP.....	58
6.4 Mots clés facteur THER_COQUE, THER_COQUE_FO.....	58
6.4.1 Syntaxe.....	59
6.4.2 Opérandes COND_LMM / COND_LMP / COND_LPP / COND_LSI / COND_TMM / COND_TMP / COND_TPP / COND_TSI.....	59
6.4.3 Opérandes COND_NMM / COND_NMP / COND_NPP / COND_NSI.....	60
6.4.4 Opérandes CMAS_MM / CMAS_MP / CMAS_PP / CMAS_SI.....	60
7 Comportements spécifiques aux bétons.....	61
7.1 Mot clé facteur THER_HYDR.....	61
7.1.1 Syntaxe.....	61
7.1.2 Opérandes LAMBDA / BETA	61

7.1.3 Opérande AFFINITE.....	61
7.1.4 Opérande CHAL_HYDR.....	61
7.2 Mot clé facteur SECH_GRANGER.....	62
7.2.1 Syntaxe.....	62
7.2.2 Opérandes A / B / QSR_K / TEMP_0_C.....	62
7.3 Mot clé facteur SECH_MENSI.....	62
7.3.1 Syntaxe.....	62
7.3.2 Opérandes A / B.....	62
7.4 Mot clé facteur SECH_BAZANT.....	63
7.4.1 Syntaxe.....	63
7.4.2 Opérandes D1 / ALPHA_BAZANT / N / FONC_DESORP.....	63
7.5 Mot clé facteur SECH_NAPPE.....	64
7.5.1 Syntaxe.....	64
7.5.2 Opérande FONCTION.....	64
7.6 Mot clé facteur PINTO_MENEGOTTO.....	64
7.6.1 Syntaxe	66
7.6.2 Opérandes.....	66
7.7 Mots clés facteur BPEL_BETON, BPEL_ACIER	67
7.7.1 Syntaxe.....	67
7.7.2 Opérandes.....	67
7.8 Mot clé facteur BETON_DOUBLE_DP.....	68
7.8.1 Syntaxe.....	68
7.8.2 Opérandes F_C / F_T / COEF_BIAX.....	69
7.8.3 Opérandes ENER_COMP RUPT / ENER_TRAC RUPT / COEF_ELAS_COMP.....	69
7.8.4 Opérandes LONG_CARA.....	69
7.8.5 Opérandes COMP_POST_PIC / TRAC_POST_PIC.....	69
7.9 Mot clé facteur GRANGER_FP, GRANGER_FP_IND, V_GRANGER_FP.....	71
7.9.1 Syntaxe pour le fluage propre.....	71
7.9.2 Opérandes pour le fluage propre.....	71
7.9.3 Syntaxe pour le fluage propre indépendant de la température.....	72
7.9.4 Syntaxe pour le vieillissement.....	72
7.9.5 Opérandes pour le vieillissement.....	72
7.10 Mot clé LABORD_1D.....	72
7.10.1 Syntaxe.....	72
7.10.2 Opérandes.....	73
7.11 Mot clé facteur MAZARS, MAZARS_FO.....	73
7.11.1 Syntaxe.....	73
7.11.2 Opérandes EPSD0.....	74
7.11.3 Opérandes AC / AT / BC / BT.....	74
7.11.4 Opérande BETA	74
7.11.5 Opérande CHI	74

7.12 Mot clé BETON_UMLV_FP.....	74
7.12.1 Syntaxe.....	75
7.12.2 Opérande.....	76
7.13 Mot clé facteur BETON_ECRO_LINE.....	76
7.13.1 Syntaxe.....	76
7.13.2 Opérandes.....	76
7.14 Mot clé facteur ENDO_ORTH_BETON.....	77
7.14.1 Syntaxe.....	77
7.14.2 Opérande ALPHA	77
7.14.3 Opérandes K0 / K1 / K2.....	77
7.14.4 Opérandes ECROB / ECROD.....	77
7.15 Mot clé facteur ENDO_SCALAIRE.....	77
7.15.1 Syntaxe.....	77
7.15.2 Opérande SY	78
7.15.3 Opérandes GAMMA.....	78
7.15.4 Opérandes COEF_RIGI_MINI/DD_MAXI.....	78
7.16 Mots clés facteur GLRC_DM.....	78
7.16.1 Syntaxe.....	78
7.16.2 Opérandes.....	78
7.17 Mot clé BETON_REGLE_PR	80
7.17.1 Syntaxe.....	80
7.17.2 Opérandes.....	80
7.18 Mot clé JOINT_BA.....	80
7.18.1 Syntaxe.....	81
7.18.2 Opérandes.....	81
7.19 Mot clé BETON_RAG.....	82
7.19.1 Syntaxe.....	82
7.19.2 Opérandes.....	83
8 Comportements Méta-Mécaniques.....	85
8.1 Mot clé facteur META_ACIER.....	85
8.1.1 Syntaxe.....	85
8.1.2 Opérandes pour les changements de phases.....	85
8.1.3 Opérandes pour la taille de grains.....	87
8.2 Mot clé facteur META_ZIRC.....	87
8.2.1 Syntaxe.....	87
8.2.2 Opérandes.....	87
8.3 Mot clé facteur DURT_META.....	88
8.3.1 Syntaxe.....	88
8.3.2 Opérandes.....	88
8.4 Mots clés facteur ELAS_META, ELAS_META_FO	89
8.4.1 Syntaxe.....	89

8.4.2 Opérandes.....	90
8.5 Mot clé facteur META_ECRO_LINE.....	91
8.5.1 Syntaxe.....	91
8.5.2 Opérandes.....	91
8.6 Mot clé facteur META_TRACTION.....	92
8.6.1 Syntaxe.....	92
8.7 Mot clé facteur META_VISC_FO.....	92
8.7.1 Syntaxe.....	92
8.7.2 Opérandes F1_ETA/F2_ETA/F3_ETA/F4_ETA/C_ETA.....	93
8.7.3 Opérandes F1_N/F2_N/F3_N/F4_N/C_N.....	93
8.7.4 Opérandes F1_C/F2_C/F3_C/F4_C/C_C.....	93
8.7.5 Opérandes F1_M/F2_M/F3_M/F4_M/C_M.....	94
8.8 Mot clé facteur META_PT.....	94
8.8.1 Syntaxe.....	94
8.8.2 Opérandes.....	94
8.9 Mot clé facteur META_RE.....	95
8.9.1 Syntaxe.....	95
8.9.2 Opérandes.....	95
8.10 Mot clé META_LEMA_ANI.....	95
8.10.1 Syntaxe.....	96
8.10.2 Opérandes.....	97
9 Comportements THERMO-HYDRO-MECANIKES et des sols.....	98
9.1 Mot clé simple COMP_THM.....	98
9.2 Mot clé facteur THM_INIT.....	99
9.2.1 Syntaxe.....	99
9.2.2 Opérande TEMP.....	100
9.2.3 Opérande PRE1.....	100
9.2.4 Opérande PRE2.....	100
9.2.5 Opérande PORO/PRES_VAPE/DEGR_SATU.....	100
9.3 Mot clé facteur THM_LIQU.....	100
9.3.1 Syntaxe.....	100
9.3.2 Opérande RHO.....	101
9.3.3 Opérande UN_SUR_K.....	101
9.3.4 Opérande ALPHA.....	101
9.3.5 Opérande CP.....	101
9.3.6 Opérandes VISC/D_VISC_TEMP.....	101
9.4 Mot clé facteur THM_GAZ.....	101
9.4.1 Syntaxe.....	101
9.4.2 Opérande MASS_MOL.....	101
9.4.3 Opérande CP.....	102
9.4.4 Opérande VISC.....	102

9.4.5 Opérande D_VISC_TEMP.....	102
9.5 Mot clé facteur THM_VAPE_GAZ.....	102
9.5.1 Syntaxe.....	102
9.5.2 Opérande MASS_MOL.....	102
9.5.3 Opérande CP.....	102
9.5.4 Opérande VISC.....	102
9.5.5 Opérande D_VISC_TEMP.....	102
9.6 Mot clé facteur THM_AIR DISS.....	103
9.6.1 Syntaxe.....	103
9.6.2 Opérande CP.....	103
9.6.3 Opérande COEF_HENRY.....	103
9.7 Mot clé facteur THM_DIFFU.....	103
9.7.1 Syntaxe.....	103
9.7.2 Opérandes R_GAZ/RHO/CP/BIOT_COEF.....	104
9.7.3 Opérandes SATU_PRES/D_SATU_PRES.....	104
9.7.4 Opérandes PESA_X/PESA_Y/PESA_Z/PESA_MULT.....	104
9.7.5 Opérande PERM_IN.....	105
9.7.6 Opérandes PERMIN_X/PERMIN_Y/PERMIN_Z.....	105
9.7.7 Opérandes PERM_LIQU/D_PERM_LIQU_SATU.....	105
9.7.8 Opérandes PERM_GAZ/D_PERM_SATU_GAZ.....	105
9.7.9 Opérandes VG_N/VG_PR/VG_SR.....	105
9.7.10 Opérandes VG_SMAX/VG_SATUR.....	105
9.7.11 Opérandes D_PERM_PRES_GAZ.....	106
9.7.12 Opérandes FICKV_T/FICKV_S/FICKV_PG/FICKV_PV.....	106
9.7.13 Opérandes D_FV_T/D_FV_PG.....	106
9.7.14 Opérandes FICKA_T/FICKA_S/FICKA_PA/FICKA_P.....	106
9.7.15 Opérande D_FA_T.....	106
9.7.16 Opérandes LAMB_T/LAMB_S/LAMB_PHI/LAMB_CT.....	106
9.7.17 Opérandes D_LB_T/D_LB_S/D_LB_PHI.....	106
9.7.18 Opérande EMMAG.....	106
9.7.19 Opérande PERM_END.....	107
9.8 Mot clé CAM_CLAY.....	108
9.8.1 Syntaxe.....	108
9.8.2 Opérandes MU/LAMBDA/KAPA.....	108
9.8.3 Opérande M.....	108
9.8.4 Opérande PORO.....	108
9.8.5 Opérandes PRES_CRIT/KCAM.....	108
9.8.6 Opérande PTRAC.....	108
9.9 Mot clé facteur CJS.....	108
9.9.1 Syntaxe.....	109
9.9.2 Opérandes BETA_CJS/RM.....	110

9.9.3 Opérandes N_CJS/KP/RC.....	110
9.9.4 Opérandes A_CJS/R_INIT.....	110
9.9.5 Opérandes B_CJS/C_CJS/PCO/MU_CJS.....	110
9.9.6 Opérandes GAMMA_CJS/PA/Q_INIT.....	111
9.10 Mot clé facteur LAIGLE.....	111
9.10.1 Syntaxe.....	111
9.10.2 Opérandes GAMMA_ULT/GAMMA_E.....	112
9.10.3 Opérande M_ULT/M_E/A_E/M_PIC.....	112
9.10.4 Opérandes A_PIC/ETA/SIGMA_C.....	112
9.10.5 Opérandes GAMMA/KSI.....	112
9.10.6 Opérande GAMMA_CJS.....	112
9.10.7 Opérande SIGMA_P1.....	112
9.10.8 Opérande PA.....	112
112	
9.11 Mot clé facteur LETK.....	113
9.11.1 Syntaxe.....	113
9.11.2 Opérandes PA/ NELAS/SIGMA_C/H0_EXT	113
9.11.3 Opérande GAMMA_CJS/X_AMS/ETA/A_0/A_E/A_PIC.....	114
9.11.4 Opérande ETA/A_0/A_E/A_PIC	114
9.11.5 Opérandes S_0/S_E/M_0/M_E/M_PIC/M_ULT.....	114
9.11.6 Opérandes XI_E/XI_PIC/MV_MAX/XIV_MAX.....	114
9.11.7 Opérandes A/N.....	114
9.11.8 Opérande SIGMA_P1.....	115
9.11.9 Opérandes MU0_V et XI0_V.....	115
9.11.10 Opérandes MU1 et XI1.....	115
9.12 Mot clé facteur DRUCK_PRAGER.....	115
9.12.1 Syntaxe.....	116
9.12.2 Opérande ECROUISSAGE.....	116
9.12.3 Opérande ALPHA.....	116
9.12.4 Opérande P_ULTM.....	116
9.12.5 Opérande SY.....	116
9.12.6 Opérande H.....	116
9.12.7 Opérande SY_ULTM.....	116
9.12.8 Opérande DILAT.....	116
9.13 Mot clé facteur VISC_DRUC_PRAG.....	117
9.13.1 Syntaxe.....	117
9.13.2 Opérandes PREF/ N/A/P_PIC/P_ULT	117
9.13.3 Opérandes ALPHA_0/ALPHA_PIC /ALPHA_ULT	117
9.13.4 Opérandes R_0/R_PIC /R_ULT	118
9.13.5 Opérandes BETA_0 /BETA_PIC /BETA_ULT	118
9.14 Mot clé facteur BARCELONE.....	118

9.14.1 Syntaxe	118
9.14.2 Opérandes MU/PORO/LAMBDA/KAPA/M.....	118
9.14.3 Opérandes PRES_CRIT et PA	119
9.14.4 Opérandes R/BETA/KC.....	119
9.14.5 Opérandes PCO_INIT/KAPAS/LAMBDA/ALPHAB.....	119
9.15 Mot clé facteur HUJEUX.....	120
9.15.1 Syntaxe.....	120
9.15.2 Opérandes N/BETA/B/D/PHI	120
9.15.3 Opérandes ANGDI/PCO/PREF.....	120
9.15.4 Opérandes ACYC/AMON/CCYC/CMON.....	121
9.15.5 Opérandes RD_ELA/RI_ELA.....	121
9.15.6 Opérandes RD_CYC/RI_CYC.....	121
9.15.7 Opérandes RHYS/RMOB/XM/DILA/PTRAC.....	121
9.16 Mot clé facteur HOEK_BROWN.....	121
9.16.1 Syntaxe.....	121
9.16.2 Opérandes GAMMA_RUP/GAMMA_RES.....	122
9.16.3 Opérandes S_END/S_RUP/M_END/M_RUP.....	122
9.16.4 Opérande BETA/ALPHAB.....	122
9.16.5 Opérande PHI_RUP/PHI_RES/PHI_END.....	122
9.17 Mot clé facteur ELAS_GONF.....	122
9.17.1 Syntaxe.....	123
9.17.2 Opérande BETAM.....	123
9.17.3 Opérande PREF.....	123
9.18 Mot clé facteur JOINT_BANDIS.....	123
9.18.1 Syntaxe.....	124
9.18.2 Opérande K.....	124
9.18.3 Opérande DMAX.....	124
9.18.4 Opérande GAMA.....	124
9.18.5 Opérande KT.....	124
9.19 Mot clé facteur THM_RUPT.....	124
9.19.1 Syntaxe.....	124
9.19.2 Opérande OUV_FICT.....	124
9.19.3 Opérande UN_SUR_N.....	124
10 Comportements spécifiques aux éléments 1D.....	126
10.1 Mots clés facteur VMIS_POUTRE, VMIS_POUTRE_FO.....	126
10.1.1 Syntaxe.....	127
10.2 Mot clé facteur ECRO_FLEJOU.....	127
10.2.1 Syntaxe.....	127
10.3 Mot clé facteur ECRO_ASYM_LINE (cf. [R5.03.09]).....	127
10.3.1 Syntaxe.....	128
11 Comportements particuliers.....	129

11.1 Mot clé facteur LEMAITRE_IRRA.....	129
11.1.1 Syntaxe.....	130
11.2 Mot clé facteur LMARC_IRRA.....	130
11.2.1 Syntaxe.....	131
11.3 Mot clé facteur DIS_GRICRA.....	131
11.3.1 Syntaxe.....	132
11.4 Mot clé facteur GATT_MONERIE.....	133
11.4.1 Syntaxe.....	133
11.5 Mot clé facteur DIS_CONTACT.....	133
11.5.1 Syntaxe.....	133
11.5.2 Opérandes RIGI_NOR/RIGI_TAN/AMOR_NOR/AMOR_TAN	134
11.5.3 Opérandes COULOMB/DIST_1/DIST_2/JEU	134
11.6 Mot clé facteur dis_ECRO_cine.....	134
11.6.1 Syntaxe.....	135
11.6.2 Opérandes.....	135
11.7 Mot clé facteur dis_VISC.....	135
11.7.1 Syntaxe.....	136
11.7.2 Opérandes.....	136
11.8 Mot clé facteur dis_bili_elas.....	136
11.8.1 Syntaxe.....	137
11.8.2 Opérandes.....	137
11.9 Mot clé facteur ASSE_CORN	137
11.9.1 Syntaxe.....	137
11.9.2 Opérandes.....	138
11.10 Mot clé facteur ARME	140
11.10.1 Syntaxe.....	140
11.10.2 Opérandes KYE/DLE.....	140
11.10.3 Opérande KYP/DLP.....	140
11.10.4 Opérande KYG.....	140
12 Comportement fluide.....	141
12.1 Mot clé facteur FLUIDE.....	141
12.1.1 Syntaxe.....	141
12.1.2 Opérande RHO.....	141
12.1.3 Opérandes CELE_R/ CELE_C.....	141
13 Données Matériaux associées à des post-traitements.....	142
13.1 Mot clé facteur FATIGUE.....	142
13.1.1 Syntaxe.....	142
13.1.2 Opérande WOHLER.....	142
13.1.3 Opérandes A_BASQUIN / BETA_BASQUIN.....	142
13.1.4 Opérandes A0 / A1 / A2 / A3 / SL	143
13.1.5 Opérande MANSON_COFFIN.....	143

13.1.6 Opérande E_REFE	143
13.1.7 Opérandes D0/TAU0.....	143
13.2 Mot clé facteur DOMMA_LEMAITRE.....	144
13.2.1 Syntaxe.....	144
13.2.2 Opérande S	144
13.2.3 Opérande EPSP_SEUIL.....	144
13.2.4 Opérande EXP_S	144
13.3 Mot clé facteur CISA_PLAN_CRIT	144
13.3.1 Syntaxe.....	144
13.3.2 Opérande MATAKE_A.....	145
13.3.3 Opérande MATAKE_B.....	145
13.3.4 Opérande COEF_FLEX_TORS.....	145
13.3.5 Opérande D_VAN_A.....	145
13.3.6 Opérande D_VAN_B	145
13.3.7 Opérande COEF_CISA_TRAC.....	145
13.3.8 Opérande FATSOC_A.....	145
13.4 Mot clé facteur WEIBULL, WEIBULL_FO.....	146
13.4.1 Syntaxe.....	146
13.4.2 Opérandes.....	147
13.5 Mots clés facteur RCCM, RCCM_FO.....	147
13.5.1 Syntaxe.....	147
13.5.2 Opérande SY_02.....	147
13.5.3 Opérandes SM/SU/SH.....	147
13.5.4 Opérande SC.....	148
13.5.5 Opérande S.....	148
13.5.6 Opérandes N_KE/M_KE.....	148
13.5.7 Opérandes A_AMORC/B_AMORC	148
13.5.8 Opérande D_AMORC	148
13.5.9 Opérande R_AMORC	148
13.6 Mots clés facteur UMAT, UMAT_FO.....	148
13.6.1 Syntaxe.....	148
13.7 Mot clé simple MATER.....	149

2 Syntaxe générale

```
ma [mater] = DEFI_MATERIAU (  
    reuse = mat,      [mater]  
    MATER = mat,      [mater]  
  
    # Comportement Elastiques Généraux [$ 3]  
    | / ELAS,          # voir[$ 3.1]  
    | / ELAS_FO,       #  
    | / ELAS_FLUI,     # voir[$ 3.2]  
    | CABLE,          # voir[$ 3.3]  
    | / ELAS_ORTH,     # voir[$ 3.4]  
    | / ELAS_ORTH_FO,  
    | / ELAS_ISTR,     # voir[$ 3.5]  
    | / ELAS_ISTR_FO,  
    | / ELAS_COQUE,    # voir[$ 3.6]  
    | / ELAS_COQUE_FO,  
    | / ELAS_HYPER,    # voir[$ 3.7]  
    | / ELAS_2NDG,     # voir[$ 3.8]  
  
    # Comportements Mécaniques Non Linéaires Généraux [$ 4]  
  
    | TRACTION,        # voir[$ 4.1]  
    | / ECRO_LINE,     # voir[$ 4.2]  
    | / ECRO_LINE_FO,  
    | / PRAGER,        # voir[$ 4.3]  
    | / PRAGER_FO,  
    | / ECRO_PUIS,     # voir[$ 4.4]  
    | / ECRO_PUIS_FO,  
    | / CIN1_CHAB,     # voir[$ 4.5]  
    | / CIN1_CHAB_FO,  
    | / CIN2_CHAB,     # voir[$ 4.6]  
    | / CIN2_CHAB_FO,  
    | / VISCOCHAB,     # voir[$ 4.7]  
    | / VISCOCHAB_FO,  
    | / MEMO_ECRO,     # voir[$ 4.8]  
    | / MEMO_ECRO_FO,  # voir[$ 4.8]  
    | / TAHERI,        # voir[$ 4.9]  
    | / TAHERI_FO,  
    | MONO_VISC1,      # voir[$4.10]  
    | ECOU_VI SC2,  
    | MONO_VISC3,  
    | MONO_CINE1,  
    | MONO_CINE2,  
    | MONO_ISOT1,  
    | MONO_ISOT2,  
    | MONO_DD_KR,  
    | MONO_DD_CFC,  
    | MONO_DD_FAT,  
    | MONO_DD_CC,  
    | / LEMAITRE,      # voir[$4.11]  
    | / LEMAITRE_FO,  
    | VISC_SINH,       # voir[$4.12]  
    | VISC_SINH_FO,    # voir[$4.12]
```

```
| / LEMA_SEUIL, # voir[$4.13]
| / LEMA_SEUIL_FO,
| VISC_IRRA_LOG, # voir[$4.14]
| GRAN_IRRA_LOG, # voir[$4.15]
| IRRAD3M, # voir[$4.16]
| ECRO_COOK, # voir[$4.17]
# Comportements liés à l'endommagement et la rupture [$5]
| / ROUSSELIER, # voir[$ 5.1]
| / ROUSSELIER_FO,
| / VENDO_CHAB, # voir[$ 5.2]
| / VENDO_CHAB_FO,
| NON_LOCAL, # voir[$ 5.3]
| / RUPT_FRAG, # voir[$ 5.4]
| / RUPT_FRAG_FO,
| CORR_ACIER, # voir[$ 5.5]
# Comportements Thermiques [$ 6]
| / THER, # voir[$ 6.1]
| / THER_FO,
| / THER_ORTH, # voir[$ 6.2]
| / THER_NL, # voir[$ 6.3]
| / THER_COQU, # voir[$ 6.4]
| / THER_COQU_FO,
# Comportements spécifiques aux bétons [$ 7]
| THER_HYDR, # voir[$ 7.1]
| SECH_GRANGER, # voir[$ 7.2]
| SECH_MENSI, # voir[$ 7.3]
| SECH_BAZANT, # voir[$ 7.4]
| SECH_NAPPE, # voir[$ 7.5]
| PINTO_MENEGOTTO, # voir[$ 7.6]
| BPEL_BETON et BPEL_ACIER, # voir[$ 7.7]
| BETON_DOUBLE_BP, # voir[$ 7.8]
| GRANGER_FP, GRANGER_FP_INDT # voir[$ 7.9]
| et V_GRANGER_FP,
|
| LABORD_1D, # voir[$7.10]
| / MAZARS, # voir[$7.11]
| / MAZARS_FO,
| BETON_UMLV_FP, # voir[$7.12]
| ENDO_ORTH_BETON, # voir[$7.13]
| BETON_ECRO_LINE, # voir[$7.14]
| ENDO_SCLAIRE, # voir[$7.15]
| GLRC_DM, # voir[$7.16]
| JOINT_BA, # voir[$7.17]
# Comportements Metallo-Mécaniques [$ 8]
| META_ACIER, # voir[$ 8.1]
| META_ZIRC, # voir[$ 8.2]
| DURT_META, # voir[$ 8.3]
| / ELAS_META, # voir[$ 8.4]
| / ELAS_META_FO,
| META_ECRO_LINE, # voir[$ 8.5]
| META_TRACTION, # voir[$ 8.6]
| META_VISC_FO, # voir[$ 8.7]
| META_PT, # voir[$ 8.8]
| META_RE, # voir[$ 8.9]
| META_LEMA_ANI, # voir[$ 8.10]
| META_LEMA_ANI_FO, # voir[$ 8.10]
```


Comportements Thermo-Hydro-Mécaniques et des sols [\$ 9]

```
COMP_THM      = / 'LIQU_SATU', # voir[$ 9.1]
                / 'LIQU_GAZ',
                / 'GAZ',
                / 'LIQU_GAZ_ATM',
                / 'LIQU_VAPE_GAZ',
                / 'LIQU_VAPE',
                / 'LIQU_SATU_GAT',
                / 'LIQU_NSAT_GAT',
                / 'LIQU_AD_GAZ_VAPE',

| THM_INIT,          # voir[$ 9.2]
| THM_LIQU,          # voir[$ 9.3]
| THM_GAZ,           # voir[$ 9.4]
| THM_VAPE_GAZ,      # voir[$ 9.5]
| THM_AIR_DISS,      # voir[$ 9.6]
| THM_DIFFU,         # voir[$ 9.7]
| CAM_CLAY,          # voir[$ 9.8]
| CJS,               # voir[$ 9.9]
| LAIGLE,            # voir[$ 9.10]
| LETK,              # voir[$ 9.11]
| DRUCK_PRAGER,      # voir[$ 9.12]
| DRUCK_PRAGER_FO,   # voir[$ 9.12]
| VISC_DRUC_PRAG,    # voir[$ 9.13]
| BARCELONE,         # voir[$ 9.14]
| HUJEUX,            # voir[$ 9.15]
| HOEK_BROWN,        # voir[$ 9.16]
| ELAS_GONF,         # voir[$ 9.17]
| JOINT_BANDIS,      # voir[$ 9.18]
```

Comportement spécifiques aux éléments 1D [\$ 10]

```
| / VMIS_POUTRE,          # voir[$ 10.1]
| / VMIS_POUTRE_FO,
| ECRO_FLEJOU,           # voir[$ 10.2]
| ECRO_ASYM_LINE,        # voir[$ 10.3]
```

Comportements particuliers [\$ 11]

```
| LEMAITRE_IRRA,         # voir[$ 11.1]
| LMARC_IRRA,            # voir[$ 11.2]
| DIS_)GRICRA,           # voir[$ 11.3]
| GATT_MONERIE,          # voir[$ 11.4]
| DIS_CONTACT,           # voir[$ 11.5]
| DIS_ECRO_CINE,         # voir[$ 11.6]
| DIS_VISC,              # voir[$ 11.7]
| DIS_BILI_ELAS,         # voir[$ 11.8]
| ASSE_CORN,             # voir[$ 11.9]
| ARME,                  # voir[$ 11.10]
```

Comportement fluide [\$ 12]

```
| FLUIDE,                # voir[$ 12.1]
```

Données Matériaux associés à des post-traitements

à des post-traitements [\$ 13]

```
| FATIGUE,               # voir[$ 13.1]
| DOMMA_LEMAITRE,        # voir[$ 13.2]
| CISA_PLAN_CRIT,        # voir[$ 13.3]
| / WEIBULL,              # voir[$ 13.4]
```

```
        / WEIBULL_FO,  
    |    / RCCM,                # voir[$ 13.5]  
        / RCCM_FO,  
    )
```

Remarques :

La commande `DEFI_MATERIAU` est ré-entrante mais chaque comportement reste unique. On ne permet pas de remplacer un comportement déjà présent dans le matériau, mais seulement d'enrichir le concept.

Pour la plupart des comportements, il est possible de définir des caractéristiques constantes ou bien des caractéristiques dépendant d'une ou deux variables. Nous avons choisi de regrouper les deux mots clés facteurs, les mots clés simples étant identiques dans les deux cas, seuls les arguments se distinguent par le type de concept associé.

Dans la syntaxe de chaque comportement, on adoptera la convention suivante pour indiquer la ou les variables dont peuvent dépendre les concepts de type *fonction*.

```
[fonction *]      'TEMP'  'X', 'Y', 'Z' (deux variables parmi quatre),  
[fonction **]     'TEMP'  
[fonction ***]    'EPSI'  'TEMP'  
[fonction ****]   'ABSC'  
[fonction +]      'INST'  
[fonction ++]     'NORM'  
[fonction +++]    'TEMP'  'IRRA'
```

3 Comportements élastiques généraux

3.1 Mots clés facteur ELAS , ELAS_FO

Définition des caractéristiques élastiques linéaires constantes ou fonctions du paramètre 'TEMP'.

3.1.1 Syntaxe

```
| / ELAS = _F (
    ♦ E = yg, [R]
    ♦ NU = nu, [R]
    ◇ RHO = rho, [R]
    ◇ ALPHA = dil, [R]
    ◇ AMOR_ALPHA = a_alpha, [R]
    ◇ AMOR_BETA = a_beta, [R]
    ◇ AMOR_HYST = eta [R]
)
/ ELAS_FO = _F (
    ♦ E = yg, [fonction]
    ♦ NU = nu, [fonction]
    ◇ RHO = rho, [R]
    ◇ ALPHA = dil, [fonction]
    ◇ AMOR_ALPHA = a_alpha, [fonction]
    ◇ AMOR_BETA = a_beta, [fonction]
    ◇ AMOR_HYST = eta, [fonction]
    ◇ TEMP_DEF_ALPHA = Tdef, [R]
    ◇ PRECISION = / eps, [R]
    / 1.0, [DEFAULT]
    ◇ K_DESSIC = / k, [R]
    / 0.0, [DEFAULT]
    ◇ B_ENDOGE = / e, [R]
    / 0.0, [DEFAULT]
    ◇ FONC_DESORP = f [fonction]
)
```

Les fonctions peuvent dépendre des variables de commandes suivantes :
'TEMP', 'INST', 'HYDR', 'SECH', 'NEUT1', 'NEUT2'.

3.1.2 Opérandes E/NU

E = yg

Module d'Young. On vérifie que $E \geq 0$.

NU = nu

Coefficient de Poisson. On vérifie que $-1. \leq \nu \leq 0.5$.

3.1.3 Opérande RHO

RHO = rho

Masse volumique constante réelle (on n'accepte pas de concept de type `fonction`). Pas de vérification de l'ordre de grandeur.

3.1.4 Opérandes ALPHA/TEMP_DEF_ALPHA/PRECISION

ALPHA = alpha

Coefficient de dilatation thermique isotrope.

Le coefficient de dilatation thermique est un coefficient de dilatation moyen qui peut dépendre de la température T .

Les valeurs des coefficients de dilatation sont déterminées par des essais de dilatométrie qui ont lieu à la température ambiante (0°C ou plus généralement 20°C).

De ce fait, on dispose en général des valeurs du coefficient de dilatation défini par rapport à 20°C (température à laquelle on suppose la déformation thermique nulle).

Certaines études nécessitent de prendre une température de référence différente de la température ambiante (déformation thermique nulle pour une autre température que la température ambiante). Il faut alors effectuer un changement de repère dans le calcul de la déformation thermique [R4.08.01].

TEMP_DEF_ALPHA = Tdef [R]

C'est la valeur de la température à laquelle les valeurs du coefficient de dilatation thermique ont été déterminées, et ont été renseignées sous le mot clé ALPHA.

Ce mot clé devient obligatoire dès que l'on a renseigné ALPHA.

Le calcul de la déformation thermique se fait par la formule [R4.08.01] :

$$e^{th}(T) = \hat{\alpha}(T)(T - T_{ref}) \text{ avec } \hat{\alpha}(T) = \frac{\alpha(T)(T - T_{def}) - \alpha(T_{ref})(T_{ref} - T_{def})}{T - T_{ref}}$$

et

$$e^{th}(T_{ref}) = 0$$

Remarque :

Il n'est pas possible d'utiliser une formule pour ALPHA, en raison des modifications à prendre en compte décrites ci-dessus. L'utilisateur, s'il désire utiliser une formule, doit d'abord la tabuler à l'aide de la commande CALC_FONC_INTERP.

PRECISION = / prec
/ 1. [DEFAULT]

Ce mot clé est utilisé lorsque le mot clé TEMP_DEF_ALPHA est spécifié.

C'est un réel qui indique avec quelle précision une température T_i (de la liste des températures servant à la définition de $\alpha(T_i)_{i=1,N}$) est proche de la température de référence T_{ref} .

Ce réel sert au calcul de la fonction $\hat{\alpha}(T_i)$. La formule mathématique permettant le calcul de $\hat{\alpha}(T_i)$ est différente selon que $T_i \neq T_{ref}$ ou $T_i = T_{ref}$.

3.1.5 Opérandes AMOR_ALPHA / AMOR_BETA / AMOR_HYST

AMOR_ALPHA = a_alpha
AMOR_BETA = a_beta

Coefficients α et β permettant de construire une matrice d'amortissement visqueux proportionnel à la rigidité et/ou à la masse $[C] = \alpha[K] + \beta[M]$. On se reportera aux documents de modélisation de l'amortissement mécanique [U2.06.03] et [R5.05.04].

AMOR_HYST = eta

Coefficient η d'amortissement hystérétique permettant de définir le module d'Young complexe (matériau visco-élastique) à partir duquel sera créée la matrice de rigidité complexe permettant le calcul de la réponse harmonique [U2.06.03] et [R5.05.04].

Remarque :

La présence des mots clés AMOR_ALPHA et AMOR_BETA associés à une valeur nulle, peut conduire, dans certains algorithmes, à assembler une matrice d'amortissement et engendre ainsi des coût de calcul supplémentaires.

3.1.6 Opérandes K_DESSIC / B_ENDOGE

K_DESSIC = k

Coefficient de retrait de dessiccation.

K_ENDOGE = e

Coefficient de retrait endogène.

Ces caractéristiques sont utilisées avec les comportements du béton (voir réf.[R7.01.12]).

3.1.7 Opérande FONC_DESORP

FONC_DESORP = f

courbe de sorption-désorption [R7.01.12] donnant l'hygrométrie h en fonction de la teneur en eau C .

3.2 Mot clé facteur ELAS_FLUI

Le mot clé ELAS_FLUI permet de définir la masse volumique équivalente d'une structure tubulaire avec fluide interne et externe, en prenant en compte l'effet de confinement.

Cette opération s'inscrit dans le cadre de l'étude du comportement dynamique d'une configuration du type "faisceau de tubes sous écoulement transverse". L'étude du comportement du faisceau est ramenée à l'étude d'un tube unique représentatif de l'ensemble du faisceau. Réf [U4.35.02]

La masse volumique équivalente de la structure ρ_{eq} est définie par :

$$\rho_{eq} = \frac{I}{(d_e^2 - d_i^2)} \left[\rho_i d_i^2 + \rho_t (d_e^2 - d_i^2) + \rho_e d_e^2 \right]$$
$$d_{eq}^2 = \frac{2 \cdot C_m \cdot d_e^2}{\pi}$$

ρ_i , ρ_e , ρ_t sont respectivement la masse volumique du fluide, du fluide externe et de la structure.

d_e , d_i sont respectivement le diamètre externe et interne du tube.

C_m est un coefficient de masse ajoutée (qui définit le confinement).

3.2.1 Syntaxe

```
| ELAS_FLUI = _F (
|
|   ♦ RHO                = rho,                [R]
|   ♦ E                  = yg,                [R]
|   ♦ NU                  = nu,                [R]
|   ♦ PROF_RHO_F_INT = rhoi,                [fonction****]
|   ♦ PROF_RHO_F_EXT = rhoe,                [fonction****]
|   ♦ COEF_MASS_AJOU = fonc_cm                [fonction****]
| )
```

3.2.2 Opérandes RHO/E/NU

RHO = rho

Masse volumique du matériau.

E = yg

Module d'Young.

NU = nu

Coefficient de Poisson.

3.2.3 Opérandes PROF_RHO_F_INT/PROF_RHO_F_EXIT/COEF_MASS_AJOU

PROF_RHO_F_INT = rhoi

Concept de type [fonction] définissant le profil de masse volumique du fluide interne le long du tube. Cette fonction est paramétrée par l'abscisse curviligne.

PROF_RHO_F_EXT = rhoe

Concept de type [fonction] définissant le profil de masse volumique du fluide externe le long du tube. Cette fonction est paramétrée par l'abscisse curviligne, 'ABSC'.

COEF_MASS_AJOU = fonc_cm

Concept de type [fonction] produit par l'opérateur FONC_FLUI_STRU [U4.35.02].

Cette fonction constante, paramétrée par l'abscisse curviligne, fournit la valeur du coefficient de masse ajoutée C_m .

3.3 Mot clé facteur CABLE

Définition de la caractéristique élastique non linéaire, constante, pour les câbles : deux comportements élastiques différents en traction et en compression, définis par les modules d'Young E et EC (module en compression).

Les caractéristiques standard du matériau élastique sont à renseigner sous le mot clé facteur ELAS.

3.3.1 Syntaxe

```
| CABLE = _F (
|   EC_SUR_E = / ecse, [R]
|               / 1.D-4, [DEFAULT]
| )
```

3.3.2 Opérandes d'élasticité

◇ EC_SUR_E = ecse

Rapport des modules à la compression et à la traction. Si le module de compression est nul, le système linéaire global aux déplacements peut devenir singulier. C'est le cas lorsqu'un nœud n'est connecté qu'à des câbles et que ceux-ci entrent tous en compression.

3.4 Mots clés facteur ELAS_ORTH, ELAS_ORTH_FO

Définition des caractéristiques élastiques orthotropes constantes ou fonctions de la température pour les éléments de coque et les éléments massifs isoparamétriques ou les couches constitutives d'un composite (cf. DEFI_COQU_MULT).

3.4.1 Syntaxe

```
| / ELAS_ORTH = _F (
|   ◆ E_L = ygl, [R]
|   ◆ E_T = ygt, [R]
|   ◇ E_N = ygn, [R]
|   ◆ G_LT = glt, [R]
|   ◇ G_TN = gtn, [R]
|   ◇ G_LN = gln, [R]
|   ◆ NU_LT = nult, [R]
|   ◇ NU_TN = nutn, [R]
|   ◇ NU_LN = nuln, [R]
|   ◇ ALPHA_L = / dil, [R]
|               / 0.0, [DEFAULT]
|   ◇ ALPHA_T = / dit, [R]
|               / 0.0, [DEFAULT]
|   ◇ ALPHA_N = / din, [R]
|               / 0.0, [DEFAULT]
```

```

      ◇ RHO              = / rho,          [R]
                          / 0.0,          [DEFAULT]
      ◇ XT              = / trl,          [R]
                          / 1.0,          [DEFAULT]
      ◇ XC              = / col,          [R]
                          / 1.0,          [DEFAULT]
      ◇ YT              = / trt,          [R]
                          / 1.0,          [DEFAULT]
      ◇ YC              = / cot,          [R]
                          / 1.0,          [DEFAULT]
      ◇ S_LT            = / cis,          [R]
                          / 1.0,          [DEFAULT]
      ◇ AMOR_ALPHA      = alp,           [R]
      ◇ AMOR_BETA       = bet,           [R]
      ◇ AMOR_MYST       = eta            [R]
    )
  / ELAS_ORTH_FO =_F (
    ◆ E_L              = ygl,            [fonction**]
    ◆ E_T              = ygt,            [fonction**]
    ◇ E_N              = ygn,            [fonction**]
    ◆ G_LT             = glt,            [fonction**]
    ◆ G_TN             = gtn,            [fonction**]
    ◆ G_LN             = gln,            [fonction**]
    ◆ NU_LT            = nult,           [fonction**]
    ◇ NU_TN            = nutn,           [fonction**]
    ◆ NU_LN            = nuln,           [fonction**]
    ◇ ALPHA_L          = dil,            [fonction**]
    ◇ ALPHA_T          = dit,            [fonction**]
    ◇ ALPHA_N          = din,            [fonction**]
    ◇ RHO              = / rho,          [R]
                          / 0.0,          [DEFAULT]
    ◇ TEMP_DEF_ALPHA   = Tdef,           [R]
    ◇ PRECISION        = /eps,           [R]
                          /1.,           [DEFAULT]
    ◇ AMOR_ALPHA       = alp,            [R]
    ◇ AMOR_BETA        = bet,            [R]
    ◇ AMOR_MYST        = eta             [R]
  )

```

3.4.2 Opérands d'élasticité

Le lecteur pourra se reporter aux documentations suivantes :

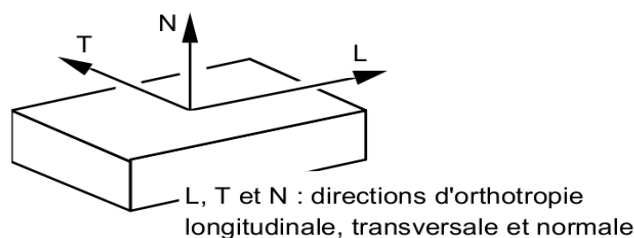
[U4.42.03] DEFI_COQU_MULT

[U4.42.01] AFFE_CARA_ELEM

facteur

pour définir le repère d'orthotropie (L, T, N) lié aux éléments.

E_L = ygl Module d'Young longitudinal.



E_T = ygt Module d'Young transversal.

E_N = ygn Module d'Young normal.

GL_T = glt Module de cisaillement dans le plan LT .
G_TN = gtn Module de cisaillement dans le plan TN .
G_LN = gln Module de cisaillement dans le plan LN .

Remarque :

Pour les coques, les modules de cisaillement transversaux ne sont pas obligatoires ; dans ce cas, on calcule en coque mince en affectant une rigidité infinie au cisaillement transversal (éléments DST, DSQ et Q4G).

NU_LT = nult coefficient de Poisson dans le plan LT .

Remarques importantes :

$nult$ n'est pas égal à $nutl$. En fait, on a la relation : $nult = \frac{ygt}{ygl} \cdot nutl$

$nult$ doit s'interpréter de la manière suivante :

si l'on exerce une traction selon l'axe L donnant lieu à une déformation selon cet axe égale

à $\varepsilon_L = \frac{\sigma_l}{ygl}$, on a une déformation selon l'axe T égale à : $\varepsilon_t = -nult \cdot \frac{\sigma_l}{ygl}$.

Les différents coefficients d'élasticité E_L , G_{LN} et NU_{LN} ne peuvent pas être choisis de façon quelconque : physiquement, il faut toujours qu'une déformation non nulle provoque une énergie de déformation strictement positive. Cela se traduit par le fait que la matrice de Hooke doit être définie positive. L'opérateur DEFI_MATERIAU calcule les valeurs propres de cette matrice et émet une alarme si cette propriété n'est pas vérifiée.

Pour les modèles 2D, comme l'utilisateur n'a pas encore choisi sa MODELISATION (D_PLAN , C_PLAN , ...), on vérifie la positivité de la matrice dans les différents cas de figure.

NU_TN = nutn Coefficient de Poisson dans le plan TN .

NU_LN = nuln Coefficient de Poisson dans le plan LN .

La remarque faite pour NU_LT est à appliquer à ces deux derniers coefficients. On a ainsi les relations :

$$nunt = \frac{ygn}{ygt} \cdot nutn$$

$$nunl = \frac{ygn}{ygt} \cdot nuln$$

3.4.3 Cas particulier de l'élasticité cubique :

L'élasticité cubique correspond à une matrice d'élasticité de la forme :

$$\begin{matrix} y_{1111} & y_{1122} & y_{1122} \\ y_{1122} & y_{1111} & y_{1122} \\ y_{1122} & y_{1122} & y_{1111} \\ & & & y_{1212} \\ & & & & y_{1212} \\ & & & & & y_{1212} \end{matrix}$$

Étant donnée la symétrie cubique, il reste à déterminer 3 coefficients:

$$E_L = E_N = E_T = E, G_{LT} = G_{LN} = G_{TN} = G, \nu_{LN} = \nu_{LT} = \nu_{TN} = \nu$$

Pour reproduire l'élasticité cubique avec ELAS_ORTH, il suffit de calculer les coefficients de l'orthotropie tels que la matrice d'élasticité obtenue soit de la forme ci-dessus :

$$y_{1111} = \frac{E(1-\nu^2)}{(1-3\nu^2-2\nu^3)}$$

$$y_{1122} = \frac{E\nu(1+\nu)}{(1-3\nu^2-2\nu^3)}$$

$$y_{1212} = G_{LT} = G_{ln} = G_{TN}$$

donc, tant que $(1-3\nu^2-2\nu^3) \neq 0$ (c'est à dire ν différent de 0.5).

$$\frac{y_{1122}}{y_{1111}} = \frac{\nu}{1-\nu} \text{ ce qui fournit } \nu = \frac{1}{1 + \frac{y_{1111}}{y_{1122}}} \text{ puis } E = y_{1111} \frac{(1-3\nu^2-2\nu^3)}{(1-\nu^2)}$$

3.4.4 Opérande RHO

RHO = rho

Masse volumique.

3.4.5 Opérands ALPHA_L / ALPHA_T / ALPHA_N

ALPHA_L = dil

Coefficient de dilatation thermique moyen longitudinal.

ALPHA_T = dit

Coefficient de dilatation thermique moyen transversal.

ALPHA_N = din

Coefficient de dilatation thermique moyen normal.

3.4.6 Opérands TEMP_DEF_ALPHA / PRECISION

On se reportera au paragraphe [§3.1.4]. Ce mot clé devient obligatoire dès que l'on a renseigné ALPHA_L, ou ALPHA_T ou ALPHA_N.

3.4.7 Critères de rupture

XT = trl

Critère de rupture en traction dans le sens longitudinal (première direction d'orthotropie).

XC = col

Critère de rupture en compression dans le sens longitudinal.

YT = trt

Critère de rupture en traction dans le sens transversal (seconde direction d'orthotropie).

YC = cot

Critère de rupture en compression dans le sens transversal.

S_LT = cis

Critère de rupture en cisaillement dans le plan LT.

3.5 Mots clés facteur ELAS_ISTR , ELAS_ISTR_FO

Définition des caractéristiques élastiques constantes ou fonctions de la température dans le cas de l'isotropie transverse pour les éléments de coque et les éléments massifs isoparamétriques.

En reprenant les mêmes notations que pour l'orthotropie [§3.4], l'isotropie transverse signifie ici, l'isotropie dans le plan (L, T) [R4.01.02].

3.5.1 Syntaxe

```
| / ELAS_ISTR = _F (
    ♦ E_L           = ygl ,      [R]
    ♦ E_N           = ygn ,      [R]
    ♦ G_LN          = gln ,      [R]
    ♦ NU_LT         = nult ,     [R]
    ♦ NU_LN         = nuln ,     [R]
    ◇ ALPHA_L       = / dil ,    [R]
                                / 0.0 , [DEFAULT]
    ◇ ALPHA_N       = / din ,    [R]
                                / 0.0 , [DEFAULT]
    ◇ RHO           = / rho ,    [R]
                                / 0.0 , [DEFAULT]
)
/ ELAS_ISTR_FO = _F (
    ♦ E_L           = ygl ,      [fonction**]
    ♦ E_N           = ygn ,      [fonction**]
    ♦ G_LN          = gln ,      [fonction**]
    ♦ NU_LT         = nult ,     [fonction**]
    ♦ NU_LN         = nuln ,     [fonction**]
    ◇ ALPHA_L       = dil ,      [fonction**]
    ◇ ALPHA_N       = din ,      [fonction**]
    ◇ RHO           = /rho ,     [R]
                                /0.0 , [DEFAULT]
    ◇ TEMP_DEF_ALPHA = Tdef ,    [R]
    ◇ PRECISION     = / eps ,   [R]
                                / 1.0 [DEFAULT]
)
```

3.5.2 Opérandes d'élasticité

Le lecteur pourra se reporter aux documentations suivantes :

[U4.42.03] DEFI_COQU_MULT

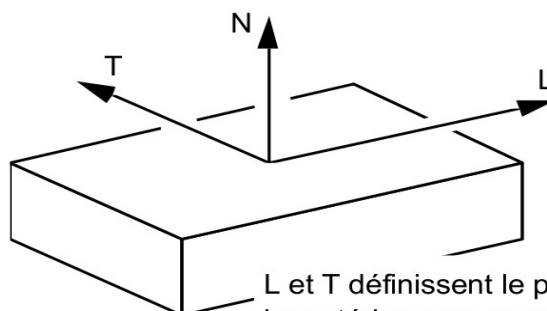
[U4.42.01] AFFE_CARA_ELEM

[R4.01.02] Orthotropie

pour définir un repère (L, T, N) lié aux éléments et définissant l'isotropie transverse du matériau, ce dernier étant isotrope dans le plan LT .

Remarque :

| Les directions L et T sont arbitraires dans le plan LT .



L et T définissent le plan dans lequel
le matériau a un caractère isotrope

$E_L = ygl$

Module d'Young dans le plan LT .

 $E_N = ygn$

Module d'Young normal.

 $GL_N = gln$

Module de cisaillement dans le plan LN .

Remarque :

Le module de cisaillement dans le plan LT est défini par la formule usuelle pour les matériaux isotropes : $G = \frac{E}{2(1+\nu)}$ soit ici $glt = \frac{ygl}{2(1+nult)}$.

 $NU_LT = nult$

Coefficient de Poisson dans le plan LT .

 $NU_LN = nuln$

Coefficient de Poisson dans le plan LN .

Remarques importantes :

$nult = nultl$ puisque le matériau a un caractère isotrope dans la plan LT , mais $nuln$ n'est pas égal à $nunl$.

On a la relation : $nunl = \frac{ygn}{ygl} \cdot nuln$

$nunl$ doit s'interpréter de la manière suivante :

si l'on exerce une traction selon l'axe N donnant lieu à une déformation de traction selon cet axe égale à $\varepsilon_N = \frac{\sigma_N}{ygn}$, on a une compression selon l'axe L égale à : $nunl \cdot \frac{\sigma_N}{ygn}$.

Les différents coefficients d'élasticité E_L , G_LN et NU_LN ne peuvent pas être choisis de façon quelconque : physiquement, il faut toujours qu'une déformation non nulle provoque une énergie de déformation strictement positive. Cela se traduit par le fait que la matrice de Hooke doit être définie positive. L'opérateur DEFI_MATERIAU calcule les valeurs propres de cette matrice et émet une alarme si cette propriété n'est pas vérifiée.

Pour les modèles 2D, comme l'utilisateur n'a pas encore choisi sa MODELISATION (D_PLAN , C_PLAN , ...), on vérifie la positivité de la matrice dans les différents cas de figure.

3.5.3 Opérande RHO

 $RHO = rho$

Masse volumique.

3.5.4 Opérands ALPHA_L / ALPHA_N

 $ALPHA_L = dil$

Coefficient de dilatation thermique moyen dans le plan LT .

 $ALPHA_N = din$

Coefficient de dilatation thermique moyen normal.

3.5.5 Opérandes TEMP_DEF_ALPHA / PRECISION

On se reportera au paragraphe [§3.1.4]. Ce mot clé devient obligatoire dès que l'on a renseigné le mot clé ALPHA_L ou ALPHA_N.

3.6 Mot clés facteur ELAS_COQUE , ELAS_COQUE_FO

ELAS_COQUE permet à l'utilisateur de fournir directement les coefficients de la matrice d'élasticité (décomposée en membrane et flexion) des coques minces orthotropes en élasticité linéaire [R3.07.03].

3.6.1 Syntaxe

```
|/ ELAS_COQUE      = _F      (
/ ELAS_COQUE_FO = _F
    ◇ MEMB_L          = C1111 , [R] ou [fonction**]
    ◇ MEMB_LT         = C1122 , [R] ou [fonction**]
    ◇ MEMB_T          = C2222 , [R] ou [fonction**]
    ◇ MEMB_G_LT       = C1212 , [R] ou [fonction**]
    ◇ FLEX_L          = D1111 , [R] ou [fonction**]
    ◇ FLEX_LT         = D1122 , [R] ou [fonction**]
    ◇ FLEX_T          = D2222 , [R] ou [fonction**]
    ◇ FLEX_G_LT       = D1212 , [R] ou [fonction**]
    ◇ CISA_L          = G11 , [R] ou [fonction**]
    ◇ CISA_T          = G22 , [R] ou [fonction**]
    ◇ RHO              = rho , [R] ou [fonction**]
    ◇ ALPHA           = alpha , [R] ou [fonction**]
    ◇ M_LLLL          = H1111 , [R] ou [fonction**]
    ◇ M_LLTT          = H1111 , [R] ou [fonction**]
    ◇ M_LLLT          = H1112 , [R] ou [fonction**]
    ◇ M_TTTT          = H2222 , [R] ou [fonction**]
    ◇ M_TTLT          = H2212 , [R] ou [fonction**]
    ◇ M_LTLT          = H1212 , [R] ou [fonction**]
    ◇ F_LLLL          = A1111 , [R] ou [fonction**]
    ◇ F_LLLL          = A1111 , [R] ou [fonction**]
    ◇ F_LLLT          = A1112 , [R] ou [fonction**]
    ◇ F_TTTT          = A2222 , [R] ou [fonction**]
    ◇ F_TTLT          = A2212 , [R] ou [fonction**]
    ◇ F_LTLT          = A1212 , [R] ou [fonction**]
    ◇ MF_LLLL         = B1111 , [R] ou [fonction**]
    ◇ MF_LLTT         = B1111 , [R] ou [fonction**]
    ◇ MF_LLLT         = B1112 , [R] ou [fonction**]
    ◇ MF_TTTT         = B2222 , [R] ou [fonction**]
    ◇ MF_TTLT         = B2212 , [R] ou [fonction**]
    ◇ MF_LTLT         = B1212 , [R] ou [fonction**]
    ◇ MC_LLLZ         = E1111 , [R] ou [fonction**]
    ◇ MC_LLTZ         = E1111 , [R] ou [fonction**]
    ◇ MC_TTLZ         = E1112 , [R] ou [fonction**]
    ◇ MC_TTTZ         = E2222 , [R] ou [fonction**]
    ◇ MC_LTLZ         = E2212 , [R] ou [fonction**]
    ◇ MC_LTTZ         = E1212 , [R] ou [fonction**]
    ◇ FC_LLLZ         = F1111 , [R] ou [fonction**]
    ◇ FC_LLTZ         = F1111 , [R] ou [fonction**]
    ◇ FC_TTLZ         = F1112 , [R] ou [fonction**]
    ◇ FC_TTTZ         = F2222 , [R] ou [fonction**]
    ◇ FC_LTLZ         = F2212 , [R] ou [fonction**]
    ◇ FC_LTTZ         = F1212 , [R] ou [fonction**]
    ◇ C_LZLZ          = G1313 , [R] ou [fonction**]
    ◇ C_TZTZ          = G2323 , [R] ou [fonction**]
    ◇ C_TZTZ          = G1323 , [R] ou [fonction**]
    )
```

La matrice de comportement intervenant dans la matrice de rigidité en élasticité homogène isotrope est de la forme :

Membrane :	Flexion :	Cisaillement :
$C = \frac{Eh}{1-\nu^2} \begin{vmatrix} 1 & \nu & 0 \\ \nu & 1 & 0 \\ 0 & 0 & \left(\frac{1-\nu}{2}\right) \end{vmatrix}$	$D = \frac{Eh^3}{12(1-\nu^2)} \begin{vmatrix} 1 & \nu & 0 \\ \nu & 1 & 0 \\ 0 & 0 & \left(\frac{1-\nu}{2}\right) \end{vmatrix}$	$G = \frac{5Eh}{12(1+\nu)} \begin{vmatrix} 1 & 0 \\ 0 & 1 \end{vmatrix}$

Pour les coques orthotropes dont les modules d'élasticité sont obtenus par une méthode d'homogénéisation, il n'est pas possible dans le cas général de trouver un module d'Young équivalent E_{eq} , et une épaisseur équivalente h_{eq} pour retrouver les expressions précédentes.

Les matrices de rigidité sont donc données directement sous la forme :

Membrane :	Flexion :	Cisaillement :
$C = \begin{vmatrix} C1111 & C1122 & 0 \\ C1122 & C2222 & 0 \\ 0 & 0 & C1212 \end{vmatrix}$	$D = \begin{vmatrix} D1111 & D1122 & 0 \\ D1122 & D2222 & 0 \\ 0 & 0 & D1212 \end{vmatrix}$	$G = \begin{vmatrix} G11 & 0 \\ 0 & G22 \end{vmatrix}$

En revanche, on se limite aux cas où le coefficient de dilatation thermique est homogène isotrope.

Ces coefficients sont à fournir dans le repère local de l'élément. Il est défini par le mot-clé ANGL_REP de AFFE_CARA_ELEM [U4.42.01].

Remarque concernant la prise en compte du cisaillement transverse suivant les modèles de coques :

Si on souhaite utiliser ELAS_COQUE avec du cisaillement transverse il faut nécessairement employer la modélisation DST. Si on utilise la modélisation DKT, le cisaillement transverse ne sera pas pris en compte, quelque soient les valeurs de G11 et G22. La correspondance pour un matériau isotrope est la suivante :

- Le matériau ELAS_COQUE, modélisation DST avec $CISA_* = 5/12 \times (Eh/(1+\nu))$ est équivalent au matériau ELAS, modélisation DST.
- Le matériau ELAS_COQUE, modélisation DST avec $CISA_* = 5/12 \times (Eh/(1+\nu)) \times N$, où N est un grand nombre (par exemple 10^5), est équivalent au matériau ELAS, modélisation DKT.
- Le matériau ELAS_COQUE, modélisation DKT est équivalent au matériau ELAS, modélisation DKT.

Les matrices de comportement reliant les efforts généralisés aux déformations pour les éléments de plaque et prenant en compte les termes de couplage sont définies de la façon suivante :

Membrane :	Flexion :	Cisaillement :
$HM = \begin{vmatrix} H1111 & H1122 & H1112 \\ 0 & H2222 & H2212 \\ 0 & 0 & H1212 \end{vmatrix}$	$HF = \begin{vmatrix} A1111 & A1122 & A1112 \\ 0 & A2222 & A2212 \\ 0 & 0 & A1212 \end{vmatrix}$	$HMF = \begin{vmatrix} B1111 & B1122 & B1112 \\ 0 & B2222 & B2212 \\ 0 & 0 & B1212 \end{vmatrix}$
Membrane-cisaillement :	Flexion-cisaillement :	Cisaillement :
$HMC = \begin{vmatrix} E1113 & E1123 \\ E2213 & E2223 \\ E1213 & E1223 \end{vmatrix}$	$HFC = \begin{vmatrix} F1113 & F1123 \\ F2213 & F2223 \\ F1213 & F1223 \end{vmatrix}$	$HC = \begin{vmatrix} G1313 & G1323 \\ G1323 & G2323 \end{vmatrix}$

3.7 Mot clé facteur ELAS_HYPER

Définition des caractéristiques hyper-élastiques de type Signorini [R5.03.19]. Les contraintes de Piola Kirchhoff S sont reliées aux déformations de Green-Lagrange par :

$$S = \frac{\partial \Psi}{\partial E} \quad \text{avec :} \quad \Psi = C10(I_1 - 3) + C01(I_2 - 3) + C20(I_1 - 3)^2 + \frac{1}{2}K(J - 1)^2 \quad \text{et}$$

$$I_1 = I_c J^{-\frac{2}{3}}, I_2 = II_c J^{-\frac{4}{3}}, J = III_c^{\frac{1}{3}},$$

où I_c , II_c et III_c sont les 3 invariants de tenseur de Cauchy-Green droit.

3.7.1 Syntaxe

```
| ELAS_HYPER= _F (
|   ◆ C10      = c10,          [R]
|   ◇ C01      = / c01,       [R]
|               / 0.0,        [DEFAULT]
|   ◇ C20      = / c20,       [R]
|               / 0.0,        [DEFAULT]
|   ◇ RHO      = / rho,       [R]
|               / 0.0,        [DEFAULT]
|   ◇ NU       = nu,          [R]
|   ◇ K        = k            [R]
| )
```

3.7.2 Opérandes c01, c10 et c20

$C01 = c01$, $C10 = c10$, $C20 = c20$

Les trois coefficients de l'expression polynomiale du potentiel hyperélastique. L'unité est le N/m^2 .

• Si $C01$ et $C20$ sont nuls, on obtient un matériau de type Néo-Hookéen.

• Si seul $C20$ est nul, on obtient un matériau de type Mooney-Rivlin.

Le matériau est élastique incompressible en petites déformations si on prend $C10$ et $C01$ tels que $6(C01 + C10) = E$, où E est le module de Young.

3.7.3 Opérande NU et K

$NU = nu$

Coefficient de Poisson. On vérifie que $-1 < nu < 0.5$.

$K = k$

Module de compressibilité.

Ces deux paramètres s'excluent l'un et l'autre. Ils quantifient la presque-compressibilité du matériau. On utilise le module de compressibilité K fourni par l'utilisateur, s'il existe. Sinon on calcule K par :

$$K = \frac{6(C01 + C10)}{3(1 - 2\nu)}.$$

On peut prendre nu proche de 0.5 mais jamais strictement égal (à la précision machine près). Si nu est trop proche de 0.5, un message d'erreur invite l'utilisateur à vérifier son coefficient de poisson ou son module de compressibilité. Plus le module de compressibilité est grand, plus le matériau est incompressible.

3.7.4 Opérande RHO

$RHO = rho$

Masse volumique constante réelle (on n'accepte pas de concept de type `fonction`). Pas de vérification de l'ordre de grandeur.

3.8 Mot clé facteur ELAS_2NDG

Définition des caractéristiques élastiques linéaires isotropes du modèle second gradient proposé par Mindlin et détaillé dans la documentation [R5.04.03]. Ce comportement est principalement conseillé pour les modélisations de régularisation second gradient (*_2DG) ou second gradient de dilatation (*_DIL).

3.8.1 Syntaxe

```
| / ELAS_2NDG = _F (
    ♦ A1           = a1 ,          [R]
    ◇ A2           = a2 ,          [R]
    ◇ A3           = a3 ,          [R]
    ◇ A4           = a4 ,          [R]
    ◇ A5           = a5 ,          [R]
)
```

3.8.2 Opérandes A1, A2, A3, A4 et A5

Ces paramètres définissent les caractéristiques matériaux de la loi décrite dans le document [R5.04.03].

4 Comportements mécaniques non linéaires généraux

En général, la définition d'un comportement mécanique non linéaire nécessite d'une part la définition des propriétés élastiques et d'autre part celles relatives à l'aspect non linéaire proprement dit. Dans *Code_Aster*, ces 2 types de données sont définies séparément, sauf quelques exceptions.

4.1 Mot clé facteur TRACTION

Définition d'une courbe de traction (élasto-plasticité de von Mises à écrouissage isotrope non linéaire ou élasticité non linéaire).

4.1.1 Syntaxe

```
| TRACTION = _F (
|     ♦ SIGM =          sigm_f,          [fonction***]
| )
```

4.1.2 Opérande SIGM

SIGM = sigm_f

Courbe σ en fonction de la déformation totale ε (on vérifie que le concept fonction dépend bien des seuls paramètres EPSI et éventuellement TEMP).

L'ordonnée du premier point définit la limite élastique du matériau, il est donc impératif de ne pas définir de point d'abscisse nulle [R5.03.02].

Remarque :

Pour les matériaux multiphasés, avec phases métallurgiques, les caractéristiques d'écrouissage se définissent par META_ECRO_LINE ou META_TRACTION [R4.04.04].

4.2 Mots clés facteur ECRO_LINE , ECRO_LINE_FO

Définition d'une courbe d'écrouissage linéaire ou d'un ensemble de courbes dépendant de la température.

4.2.1 Syntaxe

```
| / ECRO_LINE = _F (
|     ♦ D_SIGM_EPSI = dsde,          [R]
|     ♦ SY =          sigmm          [R]
| )
| / ECRO_LINE_FO = _F (
|     ♦ D_SIGM_EPSI = dsde,          [fonction**]
|     ♦ SY =          sigm          [fonction**]
| )
```

Les fonctions peuvent dépendre des variables de commandes suivantes :

'TEMP', 'EPSI', 'HYDR', 'SECH'.

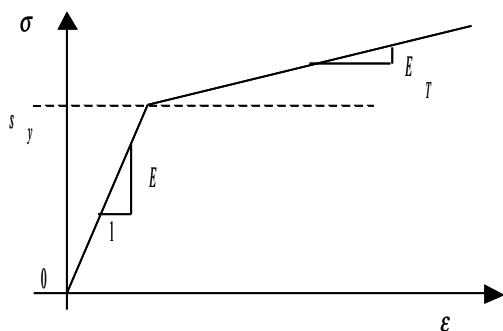
4.2.2 Opérandes

D_SIGM_EPSI = dsde (ET)

Pente de la courbe de traction E_T .

SY = sigm

Limite d'élasticité S_y .



La courbe d'écrouissage utilisée dans les modèles de comportement est alors :

$$R(p) = s_y + H.p$$

$$\text{avec } H = \frac{E \cdot E_T}{E - E_T}$$

Il faut donc respecter : $E_T < E$
(voir par exemple [R5.03.02]).

Le module de Young E est à préciser par les mots-clés ELAS ou ELAS_FO.

4.3 Mots clés facteur PRAGER, PRAGER_FO

Lorsque le trajet de chargement n'est plus monotone, les écrouissages isotrope et cinématique ne sont plus équivalents. En particulier, on peut s'attendre à avoir simultanément une part cinématique et une part isotrope. Si on cherche à décrire précisément les effets d'un chargement cyclique, il est souhaitable d'adopter des modélisations sophistiquées (mais simples d'emploi) telles que le modèle de Taheri, par exemple, cf. [R5.03.05]. En revanche, pour des trajets de chargement moins complexes, on peut souhaiter n'inclure qu'un écrouissage cinématique linéaire, toutes les non linéarités de l'écrouissage étant portées par le terme isotrope. Cela permet de décrire précisément une courbe de traction, tout en représentant quand même des phénomènes tels que l'effet Bauschinger [R5.03.16].

Les caractéristiques de l'écrouissage sont alors données par une courbe de traction et une constante, dite de Prager, pour le terme d'écrouissage cinématique linéaire. Le mot clé PRAGER permet de définir la constante de PRAGER, utilisée dans les modèles à écrouissage mixte (cinématique linéaire combiné avec isotrope) VMIS_ECMI_LINE ou VMIS_ECMI_TRAC.

4.3.1 Syntaxe

```
| / PRAGER = _F (
|     ♦ C = C, [R]
| )
| / PRAGER_FO = _F (
|     ♦ C = C, [fonction**]
| )
```

L'identification de C est décrite dans [R5.03.16].

4.4 Mots clés facteur ECRO_PUIS, ECRO_PUIS_FO

Loi de plasticité à critère de Von Mises et à écrouissage isotrope suivant une loi puissance.

4.4.1 Syntaxe

```
| / ECRO_PUIS = _F (
|     ♦ SY = sigy, [R]
|     ♦ A_PUIS = a, [R]
|     ♦ N_PUIS = n, [R]
| )
| / ECRO_PUIS_FO = _F (
|     ♦ SY = sigy, [fonction**]
|     ♦ A_PUIS = a, [fonction**]
```

♦ N_PUIS = n, [fonction**]
)

4.4.2 Opérandes

SY = sigy Limite d'élasticité
A_PUIS = a Coefficient de la loi puissance
N_PUIS = n Exposant

La courbe d'écrouissage est déduite de la courbe uniaxiale reliant les déformations aux contraintes, dont l'expression est :

$$\varepsilon = \frac{\sigma}{E} + a \frac{\sigma_y}{E} \left(\frac{\sigma}{\sigma_y} \right)^n$$

4.5 Mots clés facteur CIN1_CHAB, CIN1_CHAB_FO

Comportement du modèle de Chaboche (à une seule variable cinématique) décrit dans le document [R5.03.04].

Brièvement ces relations sont :

$$F(\sigma, R, X) = (\tilde{\sigma} - X)_{eq} - R(p)$$

$$\dot{\varepsilon}^p = \lambda \frac{\partial F}{\partial \sigma} = \frac{3}{2} \lambda \frac{\tilde{\sigma} - X}{(\tilde{\sigma} - X)_{eq}}$$

$$\dot{p} = \dot{\lambda} = \sqrt{\frac{2}{3}} \dot{\varepsilon}^p : \dot{\varepsilon}^p \quad \text{éq 4.5-1}$$

$$\begin{cases} \text{si } F < 0 \text{ ou } \dot{F} < 0 & \dot{\lambda} = 0 \\ \text{si } F = 0 \text{ et } \dot{F} = 0 & \dot{\lambda} \geq 0 \end{cases} \quad \text{éq 4.5-2}$$

$$X = \frac{2}{3} C(p) \alpha \quad \text{éq 4.5-3}$$

$$\dot{\alpha} = \dot{\varepsilon}^p - \gamma(p) \alpha \dot{p}$$

Les fonctions $C(p)$, $\gamma(p)$ et $R(p)$ sont définies par :

$$R(p) = R_\infty + (R_0 - R_\infty) e^{-bp}$$

$$C(p) = C^\infty (1 + (k - 1) e^{-wp})$$

$$\gamma_1(p) = \gamma^0 (\alpha_\infty + (1 - \alpha_\infty) e^{-bp})$$

Remarque :

$\tilde{\sigma}$ représente le déviateur des contraintes et $(\)_{eq}$ l'équivalent au sens de von Mises.

La définition de X sous la forme [éq 4.5-3] permet de garder une formulation qui prend en compte les variations des paramètres avec la température. Ces termes sont nécessaires car leur non prise en compte conduirait à des résultats inexacts.

4.5.1 Syntaxe

| / CIN1_CHAB
/ CIN1_CHAB_FO = _F(
♦ R_0 = R_0, [R] ou [fonction**]
♦ R_I = R_I, (inutile si B=0) [R] ou [fonction**]
♦ B = / b, [R] ou [fonction**]

```

♦ C_I = / 0., [DEFAULT]
  ◇ K = / k, [R] ou [fonction**]
    / 1., [R] ou [fonction**]
  ◇ W = / w, [DEFAULT]
    / 0., [R] ou [fonction**]
♦ G_0 = G_0, [DEFAULT]
  ◇ A_I = / A_I, [R] ou [fonction**]
    / 1., [R] ou [fonction**]
)

```

Remarque :

Une version viscoplastique du modèle de Chaboche est également disponible (cf. [R5.03.04]). Elle nécessite de définir des caractéristiques visqueuses à l'aide du mot-clé facteur `LEMAITRE` ou `LEMAITRE_FO`, en mettant obligatoirement le paramètre `UN_SUR_M` à zéro.

4.6 Mots clés facteur CIN2_CHAB, CIN2_CHAB_FO

Comportement du modèle de Chaboche (à deux variables cinématiques) décrit dans le document [R5.03.04].

Brièvement ces relations sont :

$$F(\sigma, R, X) = (\bar{\sigma} - X_1 - X_2)_{eq} - R(p)$$

$$\dot{\varepsilon}^p = \dot{\lambda} \frac{\partial F}{\partial \sigma} = \frac{3}{2} \dot{\lambda} \frac{\bar{\sigma} - X_1 - X_2}{(\bar{\sigma} - X_1 - X_2)_{eq}}$$

$$\dot{p} = \dot{\lambda} = \sqrt{\frac{2}{3} \dot{\varepsilon}^p : \dot{\varepsilon}^p} \quad \text{éq 4.6-1}$$

$$\begin{cases} \text{si } F < 0 \text{ ou } \dot{F} < 0 & \dot{\lambda} = 0 \\ \text{si } F = 0 \text{ et } \dot{F} = 0 & \dot{\lambda} \geq 0 \end{cases} \quad \text{éq 4.6-2}$$

$$X_1 = \frac{2}{3} C_1(p) \alpha_1$$

$$X_2 = \frac{2}{3} C_2(p) \alpha_2 \quad \text{éq 4.6-3}$$

$$\dot{\alpha}_1 = \dot{\varepsilon}^p - \gamma_1(p) \alpha_1 \dot{p}$$

$$\dot{\alpha}_2 = \dot{\varepsilon}^p - \gamma_2(p) \alpha_2 \dot{p}$$

Les fonctions $C_1(p)$, $C_2(p)$, $\gamma_1(p)$, $\gamma_2(p)$ et $R(p)$ sont définies par :

$$R(p) = R_\infty + (R_0 - R_\infty) e^{-bp}$$

$$C_1(p) = C_1^\infty (1 + (k-1) e^{-wp})$$

$$C_2(p) = C_2^\infty (1 + (k-1) e^{-wp})$$

$$\gamma_1(p) = \gamma_1^0 (\alpha_\infty + (1 - \alpha_\infty) e^{-bp})$$

$$\gamma_2(p) = \gamma_2^0 (\alpha_\infty + (1 - \alpha_\infty) e^{-bp})$$

Remarque :

$\bar{\sigma}$ représente le déviateur des contraintes et $()_{eq}$ l'équivalent au sens de von Mises.

La définition de X_1 et X_2 sous la forme [éq 4.6-3] permet de garder une formulation qui prend en compte les variations des paramètres avec la température. Ces termes sont nécessaires car leur non prise en compte conduirait à des résultats inexacts.

4.6.1 Syntaxe

```
| / CIN2_CHAB
| / CIN2_CHAB_FO = _F(
|   ♦ R_0 = R_0, [R] ou [fonction**]
|   ♦ R_I = R_I, (inutile si B=0) [R] ou [fonction**]
|   ♦ B = / b , [R] ou [fonction**]
|           / 0., [DEFAULT]
|   ♦ C1_I = C1_I, [R] ou [fonction**]
|   ♦ C2_I = C2_I, [R] ou [fonction**]
|   ♦ K = / k , [R] ou [fonction**]
|           / 1., [DEFAULT]
|   ♦ W = / w, [R] ou [fonction**]
|           / 0., [DEFAULT]
|   ♦ G1_0 = G1_0, [R] ou [fonction**]
|   ♦ G2_0 = G2_0, [R] ou [fonction**]
|   ♦ A_I = / A_I, [R] ou [fonction**]
|           / 1., [DEFAULT]
| )
```

Remarque :

Une version viscoplastique du modèle de Chaboche à deux variables cinématiques est également disponible (cf. [R5.03.04]). Elle nécessite de définir des caractéristiques visqueuses à l'aide du mot-clé facteur LEMAITRE ou LEMAITRE_FO, en mettant obligatoirement le paramètre UN_SUR_M à zéro.

4.7 Mots clés facteurs VISCOCHAB, VISCOCHAB_FO

Définitions des coefficients du modèle élasto-viscoplastique de Chaboche [R5.03.12].
Brièvement, les équations constitutives du modèle sont :

$$\text{Contrainte visqueuse } \sigma_v = J_2(\tilde{\sigma} - X) - \alpha_R - k$$

Taux de déformation viscoplastique

$$\dot{\varepsilon}^p = \frac{3}{2} \dot{p} \frac{\tilde{\sigma} - X}{J_2(\tilde{\sigma} - X)}$$

$$\dot{p} = \left\langle \frac{\sigma_v}{K_0 + \alpha_k R} \right\rangle \times \exp \left[\alpha \left\langle \frac{\sigma_v}{K_0 + \alpha_k R} \right\rangle^{n+1} \right]$$

Ecrouissage isotrope

$$\dot{R} = b(Q - R) \dot{p} + \gamma_r (Q_y - R)^m \text{sgn}(Q_y - R)$$

$$Q = Q_0 + (Q_m - Q_0) (1 - e^{-2\mu q})$$

$$F(\varepsilon^p, \xi, q) = \frac{2}{3} J_2(\varepsilon^p - \xi) - q \leq 0$$

$$\begin{cases} \dot{q} = \eta \times H(F) \times \langle n : n \rangle \dot{p} \\ \dot{\xi} = \sqrt{3/2} (1 - \eta) \times H(F) \times \langle n : n \rangle \dot{p} n^* \end{cases} \text{ avec : } n = \sqrt{\frac{3}{2}} \frac{\sigma - X}{J_2(\sigma - X)} ; n^* = \sqrt{\frac{3}{2}} \frac{\varepsilon^p - \xi}{J_2(\varepsilon^p - \xi)}$$

$$Q_r = Q - Q_r^* \left[1 - \left(\frac{Q_m - Q}{Q_m} \right)^2 \right]$$

Ecrouissage cinématique $X = X_1 + X_2$

$$\dot{X}_i = 2/3 C_i \dot{\varepsilon}^p - \gamma_i [\delta_i X_i + (1 - \delta_i)(X_i : n)n] \dot{p} - \gamma_{X_i} [J_2(X_i)]^{m_i-1} X_i + \frac{1}{C_i} \frac{\partial C_i}{\partial T} X_i \dot{T}$$

$$\gamma_i = \gamma_i^0 [a_\infty + (1 - a_\infty) e^{-b p}]$$

Remarques :

$\tilde{\sigma}$ représente le déviateur des contraintes, $J_2(Y) = \sqrt{3/2(Y:Y)}$ le deuxième invariant du tenseur Y ,

$H(F)$ la fonction d'Heavyside et $\langle .. \rangle$ les crochets de Mc Cawley ($\langle x \rangle = x$ si $x \geq 0$, 0 sinon).

Les variables q et ξ permettent de prendre en compte l'effet de mémoire de l'écrouissage sous chargement cyclique. Si $\eta = 1$, l'effet de mémoire n'est pas modélisé et les variables q et ξ ne sont pas considérées dans la résolution du système ($q = 0$). Sinon, on a la condition suivante sur η : $0 < \eta \leq 1/2$.

D'un point de vue thermodynamique, la variable d'écrouissage X_i est associée à sa variable duale α_i pour la relation $X_i = \frac{2}{3} C_i \alpha_i$. Le terme en \dot{T} intervenant dans l'équation donnant \dot{X}_i permet de traiter les cas de chargements anisothermes pour C_i fonction de la température.

4.7.1 Syntaxe

```
| / VISCOCHAB =
| / VISCOCHAB_FO = _F(
|     ♦ K      = k,                [R] ou [fonction**]
|     ♦ A_K    = alphak,           [R] ou [fonction**]
|     ♦ A_R    = alphas,           [R] ou [fonction**]
|     ♦ K_0    = K0,               [R] ou [fonction**]
|     ♦ N      = n,                [R] ou [fonction**]
|     ♦ ALP    = alpha,            [R] ou [fonction**]
|     ♦ B      = b,                [R] ou [fonction**]
|     ♦ M_R    = mr,               [R] ou [fonction**]
|     ♦ G_R    = gamar,            [R] ou [fonction**]
|     ♦ MU     = mu,               [R] ou [fonction**]
|     ♦ Q_0    = Q0,               [R] ou [fonction**]
|     ♦ Q_M    = Qm,               [R] ou [fonction**]
|     ♦ QR_0   = Qr*,              [R] ou [fonction**]
|     ♦ ETA    = eta,              [R] ou [fonction**]
|     ♦ C1     = C1,               [R] ou [fonction**]
|     ♦ M_1    = m1,               [R] ou [fonction**]
|     ♦ D1     = d1,               [R] ou [fonction**]
|     ♦ G_X1   = gx1,              [R] ou [fonction**]
|     ♦ G1_0   = g10,              [R] ou [fonction**]
|     ♦ C2     = C2,               [R] ou [fonction**]
|     ♦ M_2    = m2,               [R] ou [fonction**]
|     ♦ D2     = d2,               [R] ou [fonction**]
|     ♦ G_X2   = gx2,              [R] ou [fonction**]
```

```

        ♦ G2_0    = g20,
        ♦ A_I     = ainfi,
    )

```

[R] ou [fonction**]
[R] ou [fonction**]

4.8 Mots clé facteur MEMO_ECRO

Ce mot clé permet de définir les paramètres associés à l'effet de mémoire maximale d'écrouissage dans les comportements élastoplastiques ou élasto-visco-plastiques de Chaboche (cf. [R5.03.04]). Ce mot-clé est utilisable, conjointement aux mots-clés CIN1_CHAB ou CIN2_CHAB, pour définir les paramètres nécessaires au comportement VMIS_CIN2_MEMO. De plus, en définissant les paramètres de viscosité sous LEMAITRE, il est possible d'utiliser un comportement visco_plastique à effet de mémoire maximale d'écrouissage par VISC_CIN2_MEMO.

Les équations du modèle s'écrivent via un domaine représentant les déformations plastiques maximales atteintes :

$$F(\varepsilon^p, \xi, q) = \frac{2}{3} J_2(\varepsilon^p - \xi) - q \leq 0 \text{ avec la loi d'évolution } \dot{\xi} = \frac{(1-\eta)}{\eta} \dot{q} n^*$$

q permet de calculer l'évolution de la loi l'écrouissage $R(p)$ par :

$$\dot{R} = b(Q - R) \dot{p}, \quad Q = Q_0 + (Q_m - Q_0)(1 - e^{-2\mu q})$$

le critère de plasticité s'écrivant : $f(\sigma, R, X) = (\tilde{\sigma} - X_1 - X_2)_{eq} - R_0 - R(p)$

4.8.1 Syntaxe

```

MEMO_ECRO=_F(
    ♦ MU      = mu           [R]
    ♦ Q_M     = qm           [R]
    ♦ Q_0     = q0           [R]
    ♦ ETA     = / eta        [R]
                        / 0.5, [DEFAULT]
)

```

4.8.2 Opérandes

Mu = mu

Coefficient de la loi exponentielle

Q_M = Qm

Valeur de saturation du paramètre Q représentant l'écrouissage isotrope

Q_0 = Q0

Valeur initiale du paramètre Q représentant l'écrouissage isotrope

ETA = eta

Valeur permettant de modifier la prise en compte de la mémoire de la déformation plastique maximale : la valeur $eta = 1/2$ correspond à une prise en compte totale.

4.9 Mots clés facteur TAHERI, TAHERI_FO

Définition des coefficients du modèle de comportement d'élasto-plasticité cyclique de Saïd Taheri [R5.03.05]. Brièvement nous avons à résoudre, pour un incrément élasto-plastique:

$$\left\{ \begin{array}{ll} \dot{\varepsilon}_p = \frac{3}{2} \dot{p} \frac{\tilde{\sigma} - X}{(\tilde{\sigma} - X)_{eq}} & \text{avec } (x)_{eq} = \left(\frac{3}{2} x' x \right)^{1/2} \\ \sigma = \Lambda (\varepsilon - \varepsilon_p) & R = D (A \|\varepsilon\|^\alpha + R_0) \\ (\sigma - X)_{eq} - R = 0 & X = C (S \varepsilon_p - \sigma_p \varepsilon_p^n) \\ \dot{\sigma}_p - \dot{R} - \dot{(X)}_{eq} = 0 & \sigma_p = \text{Max}_t (X_{eq} + R) \\ \dot{\varepsilon}_p^n = 0 & D = I - m e^{-bp \left(I - \frac{\sigma_p}{S} \right)} \\ & C = C_\infty + C_l e^{-bp \left(I - \frac{\sigma_p}{S} \right)} \end{array} \right.$$

où les différents paramètres du matériau sont $S, C_\infty, C_l, b, m, A, \alpha, R_0$

Les différents paramètres peuvent dépendre de la température, dans ce cas on emploiera le mot clé TAHERI_FO.

4.9.1 Syntaxe

```
| / TAHERI
| / TAHERI_FO = _F(
|     ♦ R_0      = R,      [R] ou [fonction**]
|     ♦ ALPHA    = a ,     [R] ou [fonction**]
|     ♦ M        = m,      [R] ou [fonction**]
|     ♦ A        = A,      [R] ou [fonction**]
|     ♦ B        = B,      [R] ou [fonction**]
|     ♦ C1       = C1,     [R] ou [fonction**]
|     ♦ C_INF    = Cinf,   [R] ou [fonction**]
|     ♦ S        = S,      [R] ou [fonction**]
| )
```

Remarque :

Une version viscoplastique du modèle de TAHERI est également disponible (cf. [R5.03.05]). Elle nécessite de définir des caractéristiques visqueuses à l'aide du mot clé facteur LEMAITRE ou LEMAITRE_FO.

4.10 Mots clés facteurs MONO_VISC1, MONO_VISC2, MONO_VISC3, MONO_CINE1, MONO_CINE2, MONO_ISOT1, MONO_ISOT2, MONO_DD_KR, MONO_DD_CFC, MONO_DD_FAT, MONO_DD_CC

Définition des coefficients des modèles de comportement monocristallin ou polycristallin [R5.03.11]. En plus de ces caractéristiques, les constantes élastiques doivent être définies sous le mot clé ELAS ou ELAS_ORTH pour les coefficients réels ou ELAS_FO pour les coefficients dépendant de la température.

Le comportement lié à chaque système de glissement d'un monocristal ou d'une phase d'un polycristal est (dans l'ensemble des comportements envisagés) de type élasto-visco-plastique.

Les comportements cristallins (autres que ceux définis à partir de la dynamique des dislocations) peuvent se décomposer en 3 types d'équations :

- relation d'écoulement : $\Delta \gamma_s = g(\tau_s, \alpha_s, \gamma_s, p_s)$
- évolutions de l'écrouissage cinématique : $\Delta \alpha_s = h(\tau_s, \alpha_s, \gamma_s, p_s)$

- évolution de l'écrouissage isotrope : $R_s(p_s)$, avec $\Delta p_s = |\Delta \gamma_s|$

La relation d'écoulement MONO_VISC1 est :

$$\Delta \gamma_s = g(\tau_s, \alpha_s, \gamma_s, p_s) = \left(\frac{|\tau_s - c \alpha_s| - R(p_s)}{K} \right)^n \cdot \frac{\tau_s - c \alpha_s}{|\tau_s - c \alpha_s|}, \text{ les paramètres sont : } c, K, n$$

La relation d'écoulement MONO_VISC2 est:

$$\Delta \gamma_s = g(\tau_s, \alpha_s, \gamma_s, p_s) = \left(\frac{\langle |\tau_s - c \alpha_s - a \gamma_s| - R(p_s) + \frac{c}{2d} (c \alpha_s)^2 \rangle}{K} \right)^n \cdot \frac{\tau_s - c \alpha_s - a \gamma_s}{|\tau_s - c \alpha_s - a \gamma_s|}$$

les paramètres sont alors : c, K, n, a, d

La relation d'écoulement MONO_VISC3 est :

$$\Delta \gamma_s = g(\tau_s, \alpha_s, \gamma_s, p_s) = \dot{\gamma}_0^* \exp\left(\frac{-\Delta G_0}{kT}\right) \exp\left(\frac{\langle |\tau_s| - \tau_\mu \rangle \Delta V^*}{kT}\right) \cdot \frac{\tau_s}{|\tau_s|},$$

les paramètres sont : k , Constante de Boltzmann, en eV/K , τ_μ seuil d'écoulement (homogène à une contrainte), $\dot{\gamma}_0^*$ vitesse d'écoulement initiale, ΔV^* volume d'activation, ΔG_0 gain d'énergie lié au franchissement d'obstacle.

Les lois cristallines MONO_DD_KR, MONO_DD_CFC, MONO_DD_FAT, MONO_DD_CC issues de la dynamique des dislocations sont décrites dans le document [R4.03.11].

L'écrouissage cinématique peut être de la forme MONO_CINE1 :

$$\Delta \alpha_s = h(\tau_s, \alpha_s, \gamma_s, p_s) = \Delta \gamma_s - d \cdot \alpha_s \cdot \Delta p_s \text{ avec pour paramètre: } d.$$

ou bien MONO_CINE2 :

$$\Delta \alpha_s = h(\tau_s, \alpha_s, \gamma_s, p_s) = \Delta \gamma_s - d \cdot \alpha_s \cdot \Delta p_s - \left(\frac{|c \alpha_s|}{M} \right)^m \frac{\alpha_s}{|\alpha_s|},$$

les paramètres étant alors : d, M et m .

L'écrouissage isotrope peut par exemple être de la forme MONO_ISOT1 :

$$R_s(p_s) = R_0 + Q \left(\sum_{r=1}^N h_{sr} (1 - e^{-b p_r}) \right) \text{ avec } h_{sr} \text{ matrices d'interaction,}$$

les paramètres sont h, Q, R_0, b .

Ou encore MONO_ISOT2 :

$$R_s(p_s) = R_0 + Q_1 \left(\sum_{sg} h_{sr} q^{is} \right) + Q_2 q^{2s}, \text{ avec } dq^{is} = b_i (1 - q^{is}) \cdot dp$$

les paramètres sont $h, Q_1, Q_2, b_1, b_2, R_0$.

4.10.1 Syntaxe

Ces relations sont accessibles dans *Code_Aster* en 3D, déformations planes (D_PLAN), contraintes planes (C_PLAN) et axisymétrique (AXIS) à partir du mot-clé COMP_INCR de la commande STAT_NON_LINE. Le choix des relations permettant de bâtir le modèle de comportement de monocristal est effectué via l'opérateur DEFI_COMPOR [U4.43.05].

```
| MONO_VISC1 = _F (
  ♦ C = C, [R]
  ♦ K = K, [R]
  ♦ N = n [R] )

| MONO_VISC2 = _F (
  ♦ C = C, [R]
  ♦ K = K, [R]
  ♦ N = n, [R]
  ♦ A = a, [R]
  ♦ D = d [R] )

| MONO_VISC3 = _F (
  ♦ K = k, [R]
  ♦ TAUMU = taumu, [R]
  ♦ GAMMA0 = gamma0, [R]
  ♦ DELTAV = deltaV, [R]
  ♦ DELTAG0 = deltaG [R]
)

| MONO_ISOT1 = _F (
  ♦ R_0 = R, [R]
  ♦ Q = Q, [R]
  ♦ B = b, [R]
/ ♦ H = h, [R]
/ ♦ H1 = h1, [R]
  ♦ H2 = h2, [R]
  ♦ H3 = h3, [R]
  ♦ H4 = h4, [R]
  ♦ H5 = h5, [R]
  ♦ H6 = h6 [R] )

| MONO_ISOT2 = _F (
  ♦ R_0 = R0, [R]
  ♦ Q1 = Q1, [R]
  ♦ B1 = b1, [R]
  ♦ Q2 = Q2, [R]
  ♦ B2 = b2 [R]
/ ♦ H = h, [R]
/ ♦ H1 = h1, [R]
  ♦ H2 = h2, [R]
  ♦ H3 = h3, [R]
  ♦ H4 = h4, [R]
  ♦ H5 = h5, [R]
  ♦ H6 = h6 [R] )

| MONO_CINE1 = _F (
  ♦ D = D, [R] )

| MONO_CINE2 = _F (
  ♦ D = D, [R]
  ♦ GM = M, [R]
```

```

♦ PM = m, [R]
♦ C = C [R])

```

comportement de Kocks-Rauch spécifique aux matériaux CC, familles CUBIQUE1 et CUBIQUE2 (interaction entre les 24 systèmes de glissement)

```

| MONO_DD_KR = _F(
  ♦ K = k, [R] Constante de Boltzmann, en  $eV/K$ 
  ♦ TAUR = taur, [R] Contrainte de cisaillement à  $T=0K$ 
  ♦ TAU0 = tau0, [R] Contrainte critique initiale de cisaillement
  ♦ GAMMA0 = gammap0, [R] Vitesse d'écoulement initiale
  ♦ DELTAG0 = deltaG0, [R] Gain d'énergie au franchissement d'obstacle
  ♦ BSD = BsurD [R] fonction de la taille du grain  $B/Dc$ 
  ♦ GCB = GCsurB [R] distance critique d'annihilation  $GC/Bc$ 
  ♦ KDSC = K, [R] relatif à la direction de dislocation
  ♦ P = p, [R] dépendant de la forme de l'obstacle
  ♦ Q = q, [R] dépendant de la forme de l'obstacle

  # Définition de la matrice d'interaction spécifique (cf. [R5.03.11])
  / ♦ H = h, [R]
  / ♦ H1 = h1, [R]
  ♦ H2 = h2, [R]
  ♦ H3 = h3, [R]
  ♦ H4 = h4, [R]
  ♦ H5 = h5, [R]

```

comportements spécifiques aux matériaux CFC, famille OCTAEDRIQUE (interaction entre les 12 systèmes de glissement)

```

| MONO_DD_CFC = _F(
  ♦ GAMMA0 = gammap0 [R] Vitesse initiale, par défaut  $0,001 s^{-1}$ 
  ♦ TAU_F = tau_f [R] Seuil, en unité de contraintes
  ♦ A = A [R] paramètre  $A$ , sans unité, par défaut 0.13
  ♦ B = B [R] paramètre  $B$ , sans unité, par défaut 0.005
  ♦ N = N [R] exposant  $n$ , doit être grand ( $>50$ ), par défaut 200
  ♦ Y = Y [R] paramètre  $Y$ , en unité de longueur
  ♦ ALPHA = a [R] paramètre d'écrouissage  $alpha$ , par défaut 0.35
  ♦ BETA = b [R] paramètre d'écrouissage  $b$ , par défaut 0.35
  ♦ RHO_REF = rho_ref, paramètre rho_ref, en unité de longueur  $m^{-2}$ 

  # Définition de la matrice d'interaction spécifique (cf. [R5.03.11])
  / ♦ H = h, [R]
  / ♦ H1 = a*, [R] par défaut 0.124
  ♦ H2 = a_colinéaire [R] par défaut 0.625
  ♦ H3 = a_glissile, [R] par défaut 0.137
  ♦ H4 = a_Lomer [R] par défaut 0.122
  ♦ H5 = a_Hirth [R] par défaut 0.07

  | MONO_DD_FAT = _F(
  ♦ GAMMA0 = gammap0 [R] Vitesse d'écoulement initiale en  $s^{-1}$ 
  ♦ TAU_F = tau_f [R] Seuil, en unité de contraintes
  ♦ BETA = b [R] Constante de Burgers  $b$ , en unité de longueur
  ♦ N = N [R] exposant  $n$ , doit être grand ( $>50$ )
  ♦ UN_SUR_D = 1/d [R] paramètre fonction de la taille de grain, en unité de
  1/longueur
  ♦ GC0 = gc0 [R] distance critique d'annihilation, en unité de longueur

```

```

♦ K = K [R] paramètre relatif au libre parcours moyen des dislocations, sans
unité

# Définition de la matrice d'interaction spécifique (cf. [R5.03.11])
/ ♦ H = h, [R]
/ ♦ H1 = a*, [R] par défaut 0.124
  ♦ H2 = a_colinéaire [R] par défaut 0.625
  ♦ H3 = a_glissile , [R] par défaut 0.137
  ♦ H4 = a_Lomer [R] par défaut 0.122
  ♦ H5 = a_Hirth [R] par défaut 0.07

```

comportement spécifique aux matériaux CC à haute température, famille CUBIQUE1 (interaction entre les 12 systèmes de glissement)

```

| MONO_DD_CC = _F(
  ♦ GAMMA0= gammap0 [R] Vitesse initiale, par défaut  $0,001 s^{-1}$  ,
  ♦ TAU_F = tau_f [R] Seuil, en unité de contraintes
  ♦ A= A [R] paramètre  $A$  , sans unité, par défaut 0.13
  ♦ B = B [R] paramètre  $B$  , sans unité, par défaut 0.005
  ♦ N =N [R] exposant  $n$  , doit être grand (  $> 50$  ), par défaut 200
  ♦ Y =Y [R] paramètre  $Y$  ,en unité de longueur
  ♦ ALPHA=a [R] paramètre d'écrouissage  $alpha$  , par défaut 0.35
  ♦ BETA =b [R] paramètre d'écrouissage  $b$  , par défaut 0.35
  ♦ RHO_REF = rho_ref, paramètre rho_ref , en unité de longueur  $m^{-2}$ 

# Définition de la matrice d'interaction spécifique (cf. [R5.03.11])
/ ♦ H = h, [R]
/ ♦ H1 = h0 [R]
  ♦ H2 = h1 [R]
  ♦ H3 = h2 , [R]
  ♦ H4 = h3 [R]
  ♦ H5 = h4 [R]
  ♦ H6 = h5 [R]

```

4.11 Mots clés facteur LEMAITRE, LEMAITRE_FO

Définition des coefficients de la relation de viscoplasticité non-linéaire de Lemaitre [R5.03.08].

Les équations sont les suivantes :

$$\begin{cases} \dot{\varepsilon}_{ij} = \frac{3}{2} \dot{p} \frac{\tilde{\sigma}_{ij}}{\sigma_{eq}} \\ \dot{p} = \left[\frac{1}{K} \frac{\sigma_{eq}}{p^{1/m}} \right]^n \\ \sigma = \Lambda (\varepsilon - \varepsilon^v) \end{cases}$$

Les coefficients à introduire sont : $n > 0$, $\frac{1}{K}$ et $\frac{1}{m} \geq 0$.

4.11.1 Syntaxe

```
| / LEMAITRE= _F (
```

```

      ♦ N          =  n,                [R]
      ♦ UN_SUR_K   =  1/K,             [R]
      ◇ UN_SUR_M   =  / 1/m,           [R]
                                   / 0.0, [DEFAULT]
    )

    / LEMAITRE_FO = _F (
      ♦ N          =  n,                [fonction]
      ♦ UN_SUR_K   =  1/K,             [fonction]
      ♦ UN_SUR_M   =  1/m,             [fonction]
    )

```

Remarque :

En prenant $\frac{1}{m}=0$ (soit $m=+\infty$), c'est-à-dire en mettant 0 derrière l'opérande UN_SUR_M, on obtient une relation de visco-élasticité non-linéaire de Norton.

4.12 Mot clé facteur VISC_SINH

Définition des coefficients de la loi de viscosité définie par le potentiel viscoplastique suivant :

$$\Phi^{vp} = \Phi^p - \sigma_0 sh^{-1} \left[\left(\frac{\dot{p}}{\dot{\epsilon}_0} \right)^{\frac{1}{m}} \right]$$

L'équation définissant le taux de déformation plastique cumulée est donc la suivante :

$$\dot{p} = \dot{\epsilon}_0 \left[sh \left(\frac{\langle \Phi_p \rangle}{\sigma_0} \right) \right]^m$$

expression dans laquelle $\langle x \rangle$ désigne la partie positive de x et Φ_p le seuil plastique.
Ce modèle de viscosité peut être associé :

- Au mot clé ROUSSELIER pour définir la loi de comportement ROUSS_VISC
- Au mots clés VMIS_ISOT_TRAC et VMIS_ISOT_LINE version SIMO_MIEHE : pour définir les lois de comportement VISC_ISOT_TRAC et VISC_ISOT_LINE.

Les coefficients à introduire sont : $m, \dot{\epsilon}_0$ et $\sigma_0 > 0$.

4.12.1 Syntaxe

```

| VISC_SINH = _F (
      ♦ M          =  m,                [R]
      ♦ EPSI_0     =  epsi0,           [R]
      ♦ SIGM_0     =  sigma0           [R]
    )

```

4.13 Mot clé LEMA_SEUIL

Définition des coefficients de la relation de viscoplasticité non-linéaire de Lemaitre avec seuil [R5.03.08]. On se place dans l'hypothèse des petites perturbations et on scinde le tenseur des déformations en une partie élastique, une partie thermique, une partie anélastique (connue) et une partie visqueuse. Les équations sont alors :

$$\begin{aligned}\varepsilon_{tot} &= \varepsilon_e + \varepsilon_{th} + \varepsilon_a + \varepsilon_v \\ \sigma &= A(T) \varepsilon_e \\ \dot{\varepsilon}_v &= g(\sigma_{eq}, \lambda, T) \frac{3}{2} \frac{\tilde{\sigma}}{\sigma_{eq}}\end{aligned}$$

avec :

$$\lambda : \text{déformation visqueuse cumulée} \quad \dot{\lambda} = \sqrt{\frac{2}{3}} \dot{\varepsilon}_v : \dot{\varepsilon}_v$$

$$\tilde{\sigma} : \text{déviateur des contraintes} \quad \tilde{\sigma} = \sigma - \frac{1}{3} \text{Tr}(\sigma) I$$

$$\sigma_{eq} : \text{contrainte équivalente} \quad \sigma_{eq} = \sqrt{\frac{3}{2}} \tilde{\sigma} : \tilde{\sigma}$$

$$A(T) : \text{tenseur d'élasticité}$$

et :

$$\text{si } D \leq 1 \text{ alors } g(\sigma, \lambda, T) = 0 \text{ (comportement purement élastique)}$$

$$\text{si } D > 1 \text{ alors } g(\sigma, \lambda, T) = A \left(\frac{2}{\sqrt{3}} \sigma \right) \Phi \text{ avec } A \geq 0, \Phi \geq 0$$

$$\text{Avec : } D = \frac{1}{S} \int_0^t \sigma_{eq}(u) du$$

Les données matériaux à renseigner par l'utilisateur sont A et S .

Quant au paramètre Φ , il s'agit du flux de neutrons qui bombarde le matériau. Il doit être renseigné sous le mot clé facteur AFPE_VARC de AFPE_MATERIAU.

Le module d'Young E et le coefficient de Poisson ν sont ceux fournis sous les mots clés facteurs ELAS ou ELAS_FO.

4.13.1 Syntaxe

```
| / LEMA_SEUIL = _F(
    ♦ A = A, [R]
    ♦ S = S [R]
)

/ LEMA_SEUIL_FO = _F(
    ♦ A = A, [fonction]
    ♦ S = S [fonction]
)
```

4.14 Mot clé facteur VISC_IRRA_LOG

Définition d'une loi de fluage sous irradiation des tubes guides. Cette loi est constituée d'une loi de type primaire et d'une loi secondaire en logarithme de la fluence (cf. [R5.03.08]).

La formulation est la suivante (en uniaxial) :

$$\varepsilon_f = A \cdot \exp\left(-\frac{Q}{T}\right) \cdot \sigma \cdot \ln(1 + \omega \cdot \phi t) + B \cdot \exp\left(-\frac{Q}{T}\right) \cdot \sigma \cdot \phi t$$

ε_f déformation axiale de fluage

Q	énergie d'activation
T	température d'activation (en $^{\circ}K$)
σ	contrainte axiale appliquée au tube guide
ϕt	flux neutronique ($10^{+20} \text{ neutrons/cm}^2$)
ω	constante de temps
A, B	constantes

4.14.1 Syntaxe

```
| VISC_IRRA_LOG = _F (
    ◇ A          = / 1.28D-1, [DEFAULT]
                      / a, [R]
    ◇ B          = / 0.01159, [DEFAULT]
                      / b, [R]
    ◆ FLUX_PHI   = phi, [R]
    ◇ CSTE_TPS   = w, [R]
    ◇ ENER_ACT   = q, [R]
)
```

4.15 Mot clé facteur GRAN_IRRA_LOG

Définition d'une loi de fluage sous irradiation avec grandissement des tubes guides. Par rapport à VISC_IRRA_LOG, un terme de grandissement est ajouté (cf. [R5.03.08]) :

$$\varepsilon_g = (A_g T + B_g) (\phi t)^s \text{ où } A_g \text{ et } B_g \text{ sont des constantes.}$$

4.15.1 Syntaxe

```
| GRAN_IRRA_LOG = _F (
    ◇ A          = / 1.28D-1, [DEFAULT]
                      / a, [R]
    ◇ B          = / 0.01159, [DEFAULT]
                      / b, [R]
    ◆ FLUX_PHI   = phi, [R]
    ◇ CSTE_TPS   = w, [R]
    ◇ ENER_ACT   = q, [R]
    ◇ GRAN_A     = Ag, [R]
    ◇ GRAN_B     = Bg, [R]
    ◇ GRAN_S     = S, [R]
)
```

4.16 Mots clés facteur IRRAD3M

Loi de comportement des aciers sous irradiation (cf. [R5.03.23]).

La loi plastique devant se décrire sous la forme $K^*(p+p_0)^n$, il est nécessaire de calculer ces paramètres à partir de $R02$, RM , $EPSILON_U$ et $KAPPA$ via une méthode de dichotomie.

4.16.1 Syntaxe

```
| IRRAD3M = _F (
    ◆ R02        = R02, [fonction+++]
    ◆ EPSI_U     = eps i, [fonction+++]
    ◆ RM         = RM, [fonction+++]
    ◆ AIO        = AIO, [R]
    ◇ ZETA_F     = y0, [fonction+++]
```

```

♦ ETAI_S      = etai,          [R]
♦ RG0         = R,            [fonction+++]
♦ ALHA        = ALPHA,        [R]
♦ PHI0        = PHI0,         [R]
◊ KAPPA       = / KAPPA       [R]
               / 0.8          [DEFAULT]
◊ ZETA_G      = z0,           [fonction+++]
◊ TOLER_ET    = / inc         [R]
               / 0.15         [DEFAULT]
)

```

4.16.2 Opérandes R02/RM/EPSI_U/KAPPA

```

R02 = R02
EPSI_U = eps i _u
RM    = RM
KAPPA = KAPPA

```

Paramètres intervenant dans la partie plastique de la loi. R02 est la limite d'élasticité à 0.2% de déformation plastique, Rm est la contrainte ultime, et epsi_u est l'allongement réparti.

```
TOLER_ET = inc
```

Ce mot clef correspond à l'erreur que l'on autorise sur le dépassement du seuil du fluage d'irradiation lors de l'intégration numérique. Si au cours du calcul le critère n'est pas respecté Code_Aster subdivise les pas de temps, à condition que la subdivision des pas de temps soit autorisée, sinon le code s'arrête.

4.16.3 Opérandes AI02/ZETA_F/ETAI_S

```

AI0      = AIO,
ZETA_F   = y0,
ETAI_S   = etai,

```

Paramètres liés à l'irradiation. y0 est une fonction de la température.

4.16.4 Opérandes RG0/ALPHA/PHI0/ZETA_G

```

ALPHA     = ALPHA,
PHI0      = PHI0,
RG0       = R,
ZETA_G    = z0

```

Paramètres liés au gonflement.

4.17 Mots clés facteur ECRO_COOK

Loi de plasticité à critère de Von Mises et à écrouissage isotrope suivant une loi de Johnson-Cook.

4.17.1 Syntaxe

```

| / ECRO_COOK =_F (
♦ A      = A,          [R]
♦ B      = B,          [R]
♦ C      = C,          [R]
♦ N_PUIS = n,          [R]
♦ M_PUIS = m,          [R]
♦ EPSP0  = epsp0,      [R]
♦ TROOM  = troom,      [R]
♦ TMELT  = tmelt,      [R]
)

```


4.17.2 Opérandes

La courbe d'écrouissage est déduite de la courbe uniaxiale reliant les déformations aux contraintes, dont l'expression est :

$$\sigma(p, \dot{p}) = (A + Bp^n) \left(1 + C \ln \left(\frac{\dot{p}}{\dot{p}_0} \right) \right) \left(1 - \left(\frac{T - T_{room}}{T_{melt} - T_{room}} \right)^m \right)$$

Cette expression peut être réécrite de la manière suivante :

$$\sigma(p, \dot{p}) = (A + Bp^n) \left(1 + C \ln(\dot{p}^*) \right) (1 - T^{*m})$$

Où :

$$\dot{p}^* = \begin{cases} \frac{\dot{p}}{\dot{p}_0} & \text{si } \dot{p} \geq \dot{p}_0 \\ 1 & \text{si } \dot{p} \leq \dot{p}_0 \end{cases} \text{ et } T^* = \begin{cases} \frac{T - T_{room}}{T_{melt} - T_{room}} & \text{si } T \geq T_{room} \\ 0 & \text{si } T \leq T_{room} \end{cases}$$

5 Comportements liés à l'endommagement et la rupture

5.1 Mots clés facteur ROUSSELIER, ROUSSELIER_FO

Définition des coefficients du modèle de comportement de rupture ductile de G. Rousselier (cf. [R5.03.06] et [R5.03.07]). Ce modèle peut être utilisé en petites déformations, en grandes déformations et en viscoplasticité (mot clé VISC_SINH)

Brièvement, on résout pour un incrément élastoplastique :

$$\begin{cases} \frac{\sigma_{eq}}{\rho} - R(p) + D \sigma_1 f \exp\left(\frac{\sigma_H}{\sigma_1} \rho\right) = 0 & \text{éq 5.1-1} \\ \sigma = \rho \Lambda(\varepsilon - \varepsilon^p) \\ \dot{\varepsilon}_p = \dot{p} \rho \frac{\partial f}{\partial \sigma} \\ \dot{f} = 3(1-f) \varepsilon_H^p \end{cases}$$

$$\text{avec } \begin{cases} \frac{\partial f}{\partial \sigma} = \frac{1}{\rho} \left(\frac{3}{2} \frac{\tilde{\sigma}}{\sigma_{eq}} + \frac{Df}{3} \exp\left(\frac{\sigma_H}{\sigma_1 \rho}\right) \right) \\ \rho = \frac{1-f}{1-f_0} \end{cases} \quad \text{éq 5.1-2}$$

$R(p)$ entrée par l'intermédiaire de la courbe de traction (mot clé TRACTION).

Avec les coefficients matériaux D, σ_1, f_0 spécifiques au modèle de ROUSSELIER.

Ces différents paramètres peuvent dépendre de la température, dans ce cas on emploiera le mot clé ROUSSELIER_FO.

Il est possible de compléter le modèle en faisant intervenir les quantités suivantes:

- la porosité critique f_c au-delà de laquelle la croissance des cavités est accélérée :

$$\dot{f} = 3 A (1-f) \varepsilon_H^p \quad \text{si } f > f_c$$

deux caractéristiques supplémentaires sont alors nécessaires: f_c et A .

- la porosité limite f_l au-delà de laquelle le matériau est considéré cassé. Le comportement est alors remplacé par une chute imposée des contraintes :

$$\dot{\sigma} = -\lambda E \frac{\sigma}{|\dot{\varepsilon}|} \quad \text{si } f = f_l \text{ (avec } E \text{ défini sous ELAS).}$$

deux caractéristiques supplémentaires sont alors nécessaires : f_l et λ .

- le taux de germination volumique de fissures de clivages A_n , modifiant comme suit les équations [éq 5.1-1] et [éq 5.1-2].

$$\begin{cases} \frac{\sigma_{eq}}{\rho} - R(p) + D \sigma_1 (f + A_n p) \exp\left(\frac{\sigma_H}{\sigma_1 \rho}\right) = 0 \\ \rho = \frac{1-f-A_n p}{1-f_0} \end{cases}$$

Ces cinq derniers paramètres sont indépendants de la température.
Le tableau suivant de correspondance doit être utilisé:

Modélisation	Mots-clés
D	D
σ_1	SIGM_1
f_0	PORO_INIT
f_c	PORO_CRIT dp
A	PORO_ACCE
A_n	AN
f_l	PORO_LIMI
λ	D_SIGM_EPSI_NORM

Dans la version SIMO_MIEHE la loi de comportement demande un redécoupage quand l'incrément de déformation plastique est supérieur à la valeur dp fournie derrière le mot clé DP_MAXI.

Le mot clé BETA est à renseigner avec les comportements ROUSS_PR ou ROUSS_VISC pour prendre en compte l'échauffement adiabatique : il fixe la proportion d'énergie plastique qui est effectivement transformée en chaleur.

5.1.1 Syntaxe

```
| / ROUSSELIER =
| / ROUSSELIER_FO=F (
|   ◆ D = D, [R] ou [fonction**]
|   ◆ SIGM_1 = sigma1, [R] ou [fonction**]
|   ◆ PORO_INIT = f0, [R] ou [fonction**]
|   ◇ PORO_CRIT = / 1.D0, [DEFAULT]
|               / fc, [R]
|   ◇ PORO_ACCE = / 1.D0, [DEFAULT]
|               / A, [R]
|   ◇ AN = / 0.D0, [DEFAULT]
|           / An,
|   ◇ PORO_LIMI = / 0.999, [DEFAULT]
|               / fl, [R]
|   ◇ D_SIGM_EPSI_NORM=/ 1.D0, [DEFAULT]
|                       / lambda, [R]
|   ◇ DP_MAXI = / 0.1, [DEFAULT]
|               / dp, [R]
|   ◇ BETA = / 0.85, [DEFAULT]
|           / beta [R]
| )
```

5.2 Mots clés VENDOCHAB / VENDOCHAB_FO

Définition des coefficients du modèle viscoplastique avec endommagement scalaire de Chaboche cf. [R5.03.15]). C'est un comportement à écrouissage-viscosité multiplicatif couplé à de l'endommagement isotrope. Brièvement, les relations sont :

$$\left\{ \begin{array}{l} \sigma = (1-D) A \varepsilon^e \text{ et } \varepsilon^e = \varepsilon - \varepsilon^{th} - \varepsilon^p \\ \dot{\varepsilon}^p = \frac{3}{2} \dot{p} \frac{\tilde{\sigma}}{\sigma_{eq}} \text{ avec } \dot{p} = \frac{\dot{\varepsilon}}{(1-D)} \\ \dot{\varepsilon} = \left(\frac{\sigma_{eq} - S(1-D)}{(1-D) K r^{IIM}} \right)^N \\ \dot{D} = \left(\frac{\chi(\sigma)}{A} \right)^R (1-D)^{-k(\chi(\sigma))} \end{array} \right.$$

avec D , la variable scalaire d'endommagement isotrope et :

$$\chi(\sigma) = \alpha J_0(\sigma) + \beta J_1(\sigma) + (1 - \alpha - \beta) J_2(\sigma)$$

où :

$J_0(\sigma)$ est la contrainte principale maximale

$$J_1(\sigma) = Tr(\sigma)$$

$$J_2(\sigma) = \sigma_{eq}$$

$\langle x \rangle$: partie positive de x , $\tilde{\sigma}$ déviateur des contraintes et σ_{eq} la contrainte de Von Mises.

5.2.1 Syntaxe

```
| / VENDOCHAB      =
| / VENDOCHAB_FO = _F (
|     ♦ SY          = SY,                [R] ou [fonction**]
|     ♦ ALPHA_D     = alpha,              [R] ou [fonction**]
|     ♦ BETA_D      = beta,                [R] ou [fonction**]
|     ♦ A_D         = ad,                  [R] ou [fonction**]
|     ♦ R_D         = rd,                  [R] ou [fonction**]
|     ♦ K_D         = kd                    [R] ou [fonction**]
| )
```

Le tableau ci-dessous résume les correspondances entre les symboles des équations et les mots clés d'Aster.

Paramètre matériau	Symbole dans les équations	Mot clé dans Aster
Seuil de viscoplasticité	S	'SY'
Coefficient 1 de la contrainte équivalente de fluage	α	'ALPHA_D'
Coefficient 2 de la contrainte équivalente de fluage	β	'BETA_D'
Coefficient de la loi d'endommagement	A	'A_D'
Premier exposant de la loi d'endommagement	R	'R_D'
Deuxième exposant de la loi d'endommagement	$k[\chi(\sigma)]$	'K_D'

Remarque :

Le paramètre K_D peut être défini comme une constante, une fonction d'un paramètre 'TEMP' ou une nappe (variable de température et de contrainte $\chi(\sigma)$). Dans ce cas, utiliser DEFI_NAPPE avec comme premier paramètre 'TEMP' pour la température en °C et comme second paramètre 'X' (**obligatoire**) pour les contraintes en $\chi(\sigma)$ MPa. Si K_D ne dépend que

de $\chi(\sigma)$, il faut utiliser `DEFI_NAPPE` de toute façon en introduisant par exemple 2 fois le même jeu de données en contrainte pour deux valeurs différentes de la température.

5.3 Mots clés VISC_ENDO / VISC_ENDO_FO

Définition des coefficients du modèle visco-plastique de Lemaître avec endommagement scalaire `VISC_ENDO_LEMA` cf. [R5.03.15]), qui correspond à une version simplifiée et optimisée du modèle `VENDOCHAB` (cf. [U4,51,11]).

$$\left\{ \begin{array}{l} \sigma = (1-D) A \varepsilon^e \text{ et } \varepsilon^e = \varepsilon - \varepsilon^{th} - \varepsilon^p \\ \dot{\varepsilon}^p = \frac{3}{2} \dot{p} \frac{\tilde{\sigma}}{\sigma_{eq}} \text{ avec } \dot{p} = \frac{\dot{r}}{(1-D)} \\ \dot{r} = \left(\frac{\frac{\sigma_{eq}}{(1-D)} - \sigma_y}{K r^{1/M}} \right)^N \quad \dot{D} = \left(\frac{\sigma_{eq}}{A(1-D)} \right)^R \end{array} \right.$$

5.3.1 Syntaxe

```
| / VISC_ENDO =
  / VISC_ENDO_FO = _F (
    ♦ SY          = sy          [R] ou [fonction**]
    ♦ A_D         = ad,         [R] ou [fonction**]
    ♦ R_D         = rd,         [R] ou [fonction**]
  )
```

Le tableau ci-dessous résume les correspondances entre les symboles des équations et les mots clés d'Aster.

Paramètre matériau	Symbole dans les équations	Mot clé dans Aster
Seuil de viscoplasticité	σ_y	'SY'
Coefficient de la loi d'endommagement	A	'A_D'
Premier exposant de la loi d'endommagement	R	'R_D'

5.4 Mot clé facteur NON_LOCAL

Ce mot clé facteur permet de renseigner les caractéristiques nécessaires à l'emploi de modèles de comportement non locaux pour lesquels la réponse du matériau ne se définit plus à l'échelle du point matériel mais à celle de la structure, voir également `AFFE_MODELE` [U4.41.01] et le fascicule [R5.04].

5.4.1 Syntaxe

```
| NON_LOCAL = _F (
  ♦ LONG_CARA          = long,      [R]
  ♦ C_GRAD_VARI        = long,      [R]
  ♦ COEF_RIGI_MINI     = coef,      [R]
  ♦ C_GONF              = gonf,      [R]
  ♦ PENA_LAGR           = pena,      [R]
)
```

5.4.2 Opérandes LONG_CARA/C_GRAD_VARI/COEF_RIGI_MINI/C_GONF/PENA_LAGR

`LONG_CARA = long`

Détermine la longueur caractéristique ou échelle de longueur interne au matériau. A ne pas utiliser avec les lois d'endommagement non local à gradient de d'endommagement `GRAD_VARI`.

`C_GRAD_VARI = long`

Paramètre de non localité pour la formulation à gradient de variable interne, présent dans l'énergie libre sous la forme $c/2(\nabla a)^2$. Il détermine la longueur caractéristique de la zone d'endommagement. A utiliser exclusivement avec les lois d'endommagement non local à gradient de d'endommagement GRAD_VARI.

COEF_RIGI_MINI = coef

A quant à lui un rôle algorithmique puisqu'il fixe, pour les modèles d'endommagement qui dégradent la rigidité du matériau, la proportion de la rigidité initiale (module d'Young) définit sous ELAS (0,1 % par exemple) en deçà de laquelle on stoppe le mécanisme d'endommagement : cette rigidité résiduelle permet de préserver le caractère bien posé du problème élastique.

C_GONF = gonf

Dans le modèle de Rousselier, le caractère adoucissant est porté par la porosité qui a un effet purement hydrostatique. Pour contrôler la localisation, l'idée est de régulariser le problème uniquement sur cette partie et donc de régulariser la variable de gonflement si on utilise la modélisation INCO_GD.

PENA_LAGR = pena

Paramètre de pénalisation utilisé pour les modélisations à gradients de variables internes (_GRAD_VARI) et second gradient (_DIL), qui permet de contrôler la coïncidence entre un champ aux noeuds (degrés de liberté spécifiques au non local) et un champ aux points de Gauss (variable interne ou déformation).

Une valeur par défaut de 1000 est implantée. Pour la modélisation _DIL il est déconseillé de diminuer cette valeur (perte de précision pour la résolution). Pour la modélisation GRAD_VARI ce paramètre correspond au multiplicateur r du terme quadratique de pénalisation dans l'énergie libre: $r/2(\alpha - a)^2$. Il est à utilisateur d'ajuster sa valeur en fonction de la loi utilisée.

5.5 Mot clé facteur RUPT_FRAG, RUPT_FRAG_FO

La théorie de la rupture de Francfort et Marigo permet de modéliser l'apparition et la propagation de fissures en rupture fragile. Elle s'appuie sur le critère de Griffith qui compare la restitution d'énergie élastique et l'énergie dissipée lors de la création d'une surface fissurée, fournie par le mot clé GC. Ce mot clé, définit tout seul avec le matériau RUPT_FRAG est utilisé pour le comportement du même nom. GC Associé aux autres paramètres du matériau RUPT_FRAG est destiné aux lois de comportement cohésives, CZM_* (voir [R7.02.11]).

5.5.1 Syntaxe

```
◇ | / RUPT_FRAG = _F (
    ◆ GC                = gc,          [R]
    ◇ SIGM_C             = sigm,        [R]
    ◇ PENA_ADHERENCE     = pad,          [R]
    ◇ PENA_CONTACT       = /pco,        [R]
                                /1.,      [DEFAULT]
    ◇ PENA_LAGR           = /pla         [R]
                                /100.,    [DEFAULT]
    ◇ RIGI_GLIS           = /pgl,        [R]
                                /10.,     [DEFAULT]
)
/ RUPT_FRAG_FO = _F (
    ◆ GC                = gc,          [fonction**]
    ◇ SIGM_C             = sigm,        [fonction**]
    ◇ PENA_ADHERENCE     = pad,          [fonction**]
    PENA_CONTACT         = pco,         [fonction**]
)
```

5.5.2 Opérateur **G_c**

L'énergie dissipée est proportionnelle à la surface de fissure créée, le coefficient de proportionnalité étant la densité d'énergie critique du matériau G_c .

5.5.3 Opérateur **SIGM_c**

Contrainte critique à l'origine à partir de laquelle la fissure va s'ouvrir et la contrainte entre les lèvres décroître.

5.5.4 Opérateur **PENA_ADHERENCE**

Petit paramètre de régularisation de la contrainte en zéro (pour plus de détails voir [R7.02.11]).

Remarque :

*Les paramètres **SIGM_c** et **PENA_ADHERENCE** sont uniquement obligatoires dans le cas des modélisations **xxx_JOINT**. Ils ne sont pas utilisés pour le critère de Griffith, c'est pourquoi ils apparaissent comme facultatifs au niveau du catalogue.*

5.5.5 Opérateur **PENA_CONTACT**

Petit paramètre de régularisation du contact.

5.5.6 Opérateurs **PENA_LAGR** et **RIGI_GLIS**

Paramètre de pénalisation du lagrangien ($pla \geq 0.01$) et rigidité en mode de glissement.

5.6 Mot clé facteur **RUPT_DUCT**

Ce matériau est destiné à définir le comportement d'une fissure cohésive ductile avec la loi de comportement **CZM_TRA_MIX** voir [R7.02.11].

5.6.1 Syntaxe

```
◇ | / RUPT_DUCT = _F (
    ◇ GC = gc, [R]
    ◇ SIGM_c = sigm, [R]
    ◇ COEF_EXTR = coee, [R]
    ◇ COEF_PLAS = coep, [R]
    ◇ PENA_LAGR = /pla, [R]
    /100., [DEFAULT]
    ◇ RIGI_GLIS = /pgl, [R]
    /10., [DEFAULT]
)
```

5.6.2 Opérateur **G_c**

L'énergie dissipée est proportionnelle à la surface de fissure créée, le coefficient de proportionnalité étant la densité d'énergie critique du matériau G_c .

5.6.3 Opérateur **SIGM_c**

Contrainte critique à l'origine à partir de laquelle la fissure va s'ouvrir.

5.6.4 Opérateurs **COEF_EXTR** et **COEF_PLAS**

Paramètres de forme de la loi cohésive **CZM_TRA_MIX** voir [R7.02.11].

5.6.5 Opérateurs **PENA_LAGR** et **RIGI_GLIS**

Paramètre de pénalisation du lagrangien ($pla \geq .01$) et rigidité en mode de glissement.

5.7 Mot clé facteur **JOINT_MECA_RUPT**

La modélisation de joints des barrages s'appuie sur ce matériau [R7.01.25]. La pression hydrostatique due à la présence de liquide dans le joint est prise en compte. La procédure d'injection du béton sous pression (le clavage) est aussi implémentée. Ce mot clé matériau est utilisé par la loi de comportement du même nom : JOINT_MECA_RUPT.

5.7.1 Syntaxe

```
◇ | JOINT_MECA_RUPT = _F (
    ◇ K_N = kn, [R]
    ◇ K_T = kt, [R]
    ◇ SIGM_MAX = sigm, [R]
    ◇ ALPHA = /alpha, [R]
    /1., [DEFAULT]
    ◇ PENA_RUPTURE = pru, [R]
    ◇ PENA_CONTACT = /pco, [R]
    /1., [DEFAULT]
    ◇ PRES_FLUID = pflu [fonction**]
    ◇ PRES_CLAVAGE = pcla, [fonction**]
    ◇ RHO_FLUIDE = rho, [R]
    ◇ VISC_FLUIDE = vflu [R]
    ◇ OUV_MIN = ouchi, [R]
)
```

5.7.2 Opérande K_N

Rigidité normale en traction.

5.7.3 Opérande K_T

Rigidité tangentielle.

5.7.4 Opérande SIGM_MAX

Contrainte critique maximale à partir de laquelle la fissure s'ouvre et la contrainte entre les lèvres décroît. Cette contrainte est souvent appelée résistance à la traction.

5.7.5 Opérande ALPHA

Paramètre de régularisation de l'endommagement tangentiel. La longueur d'ouverture critique à partir de laquelle la rigidité tangentielle tombe vers zéro est définie ainsi:

$$L_{CT} = L_C \tan(\text{ALPHA} \pi / 4)$$

5.7.6 Opérande PENA_RUPTURE

Paramètre de lissage de rupture fragile. L'ouverture maximale avant la rupture complète est donnée par $L_C = \text{SIGM_MAX} (1 + \text{PENA_RUPTURE}) / K_N$

5.7.7 Opérande PENA_CONTACT

Rapport entre la rigidité normale en compression et en traction.

5.7.8 Opérande PRES_FLUIDE

Pression sur les lèvres de la fissure due à la présence de fluide (fonction qui peut dépendre de coordonnées géométriques ou de l'instant). Uniquement valable avec les modélisations joint mécanique : *_JOINT, et incompatible avec RHO_FLUIDE, VISC_FLUIDE et OUV_MIN.

5.7.9 Opérande PRES_CLAVAGE

Pression de béton injecté dans le joint pendant la phase de clavage (fonction qui peut dépendre de coordonnées géométriques ou de l'instant). Uniquement valable avec les modélisations joint mécanique : *_JOINT, et incompatible avec RHO_FLUIDE, VISC_FLUIDE et OUV_MIN.

5.7.10 Opérande RHO_FLUIDE

Masse volumique du fluide (réel positif [masse]/[volume]), uniquement valable pour les modélisations couplées hydro-mécaniques : *_JOINT_HYME et incompatible avec PRES_FLUIDE et PRES_CLAVAGE .

5.7.11 Opérande VISC_FLUIDE

Viscosité dynamique du fluide (réel strictement positif [pression].[temps]), uniquement valable pour les modélisations couplées hydro-mécaniques : *_JOINT_HYME et incompatible avec PRES_FLUIDE et PRES_CLAVAGE .

5.7.12 Opérande OUV_MIN

Ouverture de régularisation en pointe de fissure (réel strictement positif [longueur]), uniquement valable pour les modélisations couplées hydro-mécaniques : *_JOINT_HYME et incompatible avec PRES_FLUIDE et PRES_CLAVAGE .

5.8 Mot clé facteur JOINT_MECA_FROT

La modélisation de frottement entre les joints des barrages s'appuie sur ce matériau [R7.01.25]. C'est la version élastoplastique de la loi Mohr-Coulomb, qui dépend de cinq paramètres. Deux paramètres élastiques : la raideur tangentielle et la raideur normale. Deux paramètres caractérisant la fonction seuil : adhérence et le coefficient de frottement. Plus un paramètre de régularisation de la matrice tangente en glissement. Ce mot clé matériau est utilisé par la loi de comportement du même nom : JOINT_MECA_FROT.

5.8.1 Syntaxe

```
◇ | JOINT_MECA_FROT = _F (
    ◆ K_N = kn, [R]
    ◇ K_T = kt, [R]
    ◆ MU = mu, [R]
    ◇ ADHESION = /c, [R]
    /0., [DEFAULT]
    ◇ PENA_TANG = /pta, [R]
    /kt*1E-6, [DEFAULT]
)
```

5.8.2 Opérande K_N

Rigidité normale.

5.8.3 Opérande K_T

Rigidité tangentielle dans le domaine élastique.

5.8.4 Opérande MU

Coefficient de frottement.

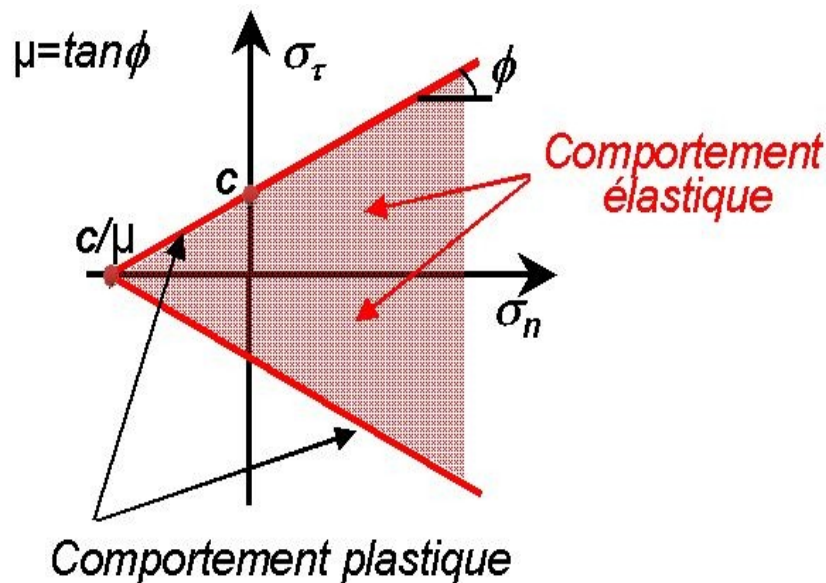
5.8.5 Opérande ADHESION

Contrainte de frottement à contrainte normale nulle. Résistance à la traction est donnée alors par :

$$R_T = C / \mu$$

5.8.6 Opérande PENA_TANG

Paramètre de régularisation de la matrice tangente en glissement, est introduit pour rendre la matrice tangente élémentaire inversible. On le fixe par défaut à une valeur petite par rapport à la rigidité tangente. Si la structure est soumise à des glissements très importants, il faut vérifier que le calcul n'est pas sensible à la valeur de ce paramètre.



5.9 Mot clé facteur CORR_ACIER

La loi CORR_ACIER est un modèle de comportement de l'acier, soumis à la corrosion dans les structures en béton armé. Ce modèle est développé en 1D et 3D elasto-plastique endommageable à écrouissage isotrope et s'appuie sur le modèle de Lemaître [R7.01.20].

$$\left\{ \begin{array}{l} \frac{\sigma_{eq}}{1-D} - R(p) - \sigma_y > 0 \\ \dot{\varepsilon}^p = \frac{3}{2} \frac{\dot{\lambda}}{1-D} \frac{\tilde{\sigma}}{\sigma_{eq}} \\ \dot{r} = \dot{\lambda} = \dot{p}(1-D) \\ R = kp^{1/m} \end{array} \right. \quad \text{Dans le domaine plastique } D=0, \text{ sinon } D = \frac{Dc}{p_R - p_D} (p - p_D)$$

5.9.1 Syntaxe

◇ | CORR_ACIER = _F (

◆ D_CORR	=	dc,	[R]
◆ ECRO_K	=	k,	[R]
◆ ECRO_M	=	m,	[R]
◆ SY	=	sy	[R]

)

5.9.2 Opérande D_CORR

Coefficient d'endommagement critique.

5.9.3 Opérandes ECRO_K, ECRO_M

Coefficients de la loi d'écrouissage $R = kp^{1/m}$.

5.9.4 Opérande sy

Limite d'élasticité initiale, notée σ_y dans les équations.

5.10 Mot clé facteur ENDO_HETEROGENE

La loi ENDO_HETEROGENE est un modèle d'endommagement isotrope représentant la formation et la propagation des fissures [R5.03.24]. La présence de fissure dans la structure est modélisée par des lignes d'éléments cassés ($d=1$). La rupture des éléments peut être causée soit par l'amorçage d'une nouvelle fissure, soit par propagation. Cette loi est adaptée aux matériaux hétérogènes (par exemple l'argile).

5.10.1 Syntaxe

```
◇ | ENDO_HETEROGENE = _F (
    ◆ WEIBULL           = w,           [R]
    ◆ SY                = sy,          [R]
    ◆ KI                = ki,          [R]
    ◆ EPAI              = ep,          [R]
    ◆ GR                = /gr,         [R]
                                /1.,     [DEFAULT]
)
```

5.10.2 Opérande WEIBULL

Paramètre associé au modèle de Weibull.

5.10.3 Opérande SY

Limite d'élasticité initiale, notée σ_y dans les équations.

5.10.4 Opérande KI

Tenacité K_{IC} .

5.10.5 Opérande EPAI

Épaisseur de l'échantillon représenté. Attention, si cette valeur est purement géométrique, elle est nécessaire pour cette loi de comportement.

5.10.6 Opérande GR

Graine du tirage aléatoire définissant les défauts initiaux. Permet d'obtenir un résultat unique pour chaque fichier de commande. Si la graine est nulle, le tirage sera réellement aléatoire et différera à chaque lancement. Par défaut, la valeur est égale à 1.

6 Comportements thermiques

Les divers comportements thermiques s'excluent mutuellement.

6.1 Mots clés facteur **THER**, **THER_FO**

Définition des caractéristiques thermiques linéaires constantes ou fonction définie par un concept du type `fonction` du paramètre '`INST`'.

6.1.1 Syntaxe

```
/ THER = _F (
    ◇ RHO_CP = cp, [R]
    ◆ LAMBDA = lambda [R]
)
/ THER_FO = _F (
    ◇ RHO_CP = cp, [fonction+]
    ◆ LAMBDA = lambda [fonction+]
)
```

6.1.2 Opérands **LAMBDA** / **RHO_CP**

`LAMBDA = lambda`

Conductivité thermique isotrope.

`RHO_CP = cp`

Chaleur volumique à pression constante (produit de la masse volumique et de la chaleur spécifique).
C'est le coefficient apparaissant dans l'équation :

$$cp \dot{T} - \text{div}(\lambda \cdot \text{grad } T) = f$$

6.2 Mot clé facteur **THER_ORTH**

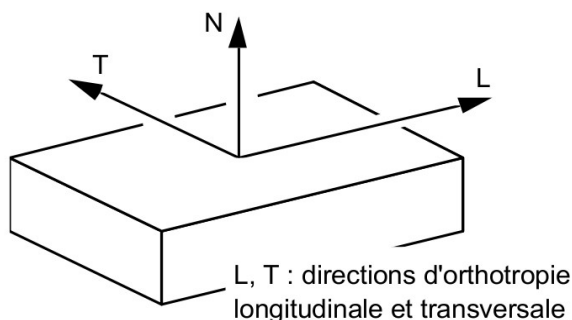
Définition des caractéristiques thermiques pour un matériau orthotrope.

Le lecteur pourra se reporter aux documentations suivantes :

[U4.42.03] `DEFI_COQU_MULT`

[U4.42.01] `AFFE_CARA_ELEM`

pour définir la direction longitudinale associée aux coques ou au 3D non isotrope.



6.2.1 Syntaxe

```
| THER_ORTH = _F (
    ◇ RHO_CP = cp, [R]
    ◆ LAMBDA_L = la1, [R]
    ◆ LAMBDA_T = lat, [R]
    ◇ LAMBDA_N = lan, [R]
)
```

6.2.2 Opérandes LAMBDA / RHO_CP

LAMBDA_L = lal
Conductivité thermique dans le sens longitudinal.
LAMBDA_T = lat
Conductivité thermique dans le sens transversal.
LAMBDA_N = lan
Conductivité thermique dans le sens normal.
RHO_CP = cp
Chaleur volumique.

6.3 Mot clé facteur THER_NL

Permet de décrire les caractéristiques thermiques dépendant de la température. La formulation fait intervenir l'enthalpie volumique (cf. [R5.02.02]).

$$\dot{\beta} - (\lambda(T) \cdot \text{grad } T) = f$$

6.3.1 Syntaxe

```
/ THER_NL = _F (
/   BETA = beta,      [fonction**]
/   RHO_CP = cp ,    [fonction**]
/   LAMBDA = lambda,  [fonction**]
/ )
```

6.3.2 Opérandes BETA / LAMBDA / RHO_CP

BETA = beta
Enthalpie volumique fonction de la température. Pour l'enthalpie, les prolongements de la fonction sont nécessairement linéaires.

RHO_CP = cp
Chaleur volumique.

LAMBDA = lambda
Conductivité thermique isotrope fonction de la température.

Remarque:

Il n'est pas possible d'utiliser une formule pour ces trois paramètres du matériau car l'algorithme a besoin d'en calculer de nombreuses fois la dérivée, ce qui est plus facilement accessible pour une fonction linéaire par morceaux. Ainsi, l'utilisateur, s'il désire utiliser une formule plutôt qu'une fonction, doit d'abord la tabuler à l'aide la commande CALC_FONC_INTERP.

6.4 Mots clés facteur THER_COQUE, THER_COQUE_FO

Permet de définir les conductivités membranaires et transverses et la capacité thermique pour des coques thermiques hétérogènes homogénéisées.

Les directions 1 et 2 désignent celles du plan de la plaque, la direction 3 est perpendiculaire. On admet que le tenseur de conductivité en chaque point est diagonal et que ses valeurs propres sont 11, 12 et 13. Les coefficients sont donc définis par l'utilisateur dans le repère d'orthotropie de la plaque.

Le code fait ensuite le changement de repère pour retrouver les valeurs correctes dans le repère de l'élément.

6.4.1 Syntaxe

```
/ THER_COQUE
/ THER_COQUE_FO = _F (

    ♦ COND_LMM = a1111,      [R] ou [fonction+]
    ♦ COND_TMM = a2211,      [R] ou [fonction+]
    ♦ COND_LMP = a1111,      [R] ou [fonction+]
    ♦ COND_TMP = a2211,      [R] ou [fonction+]
    ♦ COND_LPP = a1111,      [R] ou [fonction+]
    ♦ COND_TPP = a2211,      [R] ou [fonction+]
    ♦ COND_LSI = a1111,      [R] ou [fonction+]
    ♦ COND_TSI = a2211,      [R] ou [fonction+]
    ♦ COND_NMM = b1,         [R] ou [fonction+]
    ♦ COND_NMP = b12,         [R] ou [fonction+]
    ♦ COND_NPP = b22,         [R] ou [fonction+]
    ♦ COND_NSI = b23,         [R] ou [fonction+]
    ◇ CMAS_MM = c11,          [R] ou [fonction+]
    ◇ CMAS_MP = c12,          [R] ou [fonction+]
    ◇ CMAS_PP = c22,          [R] ou [fonction+]
    ◇ CMAS_SI = c23,          [R] ou [fonction+]
)
```

6.4.2 Opérandes COND_LMM / COND_LMP / COND_LPP / COND_LSI / COND_TMM / COND_TMP / COND_TPP / COND_TSI

P1, P2, P3 désignent les fonctions d'interpolation de la température dans l'épaisseur.

Si a est la matrice de conductivité moyenne surfacique définie dans la note [R3.11.01], on a alors pour le tenseur de conductivité membranaire.

```
COND_LMM = a1111
terme lié à l'intégrale de  $11 \cdot P1 \cdot P1$ 
COND_LMP = a1112
terme lié à l'intégrale de  $11 \cdot P1 \cdot P2$ 
COND_LPP = a1122
terme lié à l'intégrale de  $11 \cdot P2 \cdot P2$ 
COND_LSI = a1123
terme lié à l'intégrale de  $11 \cdot P2 \cdot P3$ 
COND_TMM = a2211
terme lié à l'intégrale de  $12 \cdot P1 \cdot P1$ 
COND_TMP = a2212
terme lié à l'intégrale de  $12 \cdot P1 \cdot P2$ 
COND_TPP = a2222
terme lié à l'intégrale de  $12 \cdot P2 \cdot P2$ 
COND_TSI = a2223
terme lié à l'intégrale de  $12 \cdot P2 \cdot P3$ 
```

6.4.3 Opérandes COND_NMM / COND_NMP / COND_NPP / COND_NSI

Si b est le tenseur qui décrit la conduction transversale et les échanges sur les surfaces $\omega_{\text{omega+}}$ et $\omega_{\text{omega-}}$, défini dans la note [R3.11.01], on a pour le tenseur de conductivité transverse :

```
COND_NMM = b11  
terme lié à l'intégrale de  $13 \cdot P1 \cdot P1$   
COND_NMP = b12  
terme lié à l'intégrale de  $13 \cdot P1 \cdot P2$   
COND_NPP = b22  
terme lié à l'intégrale de  $13 \cdot P2 \cdot P2$   
COND_NSI = b23  
terme lié à l'intégrale de  $13 \cdot P2 \cdot P3$ 
```

6.4.4 Opérandes CMAS_MM / CMAS_MP / CMAS_PP / CMAS_SI

On a enfin pour le tenseur de capacité thermique.

```
CMAS_MM = c11  
terme lié à l'intégrale de  $RHOC \cdot P1 \cdot P1$   
CMAS_MP = c12  
terme lié à l'intégrale de  $RHOC \cdot P1 \cdot P2$   
CMAS_PP = c22  
terme lié à l'intégrale de  $RHOC \cdot P2 \cdot P2$   
CMAS_SI = c23  
terme lié à l'intégrale de  $RHOC \cdot P2 \cdot P3$ 
```

7 Comportements spécifiques aux bétons

7.1 Mot clé facteur THER_HYDR

Permet de définir le comportement associé à l'hydratation du béton.

L'hydratation du béton est un phénomène qui s'accompagne d'un dégagement de chaleur dépendant de la température [R7.01.12].

$$\left. \begin{aligned} \frac{d\beta}{dt} + \text{div } q &= Q \frac{d\xi(T)}{dt} + s \\ q &= -\lambda \text{grad } T \end{aligned} \right\} \quad \text{éq 7.1-1}$$

$$\frac{d\xi}{dt} = \text{AFF}(\xi, T) \quad \text{éq 7.1-2}$$

7.1.1 Syntaxe

```
| THER_HYDR = _F (
    ♦ LAMBDA = lambda, [fonction**]
    ♦ BETA = beta, [fonction**]
    ♦ AFFINITE = AFF, [fonction]
    ♦ CHALHYDR = Q, [R]
)
```

7.1.2 Opérands LAMBDA / BETA

LAMBDA = lambda

Conductivité thermique isotrope fonction de la température.

BETA = beta

Enthalpie volumique fonction de la température. Les prolongements sont à minima linéaires, l'enthalpie volumique pouvant se définir comme l'intégrale de la chaleur volumique.

7.1.3 Opérande AFFINITE

AFFINITE = AFF

Fonction du degré d'hydratation et de la température. En général, on utilise :

$$\text{AFF}(\xi, T) = A(\xi) \exp\left(-\frac{E_a}{RT}\right) \quad \text{avec} \quad \text{QSR_K} = \frac{E_a}{R} \quad \text{la constante d'Arrhénius exprimée en degré}$$

Kelvin, et A déterminée par un essai calorimétrique du béton (fonction de la grandeur HYDR).

7.1.4 Opérande CHAL_HYDR

CHAL_HYDR = Q

Chaleur dégagée par unité d'hydratation (supposée constante), cette fonction dépend du type de béton.

7.2 Mot clé facteur SECH_GRANGER

Définition des paramètres caractérisant le coefficient de diffusion $D(C, T)$ intervenant dans l'équation non linéaire du séchage proposée par Granger (cf. [R7.01.12]). Ces caractéristiques sont des constantes, tandis que le coefficient de diffusion dépend de la variable de calcul, c'est-à-dire la concentration C courante en eau, (comme la conductivité thermique dépendait de la température).

7.2.1 Syntaxe

```
| SECH_GRANGER = _F (
    ♦ A          = a,          [R]
    ♦ B          = b,          [R]
    ♦ QSR_K      = QsR,       [R]
    ♦ TEMP_0_C   = T0,        [R]
)
```

7.2.2 Opérandes A / B / QSR_K / TEMP_0_C

Ces coefficients permettent d'exprimer le coefficient de diffusion sous sa forme la plus couramment utilisée dans la littérature et proposée par L. Granger :

$$D(C, T) = a \cdot e^{(b \cdot C)} \frac{T}{T_0} e^{\left[-\frac{Q}{R} \left(\frac{1}{T} - \frac{1}{T_0} \right) \right]}$$

A= a

Coefficient de diffusion variant de $0.5 \cdot 10^{-13}$ et $2 \cdot 10^{-13} m^2/s$ pour le béton.

B= b

Coefficient de l'ordre de 0.05 pour le béton.

QSR_K= QsR

QsR vaut en général $4700 \cdot K$. (R est la constante des gaz parfaits).

TEMP_0_C= T0

Température de référence dans la loi d'Arrhénius. La température de référence $T0$ est en **degrés Celsius**, et convertie en Kelvin lors de la résolution.

7.3 Mot clé facteur SECH_MENSI

Définition des paramètres caractérisant le coefficient de diffusion intervenant dans l'équation non linéaire du séchage proposée par Mensi (cf. [R7.01.12]). Ces caractéristiques sont des constantes, tandis que le coefficient de diffusion dépend de la variable de calcul, c'est-à-dire la concentration C courante en eau, (comme la conductivité thermique dépendait de la température). C'est une formulation simplifiée du cas général, constituant la loi de Mensi.

7.3.1 Syntaxe

```
| SECH_MENSI = _F (
    ♦ A = a,          [R]
    ♦ B = b,          [R]
)
```

7.3.2 Opérandes A / B

Ces coefficients permettent d'exprimer le coefficient de diffusion selon la loi de Mensi :

$$D(C) = a \cdot e^{(b \cdot C)}$$

A= a

Coefficient de diffusion variant de $0.5 \cdot 10^{-13}$ et $2 \cdot 10^{-13} m^2/s$ pour le béton.

B= b

Coefficient de l'ordre de 0.05 pour le béton.

7.4 Mot clé facteur SECH_BAZANT

Définition des paramètres caractérisant le coefficient de diffusion intervenant dans l'équation non linéaire du séchage proposée par Bazant (cf. [R7.01.12]). Ces caractéristiques sont des constantes, tandis que le coefficient de diffusion dépend de la variable de calcul, c'est à dire la concentration C courante en eau, (comme la conductivité thermique dépendait de la température). Cette formulation constitue la loi de Bazant.

7.4.1 Syntaxe

```
| SECH_BAZANT = _F (
    ♦ D1                = d1,                [R]
    ♦ ALPHA_BAZANT      = alpha,             [R]
    ♦ N                 = n,                 [R]
    ♦ FONC_DESORP       = desorp,            [fonction**]
)
```

7.4.2 Opérands D1 / ALPHA_BAZANT / N / FONC_DESORP

Ces coefficients permettent d'exprimer le coefficient de diffusion selon la loi de Bazant :

$$D(h) = d_1 \left(\alpha + \frac{1 - \alpha}{1 + \left(\frac{1 - h}{1 - 0.75} \right)^n} \right)$$

où h est le degré d'hydratation, lié à la concentration en eau par la courbe de désorption.

D1 = d1

Coefficient de diffusion qui est de l'ordre de $3 \cdot 10^{-13} m^2/s$ pour le béton.

ALPHA_BAZANT = alpha

Coefficient variant de 0.025 à 0.1 pour le béton.

N = n

Exposant de l'ordre de 6 pour le béton.

FONC_DESORP = desorp

Courbe de désorption, permettant de passer de la concentration en eau au degré d'hydratation h .

Remarque importante :

desorp est une fonction de la variable de calcul, C , la concentration en eau, qui est assimilée pour la résolution à une température, de type 'TEMP'.

7.5 Mot clé facteur SECH_NAPPE

Le coefficient de diffusion, caractérisant l'équation non linéaire du séchage, est exprimé à l'aide d'une nappe, fonction tabulée de la concentration en eau, variable de calcul, et de la température, variable auxiliaire de calcul, donnée sous la forme d'une structure de donnée de type `evol_ther`. Pour la résolution du séchage par l'opérateur `THER_NON_LINE`, la concentration en eau est assimilée à une température, de type `'TEMP'`.

Pour la cohérence des données, les paramètres de la nappe, c'est à dire la variable de calcul et la variable auxiliaire ne peuvent pas être du même type. Un nouveau type de variable a été ajouté dans `DEFI_NAPPE`, le "type de la température calculée préalablement au séchage", `'TSEC'`, qui correspond effectivement à une température.

7.5.1 Syntaxe

```
| SECH_NAPPE = _F (
                    ♦ FONCTION = nom_fonc, [fonction]
                    )
```

7.5.2 Opérande FONCTION

Le coefficient de diffusion est exprimé à l'aide d'une fonction tabulée des paramètres C et T .

`FONCTION = nom_fonc`

Nom de la nappe.

7.6 Mot clé facteur PINTO_MENEGOTTO

Définitions des coefficients de la relation de comportement d'élastoplasticité cyclique des armatures en acier dans le béton armé selon le modèle de Pinto-Menegotto (cf. [R5.03.09]).

La courbe de traction initiale (début du chargement) est définie par :

- $\sigma = Ee$ tant que $\sigma \leq \sigma_y$; E défini sous `ELAS`
- $\sigma = \sigma_y$ pour $\frac{\sigma_y}{E} \leq e \leq e_h$
- $\sigma = \sigma_u - (\sigma_u - \sigma_y) \left(\frac{\varepsilon_u - \varepsilon}{\varepsilon_u - \varepsilon_h} \right)^4$ pour $\varepsilon_h \leq \varepsilon < \varepsilon_u$
(ε ne peut pas dépasser ε_u)

La courbe $s = f(e)$ au $n^{ième}$ cycle est définie par :

$$\sigma_L^* = b \varepsilon_L^* + \left(\frac{1-b}{1 + (\varepsilon_L^*)^R} \right) \varepsilon_L^* \text{ avec } R = R_0 - \frac{a_1 \xi}{a_2 + \xi}$$

et $b = \frac{E_h}{E}$, E_h : pente d'écrouissage asymptotique

où e^* est défini par : $\varepsilon^* = \frac{\varepsilon - \varepsilon_r^{n-1}}{\varepsilon_y^n - \varepsilon_r^{n-1}}$.

où σ^* est défini par : $\sigma^* = \frac{\sigma - \sigma_r^{n-1}}{\sigma_y^n - \sigma_r^{n-1}}$.

La quantité ε_y^n est déduite du cycle $n-1$ par :

$$\varepsilon_y^n = \varepsilon_r^{n-1} + \frac{\sigma_y^n - \sigma_r^{n-1}}{E}$$
$$\sigma_y^n = \sigma_y^{n-1} \cdot \text{sign}(\varepsilon_y^{n-1} - \varepsilon_r^{n-1}) + \varepsilon_H(\varepsilon_r^{n-1} - \varepsilon_y^{n-1})$$

La variable ξ est définie par :

$$\xi = \frac{\varepsilon_r^{n-1} - \varepsilon_y^{n-1}}{\varepsilon_y^n - \varepsilon_r^{n-1}}$$

où ε_r^{n-1} représente la déformation atteinte à la fin du $n-1$ ème demi-cycle

et ε_y^{n-1} , ε_y^n représentent les déformations de fin de linéarité des demi-cycles $n-1$ et n .

b représente soit la valeur fournie par l'utilisateur (mot clé EP_SUR_E) soit, à défaut :

$$b = \frac{E_H}{E} \quad \text{avec} \quad E_H = \frac{\sigma_u - \sigma_y}{\varepsilon_u - \frac{\sigma_y}{E}}$$

En cas de flambage, (si $L/D > 5$) :

- en compression on remplace b par $b_c = a(5.0 - L/D) e^{\left(b\xi' \frac{E}{\sigma_y - \sigma_\infty}\right)}$
 - en traction, on calcule une nouvelle pente $E_r = E \left(a_5 + (1.0 - a_5) e^{\left(-a_6(\varepsilon_r^{n-1} - \varepsilon_y^{n-1})\right)} \right)$ avec
- $$a_5 = 1 + \frac{5 - L/D}{7.5}.$$

ξ' représente la plus grande « excursion plastique » au cours du chargement: $\xi' = \max_n (\varepsilon_r^n - \varepsilon_y^n)$ et

$$\sigma_\infty = 4 \frac{\sigma_y}{L/D}$$

Dans le cas du flambage, on ajoute à σ_y^n la valeur $\sigma_s^* = \gamma_s b E \frac{b - b_c}{1 - b_c}$ avec $\gamma_s = \frac{11 - L/D}{10 \left(e^{\frac{cL}{D}} - 1 \right)}$.

7.6.1 Syntaxe

```
| PINTO_MENEGOTTO = _F(  
    ♦ SY = sigm, [R]  
    ♦ EPSI_ULTM = epsu, [R]  
    ♦ SIGM_ULTM = sigmu, [R]  
    ◇ ELAN = / L/D, [R]  
    / 4., [DEFAULT]  
    ♦ EPSP_HARD = epsh, [R]  
    ◇ R_PM = / R0, [R]  
    / 20., [DEFAULT]  
    ◇ EP_SUR_E = b, [R]  
    ◇ A1_PM = / a1, [R]  
    / 18.5, [DEFAULT]  
    ◇ A2_PM = / a2, [R]  
    / 0.15, [DEFAULT]  
    ◇ A6_PM = / a6, [R]  
    / 620., [DEFAULT]  
    ◇ C_PM = / c, [R]  
    / 0.5, [DEFAULT]  
    ◇ A_PM = / a, [R]  
    / 0.006 [DEFAULT]  
)
```

7.6.2 Opérandes

SY = sigm

Limite d'élasticité initiale, notée σ_y dans les équations.

EPSI_ULTM = epsu, notée ε_u dans les équations.

Déformation ultime.

SIGM_ULTM = sigmu, notée σ_u dans les équations.

Contrainte ultime.

◇ ELAN = L/D

Elancement de la barre (>5 : flambage).

EPSP_HARD = epsh, notée ε_h dans les équations.

Déformation correspondant à la fin du palier plastique.

◇ EP_SUR_E = b

Ratio pente d'écrouissage/module d'Young (si aucune valeur n'est donnée, on prend $b = \frac{E_H}{E}$).

A1_PM = a1

Coefficient définissant la courbe de traction du modèle.

A2_PM = a2

Coefficient définissant la courbe de traction du modèle.

A6_PM = a6

Coefficient définissant la courbe de traction du modèle en cas de flambage.

C_PM = c utilisé dans γ_s

Coefficient définissant la courbe de traction du modèle en cas de flambage.

A_PM = a

Coefficient définissant la courbe de traction du modèle en cas de flambage.

R_PM =

Coefficient R_0 (20. par défaut).

Le module d'Young `E` et le coefficient de dilatation thermique `ALPHA` sont à préciser par les mots-clés `ELAS` ou `ELAS_FO`.

7.7 Mots clés facteur `BPEL_BETON`, `BPEL_ACIER`

Définition des caractéristiques intervenant dans le modèle de comportement des câbles de précontrainte [R7.01.02].

Les caractéristiques élastiques linéaires du matériau béton et du matériau acier doivent être simultanément définies sous le mot clé `ELAS`.

7.7.1 Syntaxe

```
| / BPEL_BETON = _F (
    ◇ PERT_FLUA = / xflu, [R]
                  / 0., [DEFAULT]
    ◇ PERT_RETR = / xret, [R]
                  / 0. [DEFAULT]
)
/ BPEL_ACIER = _F (
    ◇ RELAX_1000 = / rh1000, [R]
                  / 0., [DEFAULT]
    ◇ MU0_RELAX = / mu0, [R]
                  / 0., [DEFAULT]
    ◇ F_PRG = fprg, [R]
    ◇ FROT_COURB = / f, [R]
                  / 0., [DEFAULT]
    ◇ FROT_LINE = / phi, [R]
                  / 0. [DEFAULT]
)
```

7.7.2 Opérandes

Comportement : `BPEL_BETON`

Mot-clé facteur pour la définition des paramètres caractéristiques du matériau béton qui interviennent dans l'estimation des pertes de tension le long des câbles de précontrainte. Ce mot-clé facteur ne peut être utilisé que conjointement avec le mot-clé facteur `ELAS`.

`PERT_FLUA = xflu`

Taux forfaitaire de perte de tension par fluage du béton, par rapport à la tension initiale.

$\Delta F_{flu} = x_{flu} \cdot F_0$ où F_0 désigne la tension initiale définie par `DEFI_CABLE_BP`. [U4.42.04]

La valeur par défaut est 0 : dans ce cas, on ne tient pas compte des pertes de tension par fluage du béton.

Attention, cette valeur ne sera pas affectée par le renseignement du coefficient de relaxation `R_J` dans `DEFI_CABLE_BP`. La valeur `xflu` doit donc tenir compte de cet effet (multiplication par

$r(t) = \frac{t}{t + 9r_m}$, t correspondant à la date à laquelle on veut estimer l'état de la structure et r_m le

rayon moyen).

`PERT_RETR = xret`

Taux forfaitaire de perte de tension par retrait du béton, par rapport à la tension initiale.

$\Delta F_{ret} = x_{ret} \cdot F_0$ où F_0 désigne la tension initiale.

La valeur par défaut est 0 : dans ce cas, on ne tient pas compte des pertes de tension par retrait du béton.

Attention, cette valeur ne sera pas affectée par le renseignement du coefficient de relaxation `R_J` dans `DEFI_CABLE_BP`. La valeur `xret` doit donc tenir compte de cet effet (multiplication par

$$r(t) = \frac{t}{t + 9r_m}$$
, t correspondant à la date à laquelle on veut estimer l'état de la structure et r_m le rayon moyen).

Comportement : BPEL_ACIER

Mot-clé facteur pour la définition des paramètres caractéristiques du matériau acier qui interviennent dans l'estimation des pertes de tension le long des câbles de précontrainte. Ce mot-clé facteur ne peut être utilisé que conjointement avec le mot-clé facteur ELAS.

RELAX_1000 = rh1000

Relaxation de l'acier à 1000 heures, exprimée en %.

La valeur par défaut est 0 : dans ce cas, on ne tient pas compte des pertes de tension par relaxation de l'acier.

MU0_RELAX = mu0

Coefficient adimensionnel de relaxation de l'acier précontraint. La valeur par défaut est 0.

F_PRG = fprg

Contrainte garantie de la charge maximale à rupture (suivant le BPEL)

Si on tient compte des pertes de tension par relaxation de l'acier (RELAX_1000 renseignée par une valeur non nulle), il faut obligatoirement renseigner l'opérande F_PRG, par une valeur non nulle.

FROT_COURB = f

Coefficient de frottement du câble sur le béton en partie courbe, en rad^{-1} . La valeur par défaut est 0.

FROT_LINE = phi

Coefficient de frottement par unité de longueur, en partie droite. La valeur par défaut est 0.

7.8 Mot clé facteur BETON_DOUBLE_DP

Le modèle de comportement 3D développé dans *Code_Aster* est formulé dans le cadre de la thermo-plasticité, pour la description du comportement non linéaire du béton, en traction, et en compression, avec la prise en compte des variations irréversibles des caractéristiques thermiques et mécaniques du béton, particulièrement sensibles à haute température [R7.01.03].

7.8.1 Syntaxe

```
| BETON_DOUBLE_DP = _F (
    ♦ F_C                = f'c,          [fonction]
    ♦ F_T                = f't,          [fonction]
    ♦ COEF_BIAX          = beta,         [fonction]
    ♦ ENER_COMP RUPT     = Gc,          [fonction]
    ♦ ENER_TRAC RUPT     = Gt,          [fonction]
    ♦ COEF_ELAS_COMP     = phi,         [fonction]
    ◇ LONG_CARA          = l_cara,       [R]
    ◇ ECRO_COMP_P_PIC    = / 'LINEAIRE', [DEFAULT]
                                / 'PARABOLE', [TXM]
    ◇ ECRO_TRAC_P_PIC    = / 'LINEAIRE', [DEFAULT]
                                / 'EXPONENT' [TXM]
)
```

Les fonctions peuvent dépendre des variables de commandes suivantes :

'TEMP', 'INST', 'HYDR', 'SECH'.

BETON_DOUBLE_DP permet de définir toutes les caractéristiques associées à la loi de comportement avec double critère de Drucker Prager. En complément de ces caractéristiques, le module d'élasticité, le coefficient de Poisson, et le coefficient de dilatation thermique α , ainsi que les coefficients de retrait endogène et de retrait de dessiccation, doivent être définis sous le mot-clé ELAS pour les coefficients réels, ou ELAS_FO, pour les coefficients définis par des fonctions, ou des nappes. Toutes

les caractéristiques du modèle, $(E, \nu, \alpha, f'_c, f'_t, \beta, G_c, G_t)$ de type [fonction*] peuvent dépendre d'une ou de deux variables parmi la température, l'hydratation et le séchage. Lorsqu'elles dépendent de la température, elles sont fonctions du maximum de la température atteinte au cours de l'historique de chargement θ , qui est conservée en mémoire pour chaque point de Gauss, sous forme de variable interne. Ceci permet de prendre en compte les variations irréversibles de ces caractéristiques à haute température.

7.8.2 Opérandes F_C / F_T / COEF_BIAX

F_C = f'_c

Résistance en compression uniaxiale f'_c .

F_T = f'_t

Résistance en traction uniaxiale f'_t .

COEF_BIAX = β

Le rapport de la résistance en compression biaxiale à la résistance en compression uniaxiale β .

7.8.3 Opérandes ENER_COMP RUPT / ENER_TRAC RUPT / COEF_ELAS_COMP

ENER_COMP RUPT = G_c

L'énergie de rupture en compression G_c ,

ENER_TRAC RUPT = G_t

L'énergie de rupture en traction G_t .

COEF_ELAS_COMP = ϕ

La limite d'élasticité en compression, donnée par un coefficient de proportionnalité en pourcentage de la résistance au pic $f'_c(\theta)$ est en général de l'ordre de 30% pour les bétons standard.

7.8.4 Opérandes LONG_CARA

Cet opérande permet de surcharger la longueur caractéristique calculée automatiquement, pour chaque maille, en fonction de ses dimensions (à partir de sa surface en 2D, à partir de son volume en 3D).

La longueur caractéristique calculée automatiquement permet, lorsque la finesse du maillage évolue d'un calcul à l'autre, de conserver des résultats stables en évitant les phénomènes de localisation. Cette longueur calculée automatiquement ou donnée par l'utilisateur, conduit à la valeur de l'écrouissage ultime en traction suivant la formule (pour un écrouissage post-pic linéaire) :

$$\kappa_u(\theta) = \frac{2 \cdot G_t(\theta)}{l_c \cdot f'_t(\theta)}$$

Dans le cas particulier d'un maillage contenant des mailles adjacentes dont les dimensions sont très différentes, les écrouissages ultimes du modèle BETON_DOUBLE_DP calculés à partir de la longueur caractéristique des mailles sont par conséquent très différents, ce qui peut engendrer des problèmes de convergence ou conduire à un état de contraintes peu physique. (Cette longueur caractéristique est calculée à partir du volume de la maille courante). Pour cette raison, on se propose de donner la possibilité à l'utilisateur de définir une longueur moyenne qui surcharge la longueur caractéristique calculée pour chaque maille. Le défaut de Code_Aster est la longueur caractéristique calculée pour chaque maille.

Choisir une longueur arbitraire et identique pour toutes les mailles peut aussi engendrer des difficultés de convergence. La meilleure solution consiste à créer un maillage dont les variations des dimensions des mailles respectent le sens de variation du champ de contraintes, et d'utiliser la longueur caractéristique calculée automatiquement en fonction de la taille des mailles. La surcharge par LONG_CARA doit être réservée à des cas particuliers, quand l'utilisateur ne peut pas librement intervenir sur le maillage.

Dans le cas où l'utilisateur définit la longueur caractéristique dans le matériau, il choisira un couple $(G_t, \text{LONG_CARA})$ tel que $\frac{2 \cdot G_t(\theta)}{l_c \cdot f'_t(\theta)}$ vaille la valeur qu'il souhaite pour l'écroutissage ultime en traction κ_u . (La valeur usuelle de la déformation associée à l'écroutissage ultime en traction d'un béton moyen est de 5.E-4).

7.8.5 Opérandes COMP_POST_PIC / TRAC_POST_PIC

Les paramètres permettant de définir la courbe d'adoucissement en compression et en traction sont facultatifs, et possèdent des valeurs par défaut.

```
ECRO_COMP_P_PIC=      / 'LINEAIRE'  
                     / 'PARABOLE'
```

Forme de la courbe post-pic en compression de type texte, qui peut prendre les valeurs 'LINEAIRE' et 'PARABOLE'. La courbe non linéaire est alors de type parabolique.

```
ECRO_TRAC_P_PIC=      / 'LINEAIRE'  
                     / 'EXPONENT'
```

Forme de la courbe post-pic en traction de type texte, qui peut prendre les valeurs 'LINEAIRE' et 'EXPONENT'. La courbe non linéaire est alors de type exponentiel.

7.9 Mot clé facteur GRANGER_FP, GRANGER_FP_INDT, V_GRANGER_FP

Définition des paramètres matériaux pour le modèle viscoélastique de Granger, modélisant le fluage propre du béton. Il existe 3 relations de comportement : la première GRANGER_FP ne prend pas en compte le phénomène de vieillissement, la deuxième GRANGER_FP_INDT est identique sans effet de la température, la troisième V_GRANGER_FP rend compte du vieillissement. Cf [R7.01.01].

En 1D et en fluage, le modèle s'écrit : $\varepsilon_{fl}(t) = J(t, t_c, T, h) \cdot \sigma_0$ avec

$$J(t, t_c, T, h) = h \cdot \frac{T - (T_{ref} - 45)}{45} \cdot k(tc_{eq}) \cdot \sum_{s=0}^n J_s \left(1 - \exp\left(\frac{t_{eq} - t_c}{\tau_s}\right) \right)$$

t_c désigne le temps de chargement

$h = c^{-1}(C)$, ou c est la courbe isotherme de désorption permettant de passer du séchage C à l'hygrométrie h .

$$t_{eq}(t) = \int_{s=t_0}^t \exp\left(-\frac{U_c}{R} \left(\frac{1}{T(s)} - \frac{1}{293}\right)\right) ds$$

$k(tc_{eq}) = \frac{28^{0.2} + 0.1}{tc_{eq}^{0.2} + 1}$ dans le cas où on prend en compte le phénomène de vieillissement,

$$k(tc_{eq}) = 1 \text{ sinon } tc_{eq}(t_c) = \int_{s=t_0}^{t_c} \exp\left(-\frac{u_v}{R} \left(\frac{1}{T(s)} - \frac{1}{T_{ref}}\right)\right) ds$$

Remarques :

T_{ref} est la température de référence, elle est choisie par l'utilisateur à l'aide de la commande AFPE_MATERIAU.

Ce comportement peut être associé aux effets de dilatation et de retrait thermique définis par les opérandes K_DESSIC et B_ENDOGE sous le mot clé ELAS_FO.

Pour GRANGER_FP_INDT, la température n'intervient pas. Donc le terme multiplicatif $\frac{T - (T_{ref} - 45)}{45}$ est supprimé, de même que la dépendance de $t_{eq}(t)$ à la température.

7.9.1 Syntaxe pour le fluage propre

```
| GRANGER_FP = _F (
|   ◇ J1      = J1,          [R]
|   ◇ J2      = J2,          [R]
|   ◇ J3      = J3,          [R]
|   ◇ J4      = J4,          [R]
|   ◇ J5      = J5,          [R]
|   ◇ J6      = J6,          [R]
|   ◇ J7      = J7,          [R]
|   ◇ J6      = J8,          [R]
|   ◇ TAUX_1  = tau1,        [R]
|   ◇ TAUX_2  = tau2,        [R]
|   ◇ TAUX_3  = tau3,        [R]
|   ◇ TAUX_4  = tau4,        [R]
|   ◇ TAUX_5  = tau5,        [R]
|   ◇ TAUX_6  = tau6,        [R]
|   ◇ TAUX_7  = tau7,        [R]
|   ◇ TAUX_8  = tau8,        [R]
|   ◇ QSR_K   = qsr          [R]
| )
```

7.9.2 Opérandes pour le fluage propre

```
J1          =   J1
...
...
J8          =   J8
```

8 coefficients matériaux de la fonction de fluage, homogènes à un temps.

```
TAUX_1 =tau1
...
...
TAUX_8 =tau8
```

8 coefficients de «retard» de la fonction de fluage, homogènes à un temps.

```
QSR_K      =   Uc/R
```

Constante énergie d'activation intervenant dans le terme temps équivalent t_{eq} modélisant l'effet de la température sur la cinétique de fluage.

7.9.3 Syntaxe pour le fluage propre indépendant de la température

La syntaxe est identique au cas avec effet de la température, sans le mot clé QSR_K.

7.9.4 Syntaxe pour le vieillissement

Si on utilise la relation de comportement qui prend en compte le phénomène de vieillissement alors il faut renseigner en plus :

```
| V_GRANGER_FP =_F (
                    ◇ QSR_VEIL   = USR,                [R]
                    ◇ FONC_V     = k(tceq),             [fonction,
                                                         formule]
                    )
```

7.9.5 Opérandes pour le vieillissement

```
QSR_VEIL = USR
```

Constante énergie d'activation intervenant dans le terme temps de charge équivalent t_{ceq} modélisant l'effet de la température sur le vieillissement $\frac{u_v}{R}$.

```
FONC_V = k (tceq)
```

Fonction de vieillissement.

7.10 Mot clé LABORD_1D

Ce modèle de comportement non linéaire du béton est employé dans des situations uniaxiales sous l'effet de chargements monotones et cycliques. Le modèle est décrit dans la cadre de formulation thermodynamique des processus irréversibles. Il permet de tenir compte de l'endommagement du béton en traction et en compression, séparément, gère l'ouverture et la re-fermeture des fissures, et tient compte de la déformation non réversible.

Ce modèle a été développé pour être employé avec les éléments de poutre multifibres [R7.01.07].

Remarque :

| La prise en compte de l'effet d'un chargement thermique n'est pas possible pour le moment.

7.10.1 Syntaxe

```
◇ | LABORD_1D =_F (
                        ◆ Y01   =   Y01 ,                [R]
                        ◆ Y02   =   Y02 ,                [R]
```

```
♦ A1      = A1,          [R]
♦ A2      = A2,          [R]
♦ B1      = B1,          [R]
♦ B2      = B2,          [R]
♦ BETA1   = beta1,       [R]
♦ BETA2   = beta2,       [R]
♦ SIGF    = sigf         [R]
)
```

7.10.2 Opérandes

Y01 = Y01

Seuil d'évolution de la variable d'endommagement sous traction

Y02 = Y02

Seuil d'évolution de la variable d'endommagement sous compression

A1 = A1

Paramètre multiplicateur décrivant la cinétique d'évolution de la variable d'endommagement sous traction

A2 = A2

Paramètre multiplicateur décrivant la cinétique d'évolution de la variable d'endommagement sous compression

B1 = B1

Paramètre de puissance décrivant la cinétique d'évolution de la variable d'endommagement sous traction

B2 = B2

Paramètre de puissance décrivant la cinétique d'évolution de la variable d'endommagement sous compression

BETA1 = beta1

Paramètre décrivant l'amplitude de la déformation anélastique sous traction

BETA2 = beta2

Paramètre décrivant l'amplitude de la déformation anélastique sous compression

SIGF = sigf

Paramètre indiquant la contrainte d'ouverture et de re-fermeture de fissure

7.11 Mot clé facteur MAZARS, MAZARS_FO

Le modèle de comportement de Mazars est un modèle de comportement élastique endommageable permettant de décrire le comportement adoucissant du béton. Il distingue le comportement en traction et en compression, mais n'utilise qu'une seule variable d'endommagement scalaire (cf. [R7.01.08]). Les paramètres peuvent être fonction de la température, utiliser alors MAZARS_FO. Attention, en pratique, on considère que les paramètres dépendent de la température maximale vue par le matériau.

7.11.1 Syntaxe

```
| MAZARS
MAZARS_FO = _F(
    ♦ EPSD0 = epsd0,          [R] ou [fonction**]
    ♦ AC    = Ac,            [R] ou [fonction**]
    ♦ AT    = At,            [R] ou [fonction**]
    ♦ BC    = Bc,            [R] ou [fonction**]
    ♦ BT    = Bt,            [R] ou [fonction**]
    ♦ BETA   = beta,         [R]
    ♦ CHI    = chi           [R]
)
```

Les fonctions peuvent dépendre des variables de commandes suivantes :
'TEMP', 'HYDR', 'SECH'.

MAZARS (ou MAZARS_FO) permet de définir toutes les caractéristiques associées au modèle de comportement de Mazars. En plus de ces caractéristiques, les constantes élastiques doivent être définies sous le mot-clé ELAS pour les coefficients réels ou ELAS_FO pour les coefficients dépendant de la température.

7.11.2 Opérandes EPSD0

EPSD0 = epsd0

Seuil d'endommagement en déformation $(0.5 \cdot 10^{-4} < \varepsilon_{d0} < 1.5 \cdot 10^{-4})$.

7.11.3 Opérandes AC / AT / BC / BT

AC = Ac

Coefficient permettant de fixer l'allure de la courbe post-pic en compression. Introduit une asymptote horizontale qui est l'axe des ε pour $Ac=1$ et l'horizontale pour passant par le pic pour $Ac=0$ (généralement $1 < Ac < 1.5$).

AT = At

Coefficient permettant de fixer l'allure de la courbe post-pic en traction. Introduit une asymptote horizontale qui est l'axe des ε pour $Ac=1$ et l'horizontale passant par le pic pour $Ac=0$ (généralement $0.7 < At < 1$).

BC = Bc

Coefficient permettant de fixer l'allure de la courbe post-pic en compression. Selon sa valeur peut correspondre à une chute brutale de la contrainte ($BC < 10^4$) ou une phase préliminaire d'accroissement de contrainte suivie d'une décroissance plus ou moins rapide (généralement $10^3 < Bc < 2 \cdot 10^3$).

BT = Bt

Coefficient permettant de fixer l'allure de la courbe post-pic en traction. Selon sa valeur peut correspondre à une chute brutale de la contrainte ($BC < 10^4$) ou une phase préliminaire d'accroissement de contrainte suivie d'une décroissance plus ou moins rapide (généralement $10^4 < Bt < 10^5$).

7.11.4 Opérande BETA

BETA = beta

Paramètre de correction pour le cisaillement. Valeur conseillé 1.06.

7.11.5 Opérande CHI

CHI = chi

Dans le cadre du couplage BETON_UMLV_FP avec la loi de MAZARS. Le paramètre chi permet de définir l'importance du couplage :

$CHI=0$: pas de couplage,

$CHI=1$: couplage total.

Le couplage total engendre une apparition prématurée du béton, c'est pourquoi la valeur à utiliser se situe plutôt autour de 0.4/0.7.

7.12 Mot clé BETON_UMLV_FP

La loi de fluage UMLV suppose un découplage total entre les composantes sphériques et déviatoriques : les déformations induites par les contraintes sphériques sont purement sphériques et les déformations induites par les contraintes déviatoriques sont purement déviatoriques [R7.01.06].

Par ailleurs, la déformation de fluage propre est supposée proportionnelle à l'humidité relative interne :

Partie sphérique : $\varepsilon^s = h \cdot f(\sigma^s)$ et, partie déviatorique : $\underline{\underline{\varepsilon}}^d = h \cdot f(\underline{\underline{\sigma}})$

Où h désigne l'humidité relative interne.

Le modèle de comportement BETON_UMLV_FP est un modèle viscoélastique non vieillissant développé en partenariat avec l'Université de Marne-la-Vallée pour décrire le fluage propre des bétons. Il est particulièrement adapté aux configurations multiaxiales en ne présupposant pas la valeur du coefficient de Poisson de fluage.

Les contraintes sphériques sont à l'origine de la migration de l'eau absorbée aux interfaces entre les hydrates au niveau de la macro-porosité et absorbée au sein de la micro-porosité dans la porosité capillaire. La diffusion de l'eau inter-lamellaire des pores d'hydrates vers la porosité capillaire s'effectue de façon irréversible. La déformation sphérique totale de fluage s'écrit donc comme la somme d'une partie réversible et d'une partie irréversible :

$$\varepsilon^{fs} = \underbrace{\varepsilon_r^{fs}}_{\text{partie réversible}} + \underbrace{\varepsilon_i^{fs}}_{\text{partie irréversible}}$$

Le processus de déformation sphérique du fluage est gouverné par le système d'équations couplées suivant :

$$\begin{cases} \dot{\varepsilon}_r^{fs} = \frac{1}{\eta_r^s} \left[h \cdot \sigma^s - k_r^s \cdot \varepsilon_r^{fs} \right] - \dot{\varepsilon}_i^{fs} \\ \dot{\varepsilon}_i^{fs} = \frac{1}{\eta_i^s} \left\langle k_r^s \cdot \varepsilon_r^{fs} - (k_r^s + k_i^s) \cdot \varepsilon_i^{fs} \right\rangle - \left[h \sigma^s - k_r^s \cdot \varepsilon_r^{fs} \right]^+ \end{cases}$$

où k_r^s désigne la rigidité apparente associée au squelette formé par des blocs d'hydrates à l'échelle mésoscopique; η_r^s la viscosité apparente associée au mécanisme de diffusion au sein de la porosité capillaire; k_i^s désigne la rigidité apparente associée intrinsèquement aux hydrates à l'échelle microscopique et la η_i^s viscosité apparente associée au mécanisme de diffusion interfoliaire.

(Les crochets $\langle \cdot \rangle^+$ désignent l'opérateur de Mac Cauley: $\langle x \rangle^+ = \frac{1}{2}(x + |x|)$)

Les contraintes déviatoriques sont à l'origine d'un mécanisme de glissement (ou mécanisme de quasi dislocation) des feuillettes de CSH dans la nano-porosité. Sous contrainte déviatorique, le fluage s'effectue à volume constant. Par ailleurs, la loi de fluage UMLV suppose l'isotropie du fluage déviatorique. Phénoménologiquement, le mécanisme de glissement comporte une contribution réversible viscoélastique de l'eau fortement adsorbée aux feuillettes de CSH et une contribution irréversible visqueuse de l'eau libre :

$$\underline{\underline{\varepsilon}}^{fd} = \underbrace{\underline{\underline{\varepsilon}}_r^{fd}}_{\substack{\text{déformation} \\ \text{déviatorique} \\ \text{totale}}} + \underbrace{\underline{\underline{\varepsilon}}_e^{fd}}_{\substack{\text{contribution} \\ \text{eau} \\ \text{absorbée}}} + \underbrace{\underline{\underline{\varepsilon}}_l^{fd}}_{\substack{\text{contribution} \\ \text{eau} \\ \text{libre}}}$$

La $j^{ème}$ composante principale de la déformation déviatorique totale est régie par le système d'équations suivants :

$$\tilde{\sigma}^j \left(1 + \frac{\eta_r^d}{\eta_i^d} \right) + \frac{k_r^d}{\eta_i^d} \tilde{\sigma}^j = \eta_r^d \ddot{\varepsilon}^{d,j} + k_r^d \dot{\varepsilon}^{d,j}$$

où k_r^d désigne la rigidité associée à la capacité de l'eau absorbée à transmettre des charges (*load bearing water*); η_r^d la viscosité associée à l'eau adsorbée par les feuillettes d'hydrates et η_i^d désigne la viscosité associée à l'eau libre.

7.12.1 Syntaxe

| BETON_UMLV_FP : _F (

```

♦ K_RS      = K_RS,      [R]
♦ K_IS      = K_IS,      [R]
♦ K_RD      = K_RD,      [R]
♦ ETA_RS    = ETA_RS,    [R]
♦ ETA_IS    = ETA_IS,    [R]
♦ ETA_RD    = ETA_RD,    [R]
♦ ETA_ID    = ETA_ID,    [R]
◇ ETA_FD    = ETA_FD,    [R]
)

```

7.12.2 Opérande

K_RS = K_RS

k_r^s rigidité apparente associée au squelette formé par des blocs d'hydrates à l'échelle mésoscopique

K_IS = K_IS

k_i^s rigidité apparente associée intrinsèquement aux hydrates à l'échelle microscopique

K_RD = K_RD

k_r^d rigidité associée à la capacité de l'eau adsorbée à transmettre des charges (*load bearing water*)

ETA_RS = ETA_RS

η_r^s viscosité apparente associée au mécanisme de diffusion au sein de la porosité capillaire

ETA_IS = ETA_IS

η_i^s viscosité apparente associée au mécanisme de diffusion interlamellaire

ETA_RD = ETA_RD

η_r^d viscosité associée à l'eau absorbée par les feuillets d'hydrates

ETA_FD = ETA_FD

permet de prendre en compte le fluage de dessiccation selon la loi de Bazant.

Remarque :

La courbe de désorption donnant l'hygrométrie h en fonction de la concentration en eau C doit être renseignée sous le mot-clé `ELAS_FO`.

7.13 Mot clé facteur BETON_ECRO_LINE

Définition d'une courbe d'écrouissage linéaire avec prise en compte du confinement dans le cas spécifique au béton. Afin d'améliorer le comportement en compression on définit un seuil de réversibilité ([R7.01.04] modèle ENDO_ISOT_BETON).

7.13.1 Syntaxe

```

| BETON_ECRO_LINE = _F (
    ♦ D_SIGM_EPSI = dsde,      [R]
    ♦ SYT         = sigt,      [R]
    ◇ SYC         = sigc,      [R]
)

```

7.13.2 Opérandes

D_SIGM_EPSI = dsde (ET)

Pente de la courbe de traction.

SYT = sigt

Contrainte maximum en traction simple.

SYC = sigc

Contrainte maximum en compression simple (elle n'existe pas pour un coefficient de Poisson $\nu=0$, dans ce cas on ne spécifie pas *SYC*)

Le module d'Young E est à préciser par les mots-clés *ELAS* ou *ELAS_FO*.

7.14 Mot clé facteur ENDO_ORTH_BETON

Définition des paramètres de la loi de comportement *ENDO_ORTH_BETON*, permettant de décrire l'anisotropie induite par l'endommagement du béton, ainsi que les effets unilatéraux [R7.01.09]. On se reportera aux documents [R7.01.09] et [V6.04.176] pour la signification précise des paramètres et la procédure d'identification.

7.14.1 Syntaxe

```
| ENDO_ORTH_BETON = _F (
    ◇ ALPHA = / alpha, [R]
                  / 0.9, [DEFAULT]
    ◆ K0 = k0, [R]
    ◆ K1 = k1, [R]
    ◇ K2 = / k2, [R]
                  / 0.0007, [DEFAULT]
    ◆ ECROB = ecrob, [R]
    ◆ ECROD = ecrod [R]
)
```

7.14.2 Opérande ALPHA

Constante de couplage entre l'évolution de l'endommagement de traction et celle de l'endommagement de compression. Elle doit être prise entre 0 et 1, plutôt proche de 1. La valeur par défaut est 0.9.

7.14.3 Opérandes K0 / K1 / K2

$K0 = k0$

Partie constante de la fonction seuil. Permet de calibrer la hauteur du pic en traction.

$K1 = k1$

Paramètre de la fonction seuil permettant d'augmenter le seuil en compression.

$K2 = k2$

Paramètre de contrôle de la forme de l'enveloppe de rupture pour des essais biaxiaux. La valeur par défaut est 7.10^{-4} .

7.14.4 Opérandes ECROB / ECROD

$ECROB = ecrob$

Terme de l'énergie bloquée (équivalente à une énergie d'écrouissage) relatif à l'évolution de l'endommagement de traction. Permet de contrôler la forme du pic en traction.

$ECROD = ecrod$

Terme de l'énergie bloquée (équivalente à une énergie d'écrouissage) relatif à l'évolution de l'endommagement de compression. Permet de contrôler la forme du pic en compression.

Le module d'Young E et le coefficient de Poisson ν sont à préciser par les mots-clés *ELAS* ou *ELAS_FO*.

Dans le cas d'un calcul non local avec la formulation *GRAD_EPSI*, la longueur caractéristique est à préciser derrière le mot-clé *NON_LOCAL*.

7.15 Mot clé facteur ENDO_SCALAIRE

Définition des paramètres de la loi de comportement ENDO_SCALAIRE [R5.03.25], qui décrit la rupture élastique fragile d'un matériau isotrope homogène. Cette loi n'est disponible que pour la modélisation à gradient d'endommagement GRAD_VARI.

7.15.1 Syntaxe

```
| ENDO_SCALAIRE = _F (
    ♦ SY          = sigma_y,      [R]
    ♦ GAMMA       = gamma,       [R]
    ◇ COEF_RIGI_MINI = / A_min,   [R]
                                / 1E-5, [DEFAULT]
    ◇ DD_MAXI     = / dd,        [R]
                                / 1.,   [DEFAULT]
)
```

7.15.2 Opérande sy

Valeur de pic de contrainte

7.15.3 Opérandes GAMMA

Paramètre de la loi qui est recalé à partir d'un modèle 1D, il est lié aux paramètres macroscopique par :

$$\gamma = \frac{3 E G_f}{4 \sigma_y^2 D} - 1$$

Où σ_y est la valeur de pic de contrainte définie précédemment, E module de Young, G_f énergie de rupture de Griffith et D la taille de la zone endommagée à la rupture.

7.15.4 Opérandes COEF_RIGI_MINI/DD_MAXI

COEF_RIGI_MINI

Paramètre de régularisation de la matrice tangente à la rupture

DDMAXI

Terme limitant l'incrément d'endommagement à chaque pas de temps.

Le module d'Young E et le coefficient de Poisson ν sont à préciser par les mots-clés ELAS ou ELAS_FO.

Le paramètre de non localité est renseigné sous le mot-clé C_GRAD_VARI derrière le mot-clé facteur NON_LOCAL. Il est lié aux paramètres macroscopiques par :

$$c = \frac{3}{8} D G_f$$

7.16 Mots clés facteur GLRC_DM

Ce mot-clé facteur permet de définir les paramètres de la loi de comportement GLRC_DM. Il s'agit d'un modèle d'endommagement global formulé en terme de relations déformation/contrainte généralisées (extension membranaire, flexion et effort membranaire, moment fléchissant).

7.16.1 Syntaxe

```
| GLRC_DM = _F (
    ♦ SYT          = Nf,          [R]
    ◇ SYC          = Nc,          [R]
```

♦ SYF	=	Mf,	[R]
♦ GAMMA_T	=	Gmt,	[R]
◇ GAMMA_C	=	Gmc,	[R]
♦ GAMMA_F	=	Gmf,	[R]
◇ EF	=	Ef,	[R]
◇ NUF	=	Nuf,	[R]

)

7.16.2 Opérandes

 $SYT = Nf$

Contrainte correspondant à l'effort membranaire du seuil d'endommagement en traction simple.

 $SYC = Nc$

Contrainte correspondant à l'effort membranaire du seuil d'endommagement en compression simple.

 $SYF = Mf$

Moment fléchissant du seuil d'endommagement en flexion simple.

 $GAMMA_T = Gmt$ Pente endommageante relative par rapport à la pente élastique en traction simple ($0 < \gamma_{MT} < 1$). $GAMMA_C = Gmc$ Pente endommageante relative par rapport à la pente élastique en compression simple ($0 < \gamma_{MC} < 1$). $GAMMA_F = Gmf$ Pente endommageante relative par rapport à la pente élastique en flexion simple ($0 < \gamma_F < 1$). $EF = Ef$

Module d'Young effectif en flexion.

 $NUF = Nuf$

Coefficient de Poisson effectif en flexion.

7.17 Mot clé BETON_REGLE_PR

Ce mot-clé sert à définir les paramètres matériau utilisés par le comportement `BETON_REGLE_PR` (règle «Parabole-Rectangle»). Ce comportement est utilisable uniquement en 2D (contraintes planes ou déformations planes) ou en coques (modélisations `DKT`, `COQUE_3D`) (voir par exemple le test `ssnp129a`). Il se réduit à un comportement unidimensionnel, qui s'écrit, dans chacune des directions principales du tenseur 2D des déformations :

$$\begin{aligned} \bullet \text{En traction :} \quad & \begin{cases} \sigma = E \varepsilon & \text{si } 0 < \varepsilon < \frac{\sigma_y^t}{E} \\ \sigma = \sigma_y^t + E_T \left(\varepsilon - \frac{\sigma_y^t}{E} \right) & \text{si } \frac{\sigma_y^t}{E} < \varepsilon < \frac{\sigma_y^t}{E} \left(1 - \frac{E}{E_T} \right) \\ \sigma = 0 & \text{sinon} \end{cases} \\ \bullet \text{En compression :} \quad & \begin{cases} \sigma = \sigma_y^c \left[1 - \left(1 - \frac{\varepsilon}{\varepsilon_c} \right)^n \right] & \text{si } \varepsilon > \varepsilon_c \\ \sigma = \sigma_y^c & \text{sinon} \end{cases} \end{aligned}$$

7.17.1 Syntaxe

```
| BETON_REGLE_PR =_F (
|     ♦ DSIGM_EPSI      =  Et           [R]
|     ♦ SYT             =  Syt          [R]
|     ♦ SYC             =  Syc          [R]
|     ♦ EPSC            =  EpSC         [R]
|     ♦ N               =  N            [ R]
| )
```

7.17.2 Opérandes

`DSIGM_EPSI` = `Et`

Module tangent post-pic en traction E_t (négatif).

`SYT` = `Syt`

Contrainte ultime en traction σ_y^t .

`SYC` = `Syc`

Contrainte ultime en compression σ_y^c . Elle doit être donnée positive.

`EPSC` = `EpSC`

Déformation ultime en compression ε_c . Elle doit être donnée positive.

`N` = `n`

Exposant de la loi d'écrouissage en compression.

7.18 Mot clé JOINT_BA

Ce modèle de comportement non linéaire de la liaison acier - béton est employé pour le calcul fin des structures en béton armé où la prédiction des fissures et la redistribution des contraintes dans le béton sont très importantes. Disponible pour des analyses sous l'effet de chargements monotones et cycliques, le modèle est écrit dans le cadre de formulation thermodynamique des processus irréversibles. Il permet de tenir compte de l'endommagement de l'interface en cisaillement, en combinaison avec les effets du frottement des fissures, ainsi que des déformations irréversibles. Le document [R7.01.21] décrit les détails correspondants.

Ce modèle doit être employé avec les éléments «joint» en 2D [R3.06.09]. Les armatures d'acier pourront être modélisées avec des éléments plans (QUAD4) ou unidimensionnels (BARRE).

Remarque :

| La prise en compte de l'effet d'un chargement thermique n'est pas possible pour le moment.

7.18.1 Syntaxe

```
◇ | JOINT_BA = _F(  
    ♦ HPEN = / HPEN, [R]  
              / 1.0, [DEFAULT]  
    ♦ GTT = GTT, [R]  
    ♦ GAMD0 = Gam0, [R]  
    ♦ AD1 = ad1, [R]  
    ♦ BD1 = / bd1, [R]  
              / 0.5, [DEFAULT]  
  
    ♦ GAMD2 = Gam2, [R]  
    ♦ AD2 = ad2, [R]  
    ♦ BD2 = / bd2, [R]  
              / 1.0 [DEFAULT]  
  
    ♦ VIFROT = vifrot, [R]  
    ♦ FA = alpha, [R]  
    ♦ FC = c, [R]  
    ♦ EPSTR0 = EPSN, [R]  
    ♦ ADN = adn, [R]  
    ♦ BDN = / bdn, [R]  
              / 1.0 [DEFAULT]  
)
```

7.18.2 Opérandes

HPEN = HPEN

Paramètre de pénétration entre surfaces par écrasement du béton.

On vérifie que $HPEN > 0$.

GTT = GTT

Module de rigidité de la liaison.

On vérifie que $G_{\text{beton}} \leq GTT \leq G_{\text{acier}}$.

GAMD0 = Gam0

Seuil d'adhérence parfaite ou limite de déformation élastique.

On vérifie que $1.E-4 < Gam0 < 1.E-2$.

AD1 = ad1

Paramètre d'évolution de l'endommagement en région 1 (passage des petites déformations aux grands glissements).

On vérifie que $1.E-1 < AD1 < 1.E+1$.

BD1 = bd1

Paramètre de puissance décrivant l'évolution de la variable d'endommagement en région 1 (passage des petites déformations aux grands glissements).

On vérifie que $BD1 < 1.E-1$.

GAMD2 = Gam2

Seuil des grands glissements.

On vérifie que $1.E-4 < Gam2 < 1.E+0$.

AD2 = ad2

Paramètre d'évolution de l'endommagement en région 2 (résistance maximale de la liaison et dégradation en frottement).

On vérifie que $AD2 < 1.E-6$.

BD2 = bd2

Paramètre de puissance décrivant l'évolution de la variable d'endommagement en région 2 (résistance maximale de la liaison et dégradation en frottement).

On vérifie que $BD2 < 1.E-1$.

VIFROT = vifrot

Paramètre matériau décrivant l'influence du frottement des fissures.

On vérifie que $VIFROT < 0.0E+0$.

FA = alpha

Paramètre matériau lié à l'écrouissage cinématique par frottement des fissures.

On vérifie que $FA < 0.0E+0$.

FC = c

Paramètre décrivant l'influence du confinement sur la résistance de la liaison.

On vérifie que $FC < 0.0E+0$.

EPSTR0 = EPSN

Seuil de déformation élastique sur la direction normale avant la rupture. On vérifie que $1.E-4 < EPSN < 1.E+0$.

ADN = adn

Paramètre de l'endommagement dans la direction normale par ouverture de la fissure.

On vérifie que $ADN < 1.E-10$.

BDN = bdn

Paramètre de puissance décrivant l'évolution de la variable d'endommagement dans la direction normale.

On vérifie que $BDN < 1.E-1$.

7.19 Mot clé BETON_RAG

Ce modèle est utilisé pour estimer le comportement à long terme des structures affectées par la réaction alcali-granat. Il permet d'évaluer les déformations et l'endommagement anisotrope (fissuration) des ouvrages atteints. Il comporte un critère de Rankine en traction et un critère de Drücker-Prager en compression. Les deux critères sont associés à une loi d'évolution conduisant à un comportement adoucissant. Ce modèle ne fonctionne qu'avec des températures en Celsius, il est donc nécessaire de fournir ou de calculer des champs de température en Celsius.

7.19.1 Syntaxe

/BETON_RAG = F(

Caractéristiques de fluage

◇ ACTIV_FL	= / fluage,	[R]
	/ 1.0,	[DEFAULT]
◆ K_RS	= k1,	[R]
◆ K_IS	= k2,	[R]
◆ ETA_RS	= eta1s,	[R]
◆ ETA_IS	= eta2s,	[R]
◆ K_RD	= mu1,	[R]
◆ K_ID	= mu2,	[R]
◆ ETA_RD	= eta1d,	[R]
◆ ETA_ID	= eta2d,	[R]
◇ EPS_0	= / eps0,	[R]
	/ 0.0035,	[DEFAULT]
◆ TAU_0	= tau0,	[R]

```

◇ EPS_FL_L      = / evpmax,                [R]
                  / 0.03,                  [DEFAULT]

Caractéristiques de l'endommagement
◇ ACTIV_LO      = / local,                [R]
                  / 1.0,                  [DEFAULT]

◆ F_C           = rc,                    [R]
◆ F_T           = rt,                    [R]
◇ ANG_CRIT      = / delta,                [R]
                  / 8.594367,            [DEFAULT]
◆ EPS_COMP      = edpicc,                [R]
◆ EPS_TRAC      = edpict,                [R]
◇ LC_COMP       = / lcc,                  [R]
                  / 1.0,                  [DEFAULT]
◇ LC_TRAC       = / lct,                  [R]
                  / 1.0,                  [DEFAULT]

Caractéristiques du couplage fluage/squelette et gel/squelette
◇ A_VAN_GE      = / avg,                  [R]
                  / 0.0,                  [DEFAULT]
◇ B_VAN_GE      = / bvg,                  [R]
                  / 1.9,                  [DEFAULT]
◇ BIOT_EAU      = / bwmax,                [R]
                  / 0.3,                  [DEFAULT]
◇ MODU_EAU      = / mw,                   [R]
                  / 0.0,                  [DEFAULT]
◇ W_EAU_0       = / w0,                   [R]
                  / 1.0,                  [DEFAULT]
◇ HYD_PRES      = / pression,             [R]
                  / 0.0,                  [DEFAULT]

Caractéristiques de la formation des gels
◆ BIOT_GEL      = bchmax,                [R]
◆ MODU_GEL      = mch,                   [R]
◆ VOL_GEL       = vg,                    [R]
◆ AVANC_LI      = a0,                    [R]
◆ PARA_CIN      = alp0,                  [R]
◆ ENR_AC_G      = Ea,                    [R]
◆ SEUIL_SR      = sr0,                   [R]

```

7.19.2 Opérandes

7.19.2.1 Opérandes liées au modèle de fluage

ACTIV_FL = fluage

Variable d'activation du fluage (nécessaire dans un calcul RAG). Prend la valeur 1.0 si la prise en compte du fluage est activée.

K_RS = k1 / K_IS = k2

Modules de compressibilité diffères (*k1* pour la partie réversible et *k2* irréversible)

ETA_RS = etals / ETA_IS = eta2s

Viscosités sphériques (*etals* pour la partie réversible et *eta2s* irréversible)

K_RD = mu1 / K_ID = mu2

Modules de cisaillement différés

ETA_RD = etald / ETA_ID = eta2d

Viscosités deviatoriques (*etald* pour la partie réversible et *eta2d* irréversible)

EPS_0 = eps0

Déformation caractéristique de viscoplasticité couple endommagement de traction. Elle prend la valeur 0.0035 par défaut.

TAU_0 = tau0

Temps caractéristique du fluage orthotrope de traction

EPS_FL_L = evpmax

Déformation limite de fluage orthotrope de traction. Cette déformation est limitée à 3 % par défaut.

7.19.2.2 Opérandes liées au modèle d'endommagement

ACTIV_LO = local

Variable d'activation de la localisation. Prend la valeur 1.0 si la prise en compte de la localisation est activée.

F_C = rc

Résistance en compression du béton.

F_T = rt

Résistance à la traction du béton.

ANG_CRIT = delta

Ce terme est une caractéristique du critère de compression, il désigne l'angle en degrés du critère de Drucker Prager. Par défaut il est admis qu'il prend la valeur 8.594367 degrés (ce qui est équivalent à 0.15 radians).

EPS_COMP = edpicc

Déformation au pic de compression.

EPS_TRAC = edpict

Déformation au pic de traction.

LC_COMP = lcc / LC_TRAC = lct

Ces termes correspondent aux longueurs internes de traction et de compression, ce sont des paramètres matériaux. Ils permettent une gestion de la partie adoucissante de la courbe contrainte-déformation. Ils sont dépendant du maillage. Par défaut, il ne sont pas pris en compte dans le modèle (valeur 1.0).

7.19.2.3 Opérandes liées au modèle de calcul du retrait endogène

A_VAN_GE = avg / B_VAN_GE = bvg

Milieu non saturé paramètres de Van Genuchten.

BIOT_EAU = bwmax / MODU_EAU = mw

Milieu saturé, nombre de bio et module de bio de l'eau.

W_EAU_0 = w0

Si calcul hydrique en concentration en eau, ce terme désigne la concentration maximale.

HYD_PRES = pression

Indicateur de calcul hydrique par pression imposée. Prend la valeur 1.0 si calcul en pression (permet de prendre en compte les sur-pression), prend la valeur 0.0 si calcul en concentration en eau. Attention dans le cas d'un calcul par pression imposée, s'assurer de la concordance degré de saturation-pression (via paramètre de la loi de Van Genuchten).

7.19.2.4 Opérandes liées à la formation du gel

BIOT_GEL = bchmax / MODU_GEL = mch

Assimilable à un module d'élasticité du gel et b^g peut être assimilable à un coefficient de Biot pour le gel.

VOL_GEL = vg

Volume maximum de gel qui peut être créé par la réaction chimique ; il correspond au volume théorique de gel créé par volume unitaire de béton maintenu dans des conditions saturées pendant un temps infini.

AVANC_LI = a0

Avancement à partir duquel la porosité connectée initiale est comblée.

PARA_CIN = alp0

Paramètre de cinétique de réaction.

ENR_AC_G = Ea

Energie d'activation de la réaction. Cette valeur est proche de $45000 \text{ J/mol/}^\circ\text{K}$

SEUIL_SR = sr0

Seuil de saturation à partir duquel l'évolution de la réaction chimique devient possible.

8 Comportements Métallo-Mécaniques

Pour le comportement métallurgique (cf. [R4.04.01]), deux lois de comportement sont disponibles : une loi caractéristique des transformations métallurgiques de l'acier et une loi caractéristique des alliages de zirconium.

Remarque :

l'acier peut comporter (au plus) cinq phases métallurgiques différentes (phase froide 1 = ferrite, phase froide 2 = perlite, phase froide 3 = bainite, phase froide 4 = martensite et une phase chaude = l'austénite), α
le zircaloy peut comporter (au plus) trois phases métallurgiques différentes (phase froide 1 = phase α pure, phase froide 2 = phase α mélange et une phase chaude = phase β).

Pour le comportement mécanique avec la prise en compte des transformations métallurgiques, il existe deux modèles.

Le premier modèle (cf. [R4.04.02]) est utilisable pour l'acier et pour le Zircaloy. On choisit le matériau souhaité en activant, dans l'opérateur STAT_NON_LINE, le mot clé RELATION_KIT qui vaut 'ACIER' ou 'ZIRC'. Les différentes relations relatives à ce modèle sont identiques pour ces deux matériaux (on traite les mêmes phénomènes) mais le nombre de phases en présence est différent.

Le second modèle (cf. [R4.04.05]) est uniquement disponible pour le Zircaloy (RELATION_KIT='ZIRC') et correspond au mot clé META_LEMA_ANI sous COMP_INCR.

8.1 Mot clé facteur META_ACIER

Paramètres à renseigner pour la métallurgie de l'acier.

8.1.1 Syntaxe

```
| META_ACIER = _F (
|   ♦ TRC      = nomtrc ,           [table_sdaster]
|   ♦ AR3      = ar3,               [R]
|   ♦ ALPHA    = alpha,             [R]
|   ♦ MS0      = mso,               [R]
|   ♦ AC1      = ac1,               [R]
|   ♦ AC3      = ac3,               [R]
|   ♦ TAUX_1   = t1,                [R]
|   ♦ TAUX_3   = t3,                [R]
|   ♦ LAMBDA0  = l0,                [R]
|   ♦ QSR_K    = Qapp,              [R]
|   ♦ D10      = d10,               [R]
|   ♦ WSR_K    = Wapp,              [R]
| )
```

8.1.2 Opérandes pour les changements de phases

TRC = nomtrc

Concept de type trc produit par l'opérateur DEFI_TRC [U4.43.04] et contenant l'ensemble des informations fournies par les diagrammes TRC (Transformation en Refroidissement Continu) de l'acier considéré.

AR3 = ar3

Température quasi-statique de début de décomposition de l'austénite au refroidissement.

ALPHA = alpha

Coefficient α de la loi de Koistinen-Marburger exprimant la quantité de martensite formée en fonction de la température :

$$Z_m = 1 - \exp(\alpha(M_s - T))$$

MSO = mso

Température de début de transformation martensitique lorsque celle-ci est totale. Dans ce cas $M_s = M_{s0}$.

AC1 = ac1

Température quasi-statique de début de transformation en austénite au chauffage.

AC3 = ac3

Température quasi-statique de fin de transformation en austénite.

TAUX_1 = t1

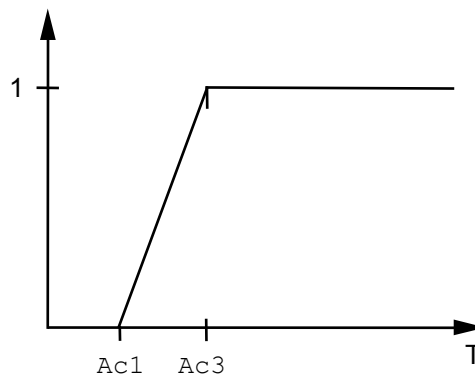
Valeur de la fonction "retard" (cf. [R4.04.01]) $\tau(T)$ intervenant dans le modèle de transformation austénitique à la température AC1.

TAUX_3 = t3

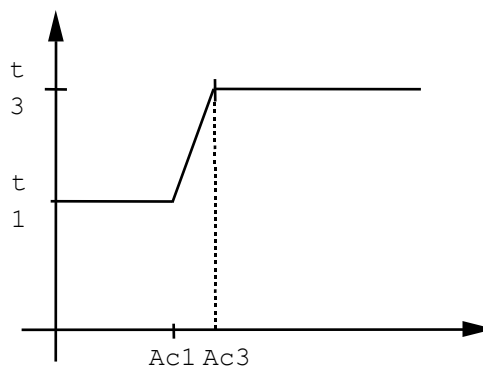
Valeur de la fonction "retard" (cf. [R4.04.01]) $\tau(T)$ intervenant dans le modèle de transformation austénitique à la température AC3.

L'évolution de la proportion d'austénite est alors définie par : $\dot{Z} = \frac{Z - Z_{eq}(T)}{\tau(T)}$

avec: $Z_{eq}(T)$



et $\tau(T)$



8.1.3 Opérands pour la taille de grains

Les quatre opérands suivants entraînent le calcul de taille de grains s'ils sont renseignés.

LAMBDA0 = 10

Paramètre matériau intervenant dans le modèle d'évolution de taille de grain ci-dessous.

$$\frac{dD}{dt} = \frac{1}{\lambda} \left(\frac{1}{D} - \frac{1}{D_{\text{lim}}} \right) \text{ avec } \begin{cases} \lambda = \lambda_0 \exp\left(\frac{Q_{\text{app}}}{RT}\right) \\ D_{\text{lim}} = D_{10} \exp\left(-\frac{W_{\text{app}}}{RT}\right) \end{cases}$$

QSR_K = Qapp/R

Paramètre énergie d'activation intervenant dans le modèle d'évolution de taille de grain.

D10 = D10

Paramètre matériau intervenant dans le modèle d'évolution de taille de grain.

WSR_K = Wapp/R

Paramètre énergie d'activation intervenant dans le modèle d'évolution de taille de grain.

8.2 Mot clé facteur META_ZIRC

Paramètres à renseigner pour la métallurgie du zircaloy (cf. [R4.04.04]).

8.2.1 Syntaxe

```
| META_ZIRC = _F (
    ♦ TDEQ = teqd, [R]
    ♦ N = n, [R]
    ♦ K = K, [R]
    ♦ T1C = t1c, [R]
    ♦ T2C = t2c, [R]
    ♦ QSR_K = qsr, [R]
    ♦ AC = Ac, [R]
    ♦ M = m, [R]
    ♦ T1R = t1r, [R]
    ♦ T2R = t2r, [R]
    ♦ AR = Ar, [R]
    ♦ BR = Br [R]
)
```

8.2.2 Opérands

TDEQ = teqd

Température de début de transformation $\alpha \Leftrightarrow \beta$ à l'équilibre

α : phase à froid hexagonale compacte

β : phase à chaud cubique centrée

N = n

Paramètre matériau relatif au modèle donnant la proportion de β en fonction de la température, à l'équilibre.

K = K

Paramètre matériau relatif au modèle donnant la proportion de β en fonction de la température, à l'équilibre.

T1C = t1c

Température de début de transformation α en β au chauffage.

T1C = t1c

Paramètre matériau intervenant dans le calcul de la température de début de transformation α en β au chauffage.

T2C = t2c

Paramètre matériau intervenant dans le calcul de la température de début de transformation α en β au chauffage.

AC = Ac

Paramètre matériau intervenant dans le modèle d'évolution de β au chauffage.

M = m

Paramètre matériau intervenant dans le modèle d'évolution de β au chauffage.

T2R = t2r

Paramètre matériau intervenant dans le calcul de la température de début de transformation β en α au refroidissement.

T2R = t2r

Paramètre matériau intervenant dans le calcul de la température de début de transformation β en α au refroidissement.

AR = Ar

Paramètre matériau intervenant dans le modèle d'évolution de β au refroidissement.

BR = Br

Paramètre matériau intervenant dans le modèle d'évolution de β au refroidissement.

QSR_K = qsr

Constante d'Arrhénus exprimé en degré Kelvin.

8.3 Mot clé facteur DURT_META

Définition des caractéristiques relatives au calcul de dureté associée à la métallurgie des aciers.
La dureté est calculée en utilisant une loi de mélange linéaire sur la micro-dureté des constituants :

$$HV = \sum_i z_i HV_i$$

HV_i : micro-dureté du constituant i

z_i : proportion du constituant i

8.3.1 Syntaxe

```
| DURT_META = _F (
|   ♦ F1_DURT = HVf1, [R]
|   ♦ F2_DURT = HVf2, [R]
|   ♦ F3_DURT = HVf3, [R]
|   ♦ F4_DURT = HVf4, [R]
|   ♦ C_DURT  = HVa   [R]
| )
```

8.3.2 Opérandes

F1_DURT = HVf1

Micro-dureté de la phase à froid *F1* (ferrite pour l'acier).

F2_DURT = HVf2

Micro-dureté de la phase à froid *F2* (perlite pour l'acier).

F3_DURT = HVf3

Micro-dureté de la phase à froid *F3* (bainite pour l'acier).

F4_DURT = HVf4

Micro-dureté de la phase à froid *F4* (martensite pour l'acier).

C_DURT = HVf1

microdureté pour la phase à chaud (austénite pour l'acier).

8.4 Mots clés facteur ELAS_META, ELAS_META_FO

Définition des caractéristiques élastiques, de dilatation et de limites d'élasticité pour la modélisation d'un matériau subissant des transformations métallurgiques (voir [R4.04.02] ou [R4.04.05]). Ces coefficients peuvent être soit constants par rapport à la température *ELAS_META*, soit dépendre de la température *ELAS_META_FO* (paramètre 'TEMP').

Certains coefficients dépendent de la structure métallurgique (paramètre 'META').

Remarque :

Concernant le modèle *META_LEMA_ANI*, la dilatation thermique s'écrit classiquement sans distinction des phases. Par conséquent, les mots clés 'C_ALPHA', 'PHASE_REFE' et 'EPSF_EPSC_TREF' sont obligatoires mais non pris en compte dans les équations. Seul le coefficient de dilatation 'F_ALPHA' est considéré.

Ce modèle est une loi sans seuil donc les limites d'élasticité et la loi des mélanges ne sont pas utiles.

Remarque :

Concernant les autres modèles, pour un acier on renseigne au maximum 5 limites d'élasticité, pour le Zircaloy on en renseigne au maximum trois.

8.4.1 Syntaxe

```
| / ELAS_META
/ ELAS_META_FO = _F (
    ♦ E = young, [R] ou [fonction]
    ♦ NU = nu, [R] ou [fonction]
    ♦ F_ALPHA = fal, [R] ou [fonction]
    ♦ C_ALPHA = cal, [R] ou [fonction]
    ♦ PHASE_REFE = / 'CHAUD', [TXM]
                  / 'FROID',
    ♦ EPSF_EPSC_TREF=deltae, [R]
    ♦ TEMP_DEF_ALPHA=Tda, [R] (_FO)
    ♦ PRECISION = / eps, [R]
                  / 1., [DEFAULT]
    ♦ F1_SY = F1sy, [R] ou [fonction]
    ♦ F2_SY = F2sy, [R] ou [fonction]
    ♦ F3_SY = F3sy, [R] ou [fonction]
    ♦ F4_SY = F4sy, [R] ou [fonction]
    ♦ C_SY = Fsy, [R] ou [fonction]
    ♦ SY_MELANGE = f, [fonction]
    ♦ F1_S_VP = F1svp, [R] ou [fonction]
    ♦ F2_S_VP = F2svp, [R] ou [fonction]
    ♦ F3_S_VP = F3svp, [R] ou [fonction]
    ♦ F4_S_VP = F4svp, [R] ou [fonction]
    ♦ C_S_VP = Csvp, [R] ou [fonction]
    ♦ S_VP_MELANGE = Svp [fonction]
)
```

8.4.2 Opérandes

E = young

Module d'Young, identique pour toutes les phases métallurgiques.

NU = nu

Coefficient de Poisson, identique pour toutes les phases métallurgiques.

F_ALPHA = fal

Coefficient de dilatation thermique moyen des phases froides.

C_ALPHA = cal

Coefficient de dilatation thermique moyen de la phase chaude.

PHASE_REFE = / 'CHAUD'
/ 'FROID'

Choix de la phase métallurgique de référence (phase chaude ou phase froide).

En effet, pour définir la déformation thermique nulle, il faut définir la température de référence T_{ref} (définie dans AFFE_MATERIAU) et la phase métallurgique de référence, de sorte que la déformation thermique soit considérée nulle à T_{ref} et dans l'état métallurgique de référence.

EPSF_EPSC_TREF = deltae

Déformation de la phase non de référence par rapport à la phase de référence à la température T_{ref} : traduit la différence de compacité entre les structures cristallographiques cubiques à faces centrées (type austénitique) et cubiques centrées (type ferritique).

TEMP_DEF_ALPHA = Tda

Température par rapport à laquelle on définit le coefficient de dilatation. Dans le cas où C_ALPHA est une fonction, cet opérande est obligatoire.

PRECISION = eps

Ce réel indique avec quelle précision une température T est proche de la température de référence (cf. [§3.1.4]).

F1_SY = F1sy

Limite d'élasticité de la phase froide 1 pour un comportement plastique.

F2_SY = F2sy

Limite d'élasticité de la phase froide 2 pour un comportement plastique.

F3_SY = F3sy

Limite d'élasticité de la phase froide 3 pour un comportement plastique.

F4_SY = F4sy

Limite d'élasticité de la phase froide 4 pour un comportement plastique.

C_SY = Fsy

Limite d'élasticité de la phase chaude pour un comportement plastique.

SY_MELANGE = f

Fonction utilisée pour la loi de mélange sur la limite d'élasticité du matériau multiphasé pour un comportement plastique.

$$\sigma_y = (1 - f(z)) \sigma_y^\gamma + f(z) \sigma_y^\alpha$$

F1_S_VP = F1svp

Limite d'élasticité de la phase froide 1 pour un comportement visqueux.

F2_S_VP = F2svp

Limite d'élasticité de la phase froide 2 pour un comportement visqueux.

F3_S_VP = F3svp

Limite d'élasticité de la phase froide 3 pour un comportement visqueux.

F4_S_VP = F4svp

Limite d'élasticité de la phase froide 4 pour un comportement visqueux.

C_S_VP = Csvp

Limite d'élasticité de la phase chaude pour un comportement visqueux.

S_VP_MELANGE = Svp

Fonction utilisée pour la loi de mélange sur la limite d'élasticité du matériau multiphasé pour un comportement visqueux.

$$\sigma_c = (1 - f(z)) \sigma_c^\gamma + f(z) \sigma_c^\alpha$$

8.5 Mot clé facteur META_ECRO_LINE

Définition de cinq modules d'écrouissage utilisés dans la modélisation du phénomène d'écrouissage isotrope linéaire d'un matériau subissant des changements de phases métallurgiques (voir [R4.04.02]). Ces modules dépendent de la température.

8.5.1 Syntaxe

```
| META_ECRO_LINE = _F (
|
|     ◇ F1_D_SIGM_EPSI= dsde1,      [fonction**]
|     ◇ F2_D_SIGM_EPSI= dsde2,      [fonction**]
|     ◇ F3_D_SIGM_EPSI= dsde3,      [fonction**]
|     ◇ F4_D_SIGM_EPSI= dsde4,      [fonction**]
|     ◇ C_D_SIGM_EPSI= dsdec,       [fonction**]
| )
```

8.5.2 Opérandes

F1_D_SIGM_EPSI = dsde1

Pente de la courbe de traction pour la phase froide 1.

F2_D_SIGM_EPSI = dsde2

Pente de la courbe de traction pour la phase froide 2.

F3_D_SIGM_EPSI = dsde3

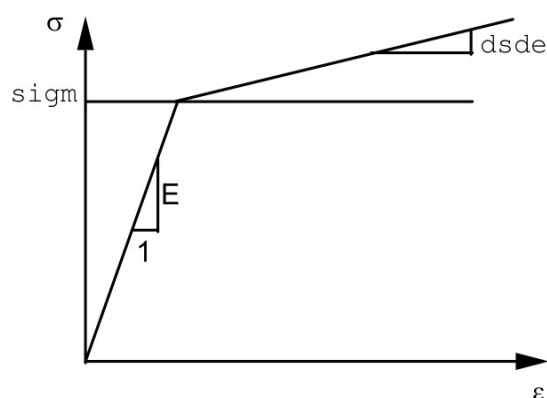
Pente de la courbe de traction pour la phase froide 3.

F4_D_SIGM_EPSI = dsde4

Pente de la courbe de traction pour la phase froide 4.

C_D_SIGM_EPSI = dsdec

Pente de la courbe de traction pour la phase chaude.



Le module d'Young E est à préciser par les mots-clés `META_ELAS` ou `META_ELAS_FO`.

8.6 Mot clé facteur `META_TRACTION`

Définition de cinq courbes de traction utilisées dans la modélisation du phénomène d'écrouissage isotrope non linéaire d'un matériau subissant des changements de phases métallurgiques (voir [R4.04.02]). Les courbes de traction peuvent éventuellement dépendre de la température.

8.6.1 Syntaxe

```
|  META_TRACTION = _F (
|
|      ◇ SIGM_F1      = r_p1,      [fonction**]
|      ◇ SIGM_F2      = r_p2,      [fonction**]
|      ◇ SIGM_F3      = r_p3,      [fonction**]
|      ◇ SIGM_F4      = r_p4,      [fonction**]
|      ◇ SIGM_C        = r_pc       [fonction**]
|  )
```

8.6.1.1 Opérandes

`SIGM_F1` = `r_p1`

Courbe écrouissage isotrope R en fonction de la déformation plastique cumulée p pour la phase froide 1.

`SIGM_F2` = `r_p2`

Courbe écrouissage isotrope R en fonction de la déformation plastique cumulée p pour la phase froide 2.

`SIGM_F3` = `r_p3`

Courbe écrouissage isotrope R en fonction de la déformation plastique cumulée p pour la phase froide 3.

`SIGM_F4` = `r_p4`

Courbe écrouissage isotrope R en fonction de la déformation plastique cumulée p pour la phase froide 4.

`SIGM_C` = `r_p c`

Courbe écrouissage isotrope R en fonction de la déformation plastique cumulée p pour la phase chaude.

Remarque :

Attention il ne s'agit pas de la courbe σ fonction de ε mais de la courbe R fonction de p . On passe de l'une à l'autre en effectuant les calculs suivants:
 $R = \sigma - \text{limite d'élasticité}$, $p = \varepsilon - (\sigma / E)$.

8.7 Mot clé facteur `META_VISC_FO`

Définition des paramètres visqueux de la loi de comportement viscoplastique avec prise en compte de la métallurgie (voir [R4.04.02]). Le modèle viscoplastique de type Norton-Hoff comporte 5 paramètres ; les paramètres classique η , n de la loi d'écoulement en puissance, la limite élastique d'écoulement visqueuse, les paramètres C et m relatifs à la restauration d'écrouissage d'origine visqueuse. Ces paramètres dépendent de la température et de la structure métallurgique.

Les paramètres limites d'élasticité sont définis dans `ELAS_META`.

8.7.1 Syntaxe

```
| META_VISC_FO = _F (
|     ◇ F1_ETA = eta1, [fonction**]
|     ◇ F2_ETA = eta2, [fonction**]
|     ◇ F3_ETA = eta3, [fonction**]
|     ◇ F4_ETA = eta4, [fonction**]
|     ◇ C_ETA = etac, [fonction**]
|
|     ◇ F1_N = n1, [fonction**]
|     ◇ F2_N = n2, [fonction**]
|     ◇ F3_C = C1, [fonction**]
|     ◇ F2_C = C2, [fonction**]
|     ◇ F3_C = C3, [fonction**]
|     ◇ F4_C = C4, [fonction**]
|     ◇ C_C = C5, [fonction**]
|
|     ◇ F1_M = m1, [fonction**]
|     ◇ F2_M = m2, [fonction**]
|     ◇ F3_M = m3, [fonction**]
|     ◇ F4_M = m4, [fonction**]
|     ◇ C_M = m5 [fonction**]
| )
```

8.7.2 Opérandes F1_ETA/F2_ETA/F3_ETA/F4_ETA/C_ETA

F1_ETA = eta1

Paramètre η de la loi d'écoulement visco-plastique, pour la phase froide 1.

F2_ETA = eta2

Paramètre η de la loi d'écoulement visco-plastique, pour la phase froide 2.

F3_ETA = eta3

Paramètre η de la loi d'écoulement visco-plastique, pour la phase froide 3.

F4_ETA = eta4

Paramètre η de la loi d'écoulement visco-plastique, pour la phase froide 4.

C_ETA = etac

Paramètre η de la loi d'écoulement visco-plastique, pour la phase à chaud.

8.7.3 Opérandes F1_N/F2_N/F3_N/F4_N/C_N

F1_N = n1

Paramètre n de la loi d'écoulement visco-plastique, pour la phase froide 1.

F2_N = n2

Paramètre n de la loi d'écoulement visco-plastique, pour la phase froide 2.

F3_N = n3

Paramètre n de la loi d'écoulement visco-plastique, pour la phase froide 3.

F4_N = n4

Paramètre n de la loi d'écoulement visco-plastique, pour la phase froide 4.

C_N = n5

Paramètre n de la loi d'écoulement visco-plastique, pour la phase à chaud.

8.7.4 Opérandes F1_C/F2_C/F3_C/F4_C/C_C

F1_C = C1

Paramètre C relatif à la restauration d'écrouissage d'origine visqueuse, pour la phase froide 1.

F2_C = C2

Paramètre C relatif à la restauration d'écrouissage d'origine visqueuse, pour la phase froide 2.

F3_C = C3

Paramètre C relatif à la restauration d'écrouissage d'origine visqueuse, pour la phase froide 3.

$F4_C = C4$

Paramètre C relatif à la restauration d'écrouissage d'origine visqueuse, pour la phase froide 4.

$C_C = C5$

Paramètre C relatif à la restauration d'écrouissage d'origine visqueuse, pour la phase à chaud.

8.7.5 Opérandes F1_M/F2_M/F3_M/F4_M/C_M

$F1_M = m1$

Paramètre m relatif à la restauration d'écrouissage d'origine visqueuse, pour la phase froide 1.

$F2_M = m2$

Paramètre m relatif à la restauration d'écrouissage d'origine visqueuse, pour la phase froide 2.

$F3_M = m3$

Paramètre m relatif à la restauration d'écrouissage d'origine visqueuse, pour la phase froide 3.

$F4_M = m4$

Paramètre m relatif à la restauration d'écrouissage d'origine visqueuse, pour la phase froide 4.

$C_M = m5$

Paramètre m relatif à la restauration d'écrouissage d'origine visqueuse, pour la phase à chaud.

8.8 Mot clé facteur META_PT

Définition des caractéristiques utilisées dans la modélisation de la plasticité de transformation d'un matériau qui subit des changements de phases métallurgiques (voir [R4.04.02]).

Le modèle est le suivant :
$$\Delta \varepsilon^{pt} = \frac{3}{2} \sigma \sum_{i=1}^{i=4} K_i F'_i(Z_i) \langle \Delta Z_i \rangle$$

8.8.1 Syntaxe

```
| META_PT = _F (
|   ◇ F1_K           = Kf,           [R]
|   ◇ F2_K           = Kp,           [R]
|   ◇ F3_K           = Kb,           [R]
|   ◇ F4_K           = Km,           [R]
|   ◇ F1_D_F_META    = F' f,         [fonction**]
|   ◇ F2_D_F_META    = F' p,         [fonction**]
|   ◇ F3_D_F_META    = F' b,         [fonction**]
|   ◇ F4_D_F_META    = F' m,         [fonction**]
| )
```

8.8.2 Opérandes

$F1_K = Kf$, $F2_K = Kp$, $F3_K = Kb$, $F4_K = Km$

Constantes K_i utilisées dans le modèle de plasticité de transformation, pour les différentes phases à froid. Pour l'acier = phase ferritique, perlitique, bainitique et martensitique.

$F1_D_F_META = F' f$, $F2_D_F_META = F' p$, $F3_D_F_META = F' b$,
 $F4_D_F_META = F' m$,

Fonctions F'_i utilisées dans le modèle de plasticité de transformation, pour les différentes phases à froid. Pour l'acier : phase ferritique, perlitique, bainitique et martensitique.

8.9 Mot clé facteur META_RE

Définition des caractéristiques utilisées dans la modélisation du phénomène de restauration d'écroissage d'un matériau qui subit des changements de phases métallurgiques (voir [R4.04.02]).

8.9.1 Syntaxe

```
| META_RE = _F (
    ◇ C_F1_THETA = Tgf, [R]
    ◇ C_F2_THETA = Tgp, [R]
    ◇ C_F3_THETA = Tgb, [R]
    ◇ C_F4_THETA = Tgm, [R]
    ◇ F1_C_THETA = Tfg, [R]
    ◇ F2_C_THETA = Tpg, [R]
    ◇ F3_C_THETA = Tbg, [R]
    ◇ F4_C_THETA = Tmg [R]
)
```

8.9.2 Opérandes

C_F1_THETA=Tgf, C_F2_THETA=Tgp, C_F3_THETA=Tgb,
C_F4_THETA=Tgm

Constantes caractérisant le taux d'écroissage transmis lors de la transformation de la phase à chaud C en phase à froid. Pour l'acier; transformation de l'austénite en ferrite, perlite, bainite et martensite. Ainsi, $\theta=0$ correspond à une restauration totale et $\theta=1$ à une transmission totale de l'écroissage.

F1_C_THETA=Tfg, F2_C_THETA=Tpg, F3_C_THETA=Tbg,
F4_C_THETA=Tmg

Constantes caractérisant le taux d'écroissage transmis lors de la transformation des phases à froid en phase à chaud. Pour l'acier ; transformation de la ferrite, de la perlite, de la bainite et de la martensite en austénite. Ainsi, $\theta=0$ correspond à une restauration totale et $\theta=1$ à une transmission totale de l'écroissage.

8.10 Mot clé META_LEMA_ANI

Définition des paramètres de la loi META_LEMA_ANI (cf. [R4.04.05]), élasto-visqueuse sans seuil avec un comportement anisotrope. Brièvement, le modèle s'écrit dans le repère cylindrique (r, θ, z) :

Partition des déformations : $\varepsilon = \varepsilon^e + \alpha \Delta T \text{Id} + \varepsilon^v$

Loi d'écoulement de la déformation visqueuse : $\dot{\varepsilon}^v = \dot{p} \frac{M : \sigma}{\sigma_{eq}}$

Critère de Hill : $\sigma_{eq} = \sqrt{\sigma : M : \sigma}$

Matrice de Hill M :

$$M_{(r,\theta,z)} = \begin{bmatrix} M_{rrrr} & M_{rr\theta\theta} & M_{rrzz} & 0 & 0 & 0 \\ M_{rr\theta\theta} & M_{\theta\theta\theta\theta} & M_{\theta\theta zz} & 0 & 0 & 0 \\ M_{rrzz} & M_{\theta\theta zz} & M_{zzzz} & 0 & 0 & 0 \\ 0 & 0 & 0 & M_{r\theta r\theta} & 0 & 0 \\ 0 & 0 & 0 & 0 & M_{rzrz} & 0 \\ 0 & 0 & 0 & 0 & 0 & M_{\theta z \theta z} \end{bmatrix}$$

$$\text{avec} \begin{cases} M_{rrrr} + M_{rr\theta\theta} + M_{rrzz} = 0 \\ M_{rr\theta\theta} + M_{\theta\theta\theta\theta} + M_{\theta\theta zz} = 0 \\ M_{rrzz} + M_{\theta\theta zz} + M_{zzzz} = 0 \end{cases}$$

Loi des mélanges sur la matrice M :

$$M = \begin{cases} M^c & \text{si } 0.00 \leq Z_f \leq 0.01 \\ M^2 = Z_f M^I + (1 - Z_f) M^c & \text{si } 0.01 \leq Z_f \leq 0.99 \\ M^I & \text{si } 0.99 \leq Z_f \leq 1.00 \end{cases}$$

$$Z_f = Z_1 + Z_2; \quad Z_c = Z_3 = 1 - Z_f$$

$$\text{Vitesse de déformation équivalente : } \dot{p} = \left(\frac{\sigma_{eq}}{ap^m} \right)^n e^{-Q/RT}$$

$$\text{ou de manière équivalente : } \sigma_{eq} = \underbrace{a \left(e^{Q/RT} \right)^{1/n} p^m \dot{p}^{1/n}}_{\text{contrainte visqueuse } \sigma_v} = \sigma_v$$

Loi des mélanges sur la contrainte visqueuse σ_v :

$$\sigma_{eq} = \sigma_v = \sum_{i=1}^3 f_i(Z_\alpha) \sigma_{vi} \quad \text{avec} \quad \sigma_{vi} = a_i \left(e^{Q_i/RT} \right)^{1/n_i} p^{m_i} \dot{p}^{1/n_i}$$

Remarque :

dans le cas isotrope, on a

$$M_{rrrr} = M_{\theta\theta\theta\theta} = M_{zzzz} = 1$$

$$M_{r\theta r\theta} = M_{rzrz} = M_{\theta z \theta z} = 0.75$$

8.10.1 Syntaxe

```
| META_LEMA_ANI= _F (
|   ♦ F1_A      = a1      [R]
|   ♦ F2_A      = a2      [R]
|   ♦ C_A       = ac      [R]
|   ♦ F1_M      = m1      [R]
|   ♦ F2_M      = m2      [R]
|   ♦ C_M       = mc      [R]
|   ♦ F1_N      = n1,     [R]
|   ♦ F2_N      = n2,     [R]
|   ♦ C_N       = nc,     [R]
|   ♦ F1_Q      = q1,     [R]
```

```

♦ F2_Q      = q2,          [R]
♦ C_Q       = qc,          [R]
♦ F_MRR_RR  = mrrrrf,     [R]
♦ C_MRR_RR  = mrrrrc,     [R]
♦ F_MTT_TT  = mttttf,     [R]
♦ C_MTT_TT  = mttttc,     [R]
♦ F_MZZ_ZZ  = mzzzzf,     [R]
♦ C_MZZ_ZZ  = mzzzzc,     [R]

♦ F_MRT_RT  = mrtrtf,     [R]
♦ C_MRT_RT  = mrtrtc,     [R]
♦ F_MRZ_RZ  = mrzrzf,     [R]
♦ C_MRZ_RZ  = mrzrzc,     [R]
♦ F_MTZ_TZ  = mtztzf,     [R]
♦ C_MTZ_TZ  = mtztzc,     [R]
)

```

8.10.2 Opérandes

Le tableau ci-dessous résume les correspondances entre les symboles des équations et les mots clés d'Aster.

Symbole dans les équations	Mot clé Aster
$a1, a2, a3$	'F1_A', 'F2_A', 'C_A'
$m1, m2, m3$	'F1_M', 'F2_M', 'C_M'
$n1, n2, n3$	'F1_N', 'F2_N', 'C_N'
$Q1, Q2, Q3$	'F1_Q', 'F2_Q', 'C_Q'

La matrice de Hill est connue soit pour la phase froide (1) 'F_Mxx_xx', soit pour la phase chaude (3) 'C_Mxx_xx'.

Remarque :

Les coefficients 'F1_Q', 'F2_Q' et 'C_Q' sont en degré Kelvin.

9 Comportements THERMO-HYDRO-MECANIKES et des sols

9.1 Mot clé simple COMP_THM

Permet de sélectionner dès la définition du matériau la loi de couplage THM. Le tableau ci-dessous précise les mots clés obligatoires en fonction de la loi de couplage choisie.

	LIQU_SATU	LIQU_GAZ	GAZ	LIQU_GAZ_ATM	LIQU_VAPE_GAZ	LIQU_AD_GAZ_VAPE	LIQU_VAPE
THM_INIT	O	O	O	O	O	O	O
PRE1	O	O	O	O	O	O	O
PRE2		O			O	O	
PORO	O	O	O	O	O	O	O
TEMP	T	O	O	T	O	O	O
PRES_VAPE					O	O	O
THM_DIFFU	O	O	O	O	O	O	O
R_GAZ		O	O		O	O	O
RHO	O	O	O	O	O	O	O
BIOT_COEF	O	O	O	O	O	O	O
PESA_X	O	O	O	O	O	O	O
PESA_Y	O	O	O	O	O	O	O
PESA_Z	O	O	O	O	O	O	O
SATU_PRES				O		O	O
D_SATU_PRES				O		O	O
PERM_LIQU				O		O	O
D_PERM_LIQU_SATU				O		O	O
PERM_GAZ						O	O
D_PERM_SATU_GAZ						O	O
D_PERM_PRES_GAZ						O	O
VG_N / VG_PR / VG_SR							
VG_SMAX / VG_SATUR							
EMMAG							
FICKV_T					O	O	
FICKV_PV							
FICKV_PG							
FICKV_S							
D_FV_T							
D_FV_PG							
FICKA_T						O	
FICKA_PA							
FICKA_PL							
FICKA_S							
D_FA_T							
CP	T	T	T	T	T	T	T
PERM_IN/PERM_END/ PERM_X	O	O	O	O	O	O	O
PERM_Y							
PERM_Z							
LAMB_T	T	T	T	T	T	T	T
LAMB_S							
LAMB_PHI							
LAMB_CT							
D_LB_T							
D_LB_S							
D_LB_PHI							
THM_LIQU	O	O	O	O	O	O	O
RHO	O	O		O	O	O	O
UN_SUR_K	O	O		O	O	O	O
VISC	O	O		O	O	O	O
D_VISC_TEMP	O	O		O	O	O	O
ALPHA	T	T		T	T	T	T
CP	T	T		T	T	T	T
THM_GAZ		O	O	O	O	O	
MASS_MOL		O	O	O	O	O	
VISC		O	O	O	O	O	
D_VISC_TEMP		O	O	O	O	O	
CP		T	T	T	T	T	
THM_VAPE_GAZ					O	O	O
MASS_MOL					O	O	O
CP					O	O	O
VISC					O	O	O
D_VISC_TEMP					O	O	O
THM_AIR DISS						O	
CP						O	
COEF_HENRY						O	

O Mot clé Obligatoire

T Mot clé obligatoire en Thermique

Mot clé Inutile pour ce type de loi de couplage

La syntaxe est la suivante :

```

◇ COMP_THM = / 'LIQU_SATU' ,
              / 'LIQU_GAZ' ,
              / 'GAZ' ,
              / 'LIQU_GAZ_ATM' ,
              / 'LIQU_VAPE_GAZ' ,
              / 'LIQU_AD_GAZ' ,
              / 'LIQU_AD_GAZ_VAPE' ,
              / 'LIQU_VAPE' ,

```

9.2 Mot clé facteur THM_INIT

Pour tous les comportements ThermoHydroMécaniques, il permet de décrire l'état initial de la structure (cf. [R7.01.11] et [R7.01.14]).

9.2.1 Syntaxe

```

| THM_INIT = _F (
    ◇ TEMP      = temp,          [R]
    ◆ PRE1      = pre1,          [R]
    ◇ PRE2      = pre2,          [R]
    ◆ PORO      = poro,          [R]
    ◇ PRES_VAPE = pvap,          [R]
    ◇ DEGR_SATU = ds,            [R]
    ◇ PRES_ATMO = patm           [R]
)

```

Pour bien comprendre ces données, il faut distinguer les inconnues aux nœuds, que nous appelons $\{u\}^{ddl}$ et les valeurs définies sous le mot clé THM_INIT que nous appelons p^{ref} et T^{ref} .

$$\{u\}^{ddl} = \begin{pmatrix} u_x \\ u_y \\ u_z \\ PRE1^{ddl} \\ PRE2^{ddl} \end{pmatrix}$$

La signification des inconnues $PRE1$ et $PRE2$ varie suivant les modèles. En notant p_w la pression d'eau, p_{ad} la pression d'air dissous, p_l la pression de liquide $p_l = p_w + p_{ad}$, p_{as} la pression d'air sec, p_{vp} la pression de vapeur, $p_g = p_{as} + p_{vp}$ la pression totale de gaz et $p_c = p_g - p_l$ la pression capillaire (aussi appelée succion), on a les significations suivantes des inconnues $PRE1$ et $PRE2$:

Comportement KIT	LIQU_SAT U	LIQU_GAZ_AT M	GA Z	LIQU_VAPE_G AZ	LIQU_GAZ	LIQU_AD_G AZ_VAPE	LIQU_AD_G AZ
$PRE1$	p_l	$-p_l$	p_g	$p_c = p_g - p_l$	$p_c = p_g - p_l$	$p_c = p_g - p_l$	$p_c = p_g - p_l$
$PRE2$				p_g	p_g	p_g	p_g

On pourra se reporter au [§4.4.3] de la documentation [U4.51.11].

On définit alors les pressions et la température «totales» par:

$$p = p^{ddl} + p^{ref}; T = T^{ddl} + T^{ref}$$

Les valeurs écrites par IMPR_RESU sont les inconnues nodales p^{ddl} et T^{ddl} . De même les conditions aux limites doivent être exprimées par rapport aux inconnues nodales.

Par contre, ce sont les pressions et la température totales qui sont utilisées dans les lois de comportement $\frac{P}{\rho} = \frac{R}{M} T$ pour les gaz parfaits, $\frac{d\rho_l}{\rho_l} = \frac{dp_l}{K_l} - 3\alpha_l dT$ pour le liquide et dans la relation saturation/pression capillaire.

Notons que les valeurs nodales peuvent être initialisées par le mot clé ETAT_INIT de la commande STAT_NON_LINE.

L'utilisateur doit être très prudent dans la définition des valeurs de THM_INIT : en effet, la définition de plusieurs matériaux avec des valeurs différentes des quantités définies sous THM_INIT conduit à des valeurs initiales discontinues de la pression et de la température, ce qui n'est en fait pas compatible avec le traitement général qui est fait de ces quantités. Nous conseillons donc à l'utilisateur la démarche suivante :

- si au départ, on a un champ uniforme de pression ou de température, on le rentre directement par le mot clé THM_INIT,
- si on a un champ non uniforme, on entre par exemple une référence par le mot clé THM_INIT de la commande DEFI_MATERIAU, et les valeurs initiales par rapport à cette référence par le mot clé ETAT_INIT de la commande STAT_NON_LINE.

9.2.2 Opérande TEMP

Température de référence T^{ref} .

Attention cette valeur est exprimée en Kelvin et doit être strictement positive.

La valeur de la température de référence entrée derrière le mot clé VALE_REF de la commande AFFE_VARC est ignorée.

9.2.3 Opérande PRE1

Pour les comportements : LIQU_SATU, ELAS_THM et pression de liquide de référence.

Pour le comportement : GAZ pression de gaz de référence non nulle.

Pour le comportement : LIQU_GAZ_ATM pression de liquide de référence changée de signe.

Pour les comportements : LIQU_VAPE_GAZ, LIQU_AD_GAZ_VAPE et LIQU_GAZ pression capillaire de référence.

9.2.4 Opérande PRE2

Pour les comportements : LIQU_VAPE_GAZ, LIQU_AD_GAZ_VAPE et LIQU_GAZ pression de gaz de référence non nulle.

9.2.5 Opérande PORO/PRES_VAPE/DEGR_SATU

PORO = poro
Porosité initiale.

PRES_VAPE = pvap

Pour les comportements : LIQU_VAPE_GAZ, LIQU_AD_GAZ_VAPE et LIQU_GAZ et pression de vapeur initiale.

DEGR_SATU = ds

Pour tous les comportements non saturés : degré de saturation initial.

9.3 Mot clé facteur THM_LIQU

Ce mot clé concerne tous les comportements THM faisant intervenir un liquide (cf. [R7.01.11]).

9.3.1 Syntaxe

```
| THM_LIQU= _F (
    ♦ RHO                = rho,          [R]
    ♦ UN_SUR_K           = usk,          [R]
    ♦ ALPHA              = alp,          [R]
    ♦ CP                 = cp,           [R]
    ♦ VISC               = vi,           [fonction **]
    ♦ D_VISC_TEMP        = dvi,          [fonction **]
)
```

9.3.2 Opérande RHO

Masse volumique du liquide pour la pression définie sous le mot clé PRE1 du mot clé facteur THM_INIT.

9.3.3 Opérande UN_SUR_K

Inverse de la compressibilité du liquide : K_l .

9.3.4 Opérande ALPHA

Coefficient de dilatation du liquide : α_l

Si p_l désigne la pression du liquide, ρ_l sa masse volumique et T la température, le comportement

du liquide est :
$$\frac{d\rho_l}{\rho_l} = \frac{dp_l}{K_l} - 3\alpha_l dT$$

9.3.5 Opérande CP

Chaleur massique à pression constante du liquide.

9.3.6 Opérandes VISC/D_VISC_TEMP

VISC = vi
Viscosité du liquide. Fonction de la température.

D_VISC_TEMP = dvi

Dérivée de la viscosité du liquide par rapport à la température. Fonction de la température. L'utilisateur doit assurer la cohérence avec la fonction associée à VISC.

9.4 Mot clé facteur THM_GAZ

Ce mot clé facteur concerne tous les comportements THM faisant intervenir un gaz (cf. [R7.01.11]). Pour les comportements faisant intervenir à la fois un liquide et un gaz, et quand on prend en compte l'évaporation du liquide, les coefficients renseignés ici concernent le gaz sec. Les propriétés de la vapeur sont renseignées sous le mot clé THM_VAPE_GAZ.

9.4.1 Syntaxe

```
| THM_GAZ = _F (
    ♦ MASS_MOL           = Mgs,          [R]
    ♦ CP                 = cp,           [R]
    ♦ VISC               = vi,           [fonction **]
    ♦ D_VISC_TEMP        = dvi,          [fonction **]
)
```

9.4.2 Opérande MASS_MOL

Masse molaire du gaz sec M_{gs} .

Si p_{gs} désigne la pression du gaz sec, ρ_{gs} sa masse volumique, R la constante des gaz parfaits et

T la température, le comportement du gaz sec est : $\frac{p_{gs}}{\rho_{gs}} = \frac{RT}{M_{gs}}$.

9.4.3 Opérande CP

Chaleur massique à pression constante du gaz sec.

9.4.4 Opérande VISC

Viscosité du gaz sec. Fonction de la température.

9.4.5 Opérande D_VISC_TEMP

Dérivée par rapport à la température de la viscosité du gaz sec. Fonction de la température.
L'utilisateur doit assurer la cohérence avec la fonction associée à VISC.

9.5 Mot clé facteur THM_VAPE_GAZ

Ce mot clé facteur concerne tous les comportements THM faisant intervenir à la fois un liquide et un gaz, et prenant en compte l'évaporation du liquide (cf. [R7.01.11]). Les coefficients renseignés ici concernent la vapeur.

9.5.1 Syntaxe

```
| THM_VAPE_GAZ = _F      (  
    | MASS_MOL           = m ,           [R]  
    | CP                 = cp ,          [R]  
    | VISC               = vi ,          [fonction **]  
    | D_VISC_TEMP        = dvi ,         [fonction **]  
    | )
```

9.5.2 Opérande MASS_MOL

MASS_MOL = m

Masse molaire de la vapeur M_{vp} .

Si est M_{vp} désigne la pression du vapeur, ρ_{vp} sa masse volumique, la constante R des gaz

parfaits et T la température, le comportement de la vapeur est : $\frac{p_{vp}}{\rho_{vp}} = \frac{RT}{M_{vp}}$.

9.5.3 Opérande CP

CP = cp

Chaleur massique à pression constante du vapeur.

9.5.4 Opérande VISC

VISC = v

Viscosité de la vapeur. Fonction de la température.

9.5.5 Opérande D_VISC_TEMP

D_VISC_TEMP = dvi

Dérivée par rapport à la température de la viscosité de la vapeur. Fonction de la température.

L'utilisateur doit assurer la cohérence avec la fonction associée à `VISC`.

9.6 Mot clé facteur THM_AIR_DISS

Ce mot clé facteur concerne le comportement THM THM_AD_GAZ_VAPE prenant en compte la dissolution de l'air dans le liquide (cf. [R7.01.11]). Les coefficients renseignés ici concernent l'air dissous.

9.6.1 Syntaxe

```
| THM_AD_GAZ_VAPE = _F (
    ♦ CP = cp, [R]
    ♦ COEF_HENRY = h, [fonction **]
)
```

9.6.2 Opérande CP

CP = cp

Chaleur massique à pression constante de l'air dissous.

9.6.3 Opérande COEF_HENRY

COEF_HENRY = h

Constante de Henry K_H , permettant de relier la concentration molaire d'air dissous C_{ad}^{ol} (moles/m³) à la pression d'air sec :

$$C_{ad}^{ol} = \frac{p_{as}}{K_H}$$

9.7 Mot clé facteur THM_DIFFU

Obligatoire pour tous les comportements THM (cf. [R7.01.11]). L'utilisateur doit s'assurer de la cohérence des fonctions et de leur dérivée.

9.7.1 Syntaxe

```
| THM_DIFFU = _F (
    ♦ R_GAZ = rgaz, [R]
    ♦ RHO = rho, [R]
    ♦ CP = cp, [R]
    ♦ BIOT_COEF = bio, [R]
    ♦ PESA_X = px, [R]
    ♦ PESA_Y = py, [R]
    ♦ PESA_Z = pz, [R]
    ♦ PESA_MULT = fpesa, [fonction]
    ♦ PERM_IN = perm, [fonction]
    ♦ PERMIN_X = ox, [fonction]
    ♦ PERMIN_Y = ox, [fonction]
    ♦ PERMIN_Z = ox, [fonction]
    ♦ SATU PRES = sp, [fonction]
    ♦ D_SATU PRES = dsp, [fonction]
    ♦ PERM_LIQU = perml, [fonction]
    ♦ D_PERM_LIQU_SATU = dperm, [fonction]
    ♦ PERM_GAZ = permg, [fonction]
    ♦ D_PERM_SATU_GAZ = dpsg, [fonction]
    ♦ D_PERM PRES_GAZ = dppg, [fonction]
    ♦ VG_N = vgn, [R]
    ♦ VG_PR = pr, [R]
    ♦ VG_SR = sr, [R]
    ♦ VG_SMAX = smax, [R]
    ♦ VG_SATUR = stur, [R]
```

```

    ◇ FICKV_T           = fvt,           [fonction]
    ◇ FICKV_PV          = /fvpv,         [fonction]
                                /1,         [DEFAULT]
    ◇ FICKV_PG          = /fvpv,         [fonction]
                                /1,         [DEFAULT]
    ◇ FICKV_S           = /fvs,          [fonction]
                                /1,         [DEFAULT]
    ◇ D_FV_T            = /dfvt,         [fonction]
                                /0,         [DEFAULT]
    ◇ D_FV_PG           = /dfvpg,        [fonction]
                                /0,         [DEFAULT]
    ◇ FICKA_T           = fat,           [fonction]
    ◇ FICKA_PA          = /fapv,         [fonction]
                                /1,         [DEFAULT]
    ◇ FICKA_PL          = /fapg,         [fonction]
                                /1,         [DEFAULT]
    ◇ FICKA_S           = /fas,          [fonction]
                                /1,         [DEFAULT]
    ◇ D_FA_T            = /dfat,         [fonction]
                                /0,         [DEFAULT]
    ◇ LAMB_T            = /lambt,        [fonction]
                                /0,         [DEFAULT]
    ◇ LAMB_S            = /lambs,        [fonction]
                                /1,         [DEFAULT]
    ◇ LAMB_PHI          = /lambp,        [fonction]
                                /1,         [DEFAULT]
    ◇ LAMB_CT           = /lambct,       [fonction]
                                /0,         [DEFAULT]
    ◇ D_LB_S            = /dlambs,       [fonction]
                                /0,         [DEFAULT]
    ◇ D_LB_T            = /dlambt,       [fonction]
                                /0,         [DEFAULT]
    ◇ D_LB_PHI          = /dlambp,       [fonction]
                                /0,         [DEFAULT]
    ◇ SIGMA_T           = st,           [fonction]
    ◇ D_SIGMA_T         = dst,          [fonction]
    ◇ PERM_G_INTR       = pgi,          [fonction]
    ◇ CHAL_VAPO         = cv,           [fonction **]
    ◇ EMMAG             = em,           [R]
    ◇ PERM_END          = perment        [fonction]
)

```

9.7.2 Opérandes R_GAZ/RHO/CP/BIOT_COEF

R_GAZ = rgaz

Constante des gaz parfaits.

RHO = rho

Pour les comportements hydrauliques masse volumique homogénéisée.

CP = cp

Pour les comportements thermiques chaleur massique à contrainte constante du solide seul.

BIOT_COEF = bio

Coefficient de Biot.

9.7.3 Opérandes SATU_PRES/D_SATU_PRES

Pour les comportements de matériaux non saturés (LIQU_VAPE_GAZ, LIQU_AD_GAZ_VAPE, LIQU_GAZ, LIQU_GAZ_ATM) .

SATU_PRES = sp

Isotherme de saturation fonction de la pression capillaire.

D_SATU_PRES= dsp

Dérivée de la saturation par rapport à la pression.

9.7.4 Opérandes PESA_X/PESA_Y/PESA_Z/PESA_MULT

PESA_X = p_x , PESA_Y = p_y , PESA_Z = p_z ,

Pesanteur selon x , y ou z , utilisé uniquement si la modélisation choisie dans AFPE_MODELE inclut 1 ou 2 variable de pression.

PESA_MULT = f_{pesa}

Fonction temporelle en facteur des composantes de pesanteur PESA_X, PESA_Y et PESA_Z. Facultative, elle est par défaut constante et égale à 1.

9.7.5 Opérande PERM_IN

Perméabilité intrinsèque : fonction de la porosité (dans le cas isotrope). Dans les études, la dépendance de la perméabilité intrinsèque à φ peut s'exprimer classiquement par la loi cubique suivante :

$$\frac{k(\varphi)}{k_0} = \begin{cases} 1 & \text{si } \varphi - \varphi_0 < 0 \\ 1 + \chi(\varphi - \varphi_0)^3 & \text{si } 0 < \varphi - \varphi_0 < 10^{-2} \\ 1 + \chi * 10^{-6} & \text{si } 10^{-2} < \varphi - \varphi_0 \end{cases}$$

D'autres lois sont bien sur possibles.

La perméabilité au sens classique K , dont la dimension est celle d'une vitesse se calcule de la façon suivante :

$$K = \frac{K_{int} K_{rel}}{\mu} \rho_l g \quad \text{où } K_{int} \text{ est la perméabilité intrinsèque, } K_{rel} \text{ la perméabilité relative, } \mu \text{ la}$$

viscosité, ρ_l la masse volumique du liquide et g l'accélération de la pesanteur. K_{int} est en fait un tenseur diagonal, dans le cas isotrope ses trois composantes sont égales à la valeur renseignée.

9.7.6 Opérandes PERMIN_X/PERMIN_Y/PERMIN_Z

Dans le cas orthotrope, composante en x , y et z du tenseur de perméabilité intrinsèque. Dans ce cas, PERMIN_Y et PERMIN_Z sont obligatoires.

9.7.7 Opérandes PERM_LIQU/D_PERM_LIQU_SATU

Perméabilité et dérivée de la perméabilité relative au liquide : fonction de la saturation.

9.7.8 Opérandes PERM_GAZ/D_PERM_SATU_GAZ

Perméabilité et dérivée de la perméabilité relative au gaz : fonction de la saturation et de la pression de gaz.

9.7.9 Opérandes VG_N/VG_PR/VG_SR

Pour les comportements de matériaux non saturés (LIQU_VAPE_GAZ, LIQU_AD_GAZ_VAPE, LIQU_GAZ, LIQU_GAZ_ATM) et dans le cas où la loi hydraulique est HYDR_VGM ou HYDR_VGC (voir doc. U4.51.11), désignent respectivement les paramètres N , Pr , et Sr de la loi de Mualem Van-Genuchten servant à définir la pression capillaire et les perméabilités relatives à l'eau et au gaz.

9.7.10 Opérandes VG_SMAX/VG_SATUR

Pour les comportements de matériaux non saturés (LIQU_VAPE_GAZ, LIQU_AD_GAZ_VAPE, LIQU_GAZ, LIQU_GAZ_ATM) et dans le cas où la loi hydraulique est HYDR_VGM ou HYDR_VGC (voir doc. U4.51.11).

VG_SMAX = s_{max}

désigne la saturation maximum pour laquelle on applique la loi de Mualem Van-Genuchten. Au-delà de cette saturation les courbes de Mualem-Van Genuchten sont interpolées (voir doc. R7.01.11). Cette valeur doit être très proche de 1.

VG_SATUR = stur

Au delà de la saturation définie par VG_SMAX, la saturation est multipliée par ce facteur correctif. Cette valeur doit être très proche de 1 (voir doc. R7.01.11).

9.7.11 Opérandes D_PERM_PRES_GAZ

Dérivée de la perméabilité au gaz par rapport a la pression de gaz : fonction de la saturation et de la pression de gaz.

9.7.12 Opérandes FICKV_T/FICKV_S/FICKV_PG/FICKV_PV

Pour les comportements LIQU_VAPE_GAZ et LIQU_AD_GAZ_VAPE, coefficient de Fick fonction de la température pour la diffusion de la vapeur dans le mélange gazeux. Le coefficient de Fick pouvant être fonction de la saturation, la température, la pression de gaz et la pression de vapeur, on le définit comme un produit de 4 fonctions : FICKV_T, FICKV_S, FICKV_PG, FICKV_VP. Dans le cas de LIQU_VAPE_GAZ et LIQU_AD_GAZ_VAPE, seul FICKV_T est obligatoire.

9.7.13 Opérandes D_FV_T/D_FV_PG

Pour les comportements LIQU_VAPE_GAZ et LIQU_AD_GAZ_VAPE.

Dérivée du coefficient FICKV_T par rapport à la température.

Dérivée du coefficient FICKV_PG par rapport à la pression de gaz.

9.7.14 Opérandes FICKA_T/FICKA_S/FICKA_PA/FICKA_P

Pour le comportement LIQU_AD_GAZ_VAPE, coefficient de Fick fonction de la température pour la diffusion de l'air dissous dans le mélange liquide. Le coefficient de Fick pouvant être fonction de la saturation, la température, la pression d'air dissous et la pression de liquide, on le définit comme un produit de 4 fonctions : FICKA_T, FICKA_S, FICKV_PA, FICKV_PL. Dans le cas de LIQU_AD_GAZ_VAPE, seul FICKA_T est obligatoire.

9.7.15 Opérande D_FA_T

Pour le comportement LIQU_AD_GAZ_VAPE, dérivée du coefficient FICKA_T par rapport à la température.

9.7.16 Opérandes LAMB_T/LAMB_S/LAMB_PHI/LAMB_CT

LAMB_T = lambt

Pour le comportement THER_POLY partie multiplicative de la conductivité thermique du mélange dépendant de la température (cf. [R7.01.11]).

Pour le comportement THER_HOMO conductivité thermique du mélange. Cet opérande est obligatoire dans le cas thermique.

LAMB_S = lambs, LAMB_PHI = lambp

Pour le comportement THER_POLY partie multiplicative (égale à 1 par défaut) de la conductivité thermique du mélange dépendant respectivement de la saturation, de la porosité.

LAMB_CT = lambct

Pour le comportement THER_POLY partie de la conductivité thermique du mélange constante et additive (cf. [R7.01.11]). Cette constante est égale à zéro par défaut.

9.7.17 Opérandes D_LB_T/D_LB_S/D_LB_PHI

D_LB_T = dlambt

Pour le comportement THER_POLY dérivée de la partie de la conductivité thermique du mélange dépendant de la température par rapport à la température.

Pour le comportement THER_HOMO dérivée de la conductivité thermique du mélange par rapport a la température.

D_LB_S = dlambs, D_LB_PHI = dlambp

Pour le comportement THER_POLY dérivée de la partie de la conductivité thermique du mélange dépendant respectivement de la saturation, de la porosité.

9.7.18 Opérande EMMAG

Coefficient d'emménagement. Ce coefficient n'est pris en compte que dans les cas des modélisation sans mécanique. Il relie la variation de porosité à la variation de pression de liquide.

9.7.19 Opérande PERM_END

Perméabilité fonction de l'endommagement, utilisé par les comportements mécaniques avec endommagement.

9.8 Mot clé CAM_CLAY

Le modèle de Cam-Clay est un modèle élasto-plastique utilisé en mécanique des sols et est spécialement adapté aux matériaux argileux. Le modèle présenté ici est appelé Cam-Clay modifié. Le document [R7.01.14] décrit les équations correspondantes. Ce modèle peut être utilisé indépendamment des comportements THM. Les caractéristiques élastiques doivent être définies sous le mot clé ELAS.

9.8.1 Syntaxe

```
| CAM_CLAY = _F (
    ♦ MU      = mu,          [R]
    ♦ LAMBDA   = lambda,     [R]
    ♦ KAPA     = kapa,       [R]
    ♦ M        = m,         [R]
    ♦ PORO     = poro,       [R]
    ♦ PRES_CRIT = prescr,    [R]
    ◇ KCAM     = kcam,       [R]
    ◇ PTRAC    = ptrac,     [R]
)
```

9.8.2 Opérandes MU/LAMBDA/KAPA

MU = mu

Module élastique de cisaillement.

LAMBDA = lambda

Coefficient de compressibilité (pente plastique dans un essai de compression hydrostatique).

KAPA = kapa

Coefficient élastique de gonflement (pente élastique dans un essai de compression hydrostatique).

9.8.3 Opérande M

Pente de la droite d'état critique.

9.8.4 Opérande PORO

Porosité initiale. Si CAM_CLAY est utilisée sous RELATION_KIT, le mot clé PORO renseigné sous CAM_CLAY et sous THM_INIT doit être le même.

9.8.5 Opérandes PRES_CRIT/KCAM

PRES_CRIT = prescr

La pression critique égale à la moitié de la pression de consolidation.

KCAM = kcam

Pression initiale correspondante à la porosité initiale généralement égale à la pression atmosphérique.

Ce paramètre doit être positif ($kcam > 0$).

9.8.6 Opérande PTRAC

Quantité de la contrainte hydrostatique de traction tolérée ou décalage de l'ellipse vers la gauche sur l'axe des contraintes hydrostatiques. Ce paramètre doit être négatif ($ptrac < 0$).

9.9 Mot clé facteur CJS

La loi (Cambou, Jaffani, Sidoroff) est une loi de comportement pour les sols. Elle comporte trois mécanismes, l'un correspond à de l'élasticité non linéaire, un autre correspond à une plastification pour des états de contraintes isotropes, et le troisième mécanisme correspond à une plastification liée à un état de contrainte déviatoire. Le document [R7.01.13] décrit avec précision les équations correspondantes.

Les caractéristiques élastiques doivent être définies sous le mot clé ELAS.

La loi CJS recouvre trois formes possibles (CJS1, CJS2 et CJS3), selon que l'on autorise ou non l'activation des mécanismes non linéaires.
Le tableau ci dessous donne les mécanismes activés pour les trois niveaux CJS1, CJS2 et CJS3 :

	Mécanisme élastique	Mécanisme plastique isotrope	Mécanisme plastique déviatoire
CJS1	linéaire	non activé	activé, plasticité parfaite
CJS2	non linéaire	activé	activé, écrouissage isotrope
CJS3	non linéaire	activé	activé, écrouissage cinématique

Remarque :

En adoptant la correspondance des paramètres pour les états limites, il est possible d'utiliser le comportement CJS1 pour modéliser une loi de Mohr Coulomb en mécanique des sols.

9.9.1 Syntaxe

```

| CJS = _F (
|
|   ♦ BETA_CJS = beta, [R]
|   ♦ RM      = rm,   [R]
|   ◇ N_CJS   = n,    [R]
|   ◇ KP      = kp,   [R]
|   ◇ RC      = rc,   [R]
|   ◇ A_CJS   = a,    [R]
|   ◇ B_CJS   = b,    [R]
|   ◇ C_CJS   = c,    [R]
|   ♦ GAMMA_CJS = g, [R]
|   ◇ MU_CJS  = mu,   [R]
|   ◇ PCO     = pco,  [R]
|   ♦ PA      = pa,   [R]
|   ◇ Q_INIT  = q,    [R]
|   ◇ R_INIT  = r,    [R]
| )

```

Les différents coefficients sont à renseigner ou non selon le niveau que l'on veut utiliser, conformément au tableau ci dessous (F pour facultatif , O pour obligatoire et rien pour sans objet).

Symbole	Q_{init}	R_{init}	n	K^P	γ	β	R_c	A
Mot clé	Q_INIT	R_INIT	N_CJS	KP	PCO	BETA_CJS	RC	A_CJS
					= pcoGAMMA_C JS			
CJS1	F				O	O		
CJS2	F	F	O	O	O	O	O	O
CJS3	F		O	O	O	O	O	

Symbol e	b	R_m	μ	p_{co}	c	P_a
Mot clé	B_CJS	RM	M_CJS	PCO	C_CJS	PA
CJS1		O				O
CJS2		O				O
CJS3	O	O	O	O	O	O

Nous attirons l'attention de l'utilisateur sur le fait que, pour un même matériau, le même coefficient peut prendre des valeurs différentes selon le niveau utilisé. Le niveau utilisé n'est jamais renseigné, il est indiqué par le fait que certains coefficients sont renseignés ou non.

Par ailleurs, le mot clé ELAS doit être obligatoirement renseigné quand on utilise la loi CJS (sous un de ses trois niveaux). La définition du module d'Young et du coefficient de Poisson permettent de calculer les coefficients K_o^e et G_o .

9.9.2 Opérandes BETA_CJS/RM

Pour niveaux CJS1, CJS2 CJS3.

BETA_CJS = beta

Paramètre β . Contrôle la variation de volume plastique dans le mécanisme déviatoire.

RM = rm

Valeur maximale d'ouverture du domaine de réversibilité déviatoire.

9.9.3 Opérandes N_CJS/KP/RC

Pour niveaux CJS2 CJS3.

N_CJS = n

Contrôle la dépendance des module d'élasticité avec la contrainte moyenne :

$$K = K_o^e \left(\frac{I_1 + Q_{init}}{3P_a} \right)^n \quad G = G_o \left(\frac{I_1 + Q_{init}}{3P_a} \right)^n$$

KP = kp

Module de compressibilité plastique :

$$\dot{Q}_{iso} = K^p \dot{q} = K_o^p \left(\frac{Q_{iso}}{P_a} \right)^n \dot{q}$$

RC = rc

Valeur critique de la variable R :

$$\dot{e}_v^{dp} = -\beta \left(\frac{s_{II}}{s_{II}^c} - 1 \right) \frac{|s_{ij} \dot{e}_{ij}^{dp}|}{s_{II}} \quad s_{II}^c = -\frac{R_c I_1}{h(\theta_s)}$$

9.9.4 Opérandes A_CJS/R_INIT

Pour niveaux CJS2.

A_CJS = a

Contrôle l'écrouissage isotrope du mécanisme déviatoire ;

$$R = \frac{AR_m r}{R_m + Ar}$$

R_INIT = r

Valeur initiale de la variable R . Au premier temps de calcul, si la valeur initiale de R est nulle, soit qu'on ait pas défini d'état initial des variables internes par le mot clé ETAT_INIT de STAT_NON_LINE, soit que cet état initial soit nul, on prendra comme valeur initiale celle définie par le mot clé R_INIT de DEFI_MATERIAU.

9.9.5 Opérandes B_CJS/C_CJS/PCO/MU_CJS

Pour niveaux CJS3.

B_CJS = b

Contrôle l'écrouissage cinématique du mécanisme déviatoire :

$$\dot{X}_{ij} = -\frac{I}{b} \dot{\lambda}^d \left[dev \left(\frac{\partial f^d}{\partial X_{ij}} \right) - I_1 f X_{ij} \right] \left(\frac{I_1}{3P_a} \right)^{-1.5}$$

C_CJS = c

Contrôle l'évolution de la pression critique : $p_c = p_{co} \exp(-c \varepsilon_v)$.

PCO = pco

Pression critique initiale : $p_c = p_{co} \exp(-c \varepsilon_v)$.

MU_CJS = mu

Contrôle la valeur de rupture de la variable R : $R_r = R_c + m \ln\left(\frac{3p_c}{I_1}\right)$

9.9.6 Opérandes GAMMA_CJS/PA/Q_INIT

Pour niveaux CJS1 CJS2 CJS3.

GAMMA_CJS = g

Contrôle la forme du critère : $h(\theta_s) = \left(1 + \gamma \cos(3\theta_s)\right)^{1/6} = \left(1 + \gamma \sqrt{54} \frac{\det(\underline{s})}{s_{II}^3}\right)^{1/6}$

PA = pa

Pression atmosphérique. Doit être donnée négative.

Q_INIT = q

Paramètre numérique permettant de rendre admissible un état de contrainte nul. Peut également être utilisé pour définir une cohésion, au moins pour le niveau CJS1. On utilisera la formule :

$$Q_{init} = -3c \cotan(\varphi)$$

9.10 Mot clé facteur LAIGLE

La loi de LAIGLE [R7.01.15] est un modèle de comportement rhéologique pour la modélisation des roches. Celles-ci sont caractérisées par les trois paramètres suivants :

- a qui définit l'influence de la composante de dilataance dans le comportement aux grandes déformations. Ce paramètre dépend du niveau d'altération de la roche,
- s qui définit la cohésion du milieu. Il est donc représentatif de l'endommagement de la roche,
- m est fonction de la nature minéralogique de la roche, et est associé à un retour d'expérience important.

Les caractéristiques élastiques doivent être définies sous le mot clé ELAS.

9.10.1 Syntaxe

```
| LAIGLE =_F (
    ♦ GAMMA_ULT = gamma_ult, [R]
    ♦ GAMMA_E   = gamma_e,   [R]
    ♦ M_ULT     = m_ult,     [R]
    ♦ M_E       = m_e,      [R]
    ♦ A_E       = a_e,      [R]
    ♦ M_PIC     = m_pic,    [R]
    ♦ A_PIC     = a_pic,    [R]
    ♦ ETA       = eta,      [R]
    ♦ SIGMA_C   = sigma_c,  [R]
    ♦ GAMMA     = gamma,    [R]
    ♦ KSI       = ksi,      [R]
    ♦ GAMMA_CJS = gamma_cjs, [R]
    ♦ SIGMA_P1  = sigma_pl,  [R]
    ♦ PA        = pa        [R]
)
```

9.10.2 Opérandes GAMMA_ULT/GAMMA_E

GAMMA_ULT = gamma_ult

Paramètre γ_{ult} : Déformation déviatoire plastique correspondant au palier.

GAMMA_E = gamma_e

Paramètre γ_e : Déformation déviatoire plastique correspondant à la disparition complète de la cohésion.

9.10.3 Opérande M_ULT/M_E/A_E/M_PIC

M_ULT = m_ult

Paramètre m_{ult} : Valeur de m du critère ultime atteinte γ_{ult} .

M_E = m_e

Paramètre m_e : Valeur de m du critère intermédiaire atteinte en γ_e .

A_E = a_e

Paramètre a_e : Valeur de a du critère intermédiaire atteinte en γ_e .

M_PIC = m_pic

Paramètre m_{pic} : Valeur de m du critère de pic atteinte au pic de contrainte.

9.10.4 Opérandes A_PIC/ETA/SIGMA_C

A_PIC = a_pic

Paramètre a_{pic} : Valeur de l'exposant a au pic de contrainte.

ETA = eta

Paramètre η : Exposant régulant l'écrouissage.

SIGMA_C = sigma_c

Paramètre s_c : Résistance en compression simple.

9.10.5 Opérandes GAMMA/KSI

GAMMA = gamma, KSI = ksi

Paramètres γ et ξ : Paramètres réglant la dilatace.

Une condition à respecter est que le rapport γ/ξ reste inférieur à 1. Dans le cas des roches dures très résistantes, soumises à des contraintes de confinement relativement faibles, la variation de la dilatace $\sin \psi$ (en fonction de l'état des contraintes - voir [R7.01.15]) peut tendre vers γ/ξ , ce qui justifie cette condition.

9.10.6 Opérande GAMMA_CJS

Paramètre γ_{cjs} : paramètre de forme de la surface de charge dans le plan déviatoire.

9.10.7 Opérande SIGMA_P1

Paramètre σ_{pl} : intersection du critère intermédiaire et du critère de pic.

9.10.8 Opérande PA

Pression atmosphérique. Doit être donnée positive.

Remarque :

Les paramètres M_E , A_E , A_{PIC} , $SIGMA_{P1}$, $SIGMA_C$ et M_{PIC} sont dépendants les uns des autres par la relation : $m_e = \frac{\sigma_c}{\sigma_{pl}} \left(m_{pic} \frac{\sigma_{pl}}{\sigma_c} + 1 \right)^{\frac{a_{pic}}{a_e}}$. Cette dépendance est vérifiée au sein du code.

9.11 Mot clé facteur LETK

Le modèle rhéologique L&K (Laigle et Kleine) est une loi de comportement élasto visco-plastique appelée **LETK** dans Code_Aster [R7.01.24]. Elle s'appuie sur des concepts de l'élastoplasticité et de la viscoplasticité. L'élastoplasticité se caractérise par un écrouissage positif en pré pic et un écrouissage négatif en post pic.

On retrouve parmi les paramètres :

- des paramètres qui interviennent dans les fonctions d'écrouissage relatifs aux différents seuils élastoplastiques ou visqueux, comme a , s et m ,
- des paramètres liés au critères visqueux,
- des paramètres liés à la dilataance,
- des paramètres liés à la résistance du matériau en compression et en traction.

Les caractéristiques élastiques doivent être définies sous le mot clé **ELAS**.

9.11.1 Syntaxe

```
| LETK = _F (
    ♦ PA          = pa,          [R]
    ♦ NELAS       = nelas,      [R]
    ♦ SIGMA_C     = sigc,       [R]
    ♦ H0_EXT      = h0,         [R]
    ♦ GAMMA_CJS   = gcjs,      [R]
    ♦ XAMS        = xams,      [R]
    ♦ ETA         = eta,        [R]
    ♦ A_0         = a0,         [R]
    ♦ A_E         = ae,         [R]
    ♦ A_PIC       = ap,         [R]
    ♦ S_0         = s0,         [R]
    ♦ S_E         = se,         [R]
    ♦ M_0         = m0,         [R]
    ♦ M_E         = me,         [R]
    ♦ M_PIC       = mp,         [R]
    ♦ M_ULT       = mult,       [R]
    ♦ XI_ULT      = xiult,      [R]
    ♦ XI_E        = xie,        [R]
    ♦ XI_PIC      = xip,        [R]
    ♦ MV_MAX      = mvmx,       [R]
    ♦ XIV_MAX     = xivmx,      [R]
    ♦ A           = A,          [R]
    ♦ N           = n,          [R]
    ♦ SIGMA_P1    = sp1,        [R]
    ♦ SIGMA_P2    = sp2,        [R]
    ♦ MU0_V       = mu0v,       [R]
    ♦ XI0_V       = xi0v,       [R]
    ♦ MU1         = mul,        [R]
    ♦ XI1         = xil,        [R]
)
```

9.11.2 Opérandes PA/ NELAS/SIGMA_C/H0_EXT

PA = pa S_0 = s0

Paramètre P_a : pression atmosphérique.

NELAS = nelas

Paramètre n_{elas} : exposant de la loi de variation des modules élastiques K et G .

SIGMA_C = sigc

Paramètre σ_c : résistance en compression simple (l'unité d'une contrainte)..

H0_EXT = h0

Paramètre H_{0ext} : paramètre pilotant la résistance à la traction

9.11.3 Opérande GAMMA_CJS/X_AMS/ETA/A_0/A_E/A_PIC

GAMMA_CJS = gcjs

Paramètre γ_{cjs} : paramètre de forme du critère dans le plan déviatoire (entre 0 et 1).

XAMS = xams

Paramètre x_{ams} : paramètre non nul intervenant dans les lois d'écrouissage pré-pic.

9.11.4 Opérande ETA/A_0/A_E/A_PIC

ETA = eta

Paramètre h : paramètre non nul intervenant dans les lois d'écrouissage post-pic.

A_0 = a0

Paramètre a_0 : valeur de a sur le seuil d'endommagement.

A_E = ae

Paramètre a_e : valeur de a sur le seuil intermédiaire.

A_PIC = ap

Paramètre a_{pic} : valeur de a sur le seuil de pic.

9.11.5 Opérandes S_0/S_E/M_0/M_E/M_PIC/M_ULT

S_0 = s0

Paramètre s_0 : valeur de s sur le seuil d'endommagement.

S_E = se

Paramètre s_e : valeur de s sur le seuil intermédiaire.

M_0 = m0

Paramètre m_0 : valeur de m sur le seuil d'endommagement.

M_E = me

Paramètre m_e : valeur de m sur le seuil intermédiaire.

M_PIC = mp

Paramètre m_{pic} : valeur de m sur le seuil de pic.

M_ULT = mult

Paramètre m_{ult} : valeur de m sur le seuil résiduel.

9.11.6 Opérandes XI_E/XI_PIC/MV_MAX/XIV_MAX

XI_E = xie

Paramètre ξ_e : niveau d'écrouissage sur le seuil intermédiaire.

XI_PIC = xip

Paramètre ξ_{pic} : niveau d'écrouissage sur le seuil de pic.

MV_MAX = mvmx

Paramètre m_{v-max} : valeur de m sur le seuil de viscoplasticité.

XIV_MAX = xivmx

Paramètre ξ_{v-max} : niveau d'écrouissage pour atteindre le seuil viscoplastique maximal.

9.11.7 Opérandes A/N

A = A

Paramètre A : paramètre caractérisant l'amplitude de la vitesse de fluage (en s^{-1} ou $jour^{-1}$).

N = n

Paramètre n : exposant intervenant dans la formule pilotant la cinétique de fluage.

9.11.8 Opérande SIGMA_P1

SIGMA_P1 = sp1

Paramètre σ_{PI} : correspond à l'abscisse du point d'intersection de la limite de clivage et du seuil de pic.

9.11.9 Opérands MU0_V et XI0_V

MU0_V = mu0v, XI0_V = xi0v

Paramètres μ_{0v} et ξ_{0v} : paramètres réglant la dilatace des mécanismes pré pic et viscoplastiques
Les conditions à respecter sur ces paramètres sont :

$$\mu_{0v} < \xi_{0v} \text{ ou } \begin{cases} \mu_{0v} > \xi_{0v} \\ \frac{s_0^{a_{pic}}}{s_0^{a_0}} \leq \frac{1 + \mu_{0v}}{\mu_{0v} - \xi_{0v}} \text{ avec } s^{pic} = 1 \end{cases}$$

9.11.10 Opérands MU1 et XI1

MU1 = mu1, XI1 = xi1

Paramètres μ_I et ξ_I : paramètres réglant la dilatace des mécanismes post pic. Une condition à respecter est que le rapport μ_I/ξ_I reste inférieur ou égal à 1.

9.12 Mot clé facteur DRUCK_PRAGER

La loi de DRUCKER_PRAGER [R7.01.16] est un modèle de comportement pour la mécanique des sols, elle est définie par la relation :

$$\sigma_{eq} + \alpha I_I - R(p) \leq 0$$

où

σ_{eq} est une fonction du déviateur des contraintes effectives σ' ,

$I_I = Tr(\sigma')$ est la trace des contraintes effectives,

α est un coefficient de dépendance en pression,

$R(p)$ est une fonction de la déformation plastique cumulée.

Dans le cas linéaire, la fonction R est donnée par :

$$\begin{aligned} 0 < p < p_{ult} & R(p) = hp + \sigma_y \\ p \geq p_{ult} & R(p) = h p_{ult} + \sigma_y \end{aligned}$$

Dans le cas parabolique, $R(p) = \sigma_y f(p)$ où la fonction $f(p)$ est donnée par :

$$\begin{aligned} 0 < p < p_{ult} & f(p) = \left(1 - \left(1 - \sqrt{\frac{\sigma_{yult}}{\sigma_y}} \right) \frac{p}{p_{ult}} \right)^2 \\ p \geq p_{ult} & f(p) = \frac{\sigma_{yult}}{\sigma_y} \end{aligned}$$

9.12.1 Syntaxe

```
|   DRUCKER_PRAGER   = _F (
                                ♦ ECROUISSAGE   =/'LINEAIRE' ,
                                                /'PARABOLIQUE' ,      [TXM]
                                ♦ ALPHA         = alpha,                [R]
                                ♦ P_ULTM        = p_ult,                [R]
                                ♦ SY            = sy,                    [R]
                                ◇ H             = h,                    [R]
                                ◇ SY_ULTM       = sy_ult,               [R]
                                ◇ DILAT         = ang,                  [R]
                                )
```

9.12.2 Opérande ECRUISSAGE

ECROISSAGE =/'LINEAIRE'/'PARABOLIQUE'
Permet de définir le type d'écouissage souhaité.

9.12.3 Opérande ALPHA

ALPHA = alpha

Désigne le coefficient de dépendance en pression. On rappelle que l'opérande ALPHA est relié à

l'angle de frottement φ par la relation : $\alpha = \frac{2 \cdot \sin(\varphi)}{3 - \sin(\varphi)}$.

9.12.4 Opérande P_ULTM

P_ULTM = p_ult

Désigne la déformation plastique cumulée ultime.

9.12.5 Opérande SY

SY = sy

Désigne la contrainte plastique. Cette opérande est liée à la combinaison du coefficient de cohésion

C avec l'angle de frottement φ de la façon suivante : $SY = \frac{6C \cos(\varphi)}{3 - \sin(\varphi)}$.

9.12.6 Opérande H

H = h

Désigne le module d'écouissage, $h < 0$ si la loi est adoucissante. Cette opérande est obligatoire pour un écouissage de type linéaire (opérande ECRUISSAGE = 'LINEAIRE').

9.12.7 Opérande SY_ULTM

SY_ULTM = sy_ult Désigne la contrainte ultime. Cette opérande est obligatoire pour un écouissage de type parabolique (opérande ECRUISSAGE = 'PARABOLIQUE').

9.12.8 Opérande DILAT

DILAT = ang

Désigne l'angle de dilatace (par défaut égal à zéro).

9.13 Mot clé facteur VISC_DRUC_PRAG

Le modèle rhéologique VISC_DRUC_PRAG est une loi de comportement élasto visco-plastique dans Code_Aster [R7.01.22]. Elle se caractérise par un mécanisme viscoplastique qui s'écrouit entre trois seuils : élastique, de pic et ultime. L'élastoplasticité est de type Drucker Prager avec un écrouissage positif en pré pic et un écrouissage négatif en post-pic et la viscoplasticité est une loi puissance de type Perzyna.

On retrouve parmi les paramètres :

- des paramètres qui interviennent dans les fonctions d'écrouissage relatifs aux différents seuils élastique, de pic et ultime « α », « R » et « β »,
- des paramètres liés à la loi de fluage « A » et « n »,
- les déformations viscoplastiques cumulées correspondantes à chacun des seuils p_{pic} et p_{ult} ;
- une pression de référence « P_{ref} »

Les caractéristiques élastiques doivent être définies sous le mot clé ELAS.

9.13.1 Syntaxe

```
| VISC_DRUC_PRAG = _F (
|   ◆ PREF          = pref,          [R]
|   ◆ N              = n,            [R]
|   ◆ A              = a,            [R]
|   ◆ P_PIC          = ppic,         [R]
|   ◆ P_ULT          = pult,         [R]
|   ◆ ALPHA_0        = alpha0,       [R]
|   ◆ ALPHA_PIC      = alphapic,     [R]
|   ◆ ALPHA_ULT      = alphault,     [R]
|   ◆ R_0            = r0,           [R]
|   ◆ R_PIC          = rplic,        [R]
|   ◆ R_ULT          = rult,         [R]
|   ◆ BETA_0         = beta0,        [R]
|   ◆ BETA_PIC       = betapic,      [R]
|   ◆ BETA_ULT       = betault,      [R]
| )
```

9.13.2 Opérandes PREF/ N/A/P_PIC/P_ULT

PREF = pref

Paramètre P_{ref} : pression de référence (unité d'une contrainte)

N = n

Paramètre n : exposant de la loi d fluage

A = a

Paramètre A : paramètre viscoplastique (en s^{-1} ou $jour^{-1}$)

P_PIC = ppic

Paramètre p_{pic} : déformation viscoplastique cumulée au niveau du seuil de pic

P_ULT = pult

Paramètre p_{ult} : déformation viscoplastique cumulée au niveau du seuil ultime

9.13.3 Opérandes ALPHA_0/ALPHA_PIC /ALPHA_ULT

ALPHA_0 = alpha0

Paramètre α_0 : paramètre de la fonction de cohésion $\alpha(p)$ au niveau du seuil élastique

ALPHA_PIC = alphapic

Paramètre α_{pic} : paramètre de la fonction de cohésion $\alpha(p)$ au niveau du seuil de pic

ALPHA_ULT = alphault

Paramètre α_{ult} : paramètre de la fonction de cohésion $\alpha(p)$ au niveau du seuil ultime

9.13.4 Opérandes R_0 /R_PIC /R_ULT

R_0 = r0

Paramètre R_0 : paramètre de la fonction d'écroissage $R(p)$ au niveau du seuil élastique (en Pa ou en MPa)

R_PIC = rplic

Paramètre R_{pic} : paramètre de la fonction d'écroissage $R(p)$ au niveau du seuil de pic (en Pa ou en MPa)

R_ULT = rult

Paramètre R_{ult} : paramètre de la fonction d'écroissage $R(p)$ au niveau du seuil ultime (en Pa ou en MPa)

9.13.5 Opérandes BETA_0 /BETA_PIC /BETA_ULT

BETA_0 = beta0

Paramètre β_0 : paramètre de la fonction de dilatance $\beta(p)$ au niveau du seuil élastique

BETA_PIC = betapic

Paramètre β_{pic} : paramètre de la fonction de dilatance $\beta(p)$ au niveau du seuil de pic

BETA_ULT = betault

Paramètre β_{ult} : paramètre de la fonction de dilatance $\beta(p)$ au niveau du seuil ultime

9.14 Mot clé facteur BARCELONE

Le modèle de Barcelone décrit le comportement élasto-plastique des sols non saturés couplé au comportement hydraulique (Cf. [R7.01.17] pour plus de détail). Ce modèle se ramène au modèle de Cam-Clay dans le cas saturé. Deux critères interviennent : un critère de plasticité mécanique (celui de Cam-Clay) et un critère hydrique contrôlé par la succion (ou pression capillaire). Il ne peut être utilisé que dans le cadre des comportements THHM et HHM. Les caractéristiques nécessaires au modèle doivent être données sous ce mot-clé et sous les mots clés CAM_CLAY et ELAS.

Il est donc obligatoire de renseigner les paramètres des mots clés CAM_CLAY et ELAS.

9.14.1 Syntaxe

```
| BARCELONE = _F (
|   ◆ MU           = mu,           [R]
|   ◆ PORO         = poro,         [R]
|   ◆ LAMBDA       = lambda        [R]
|   ◆ KAPA         = kapa,         [R]
|   ◆ M           = m,            [R]
|   ◆ PRES_CRIT    = pc,           [R]
|   ◆ PA          = pa,           [R]
|   ◆ R           = r,            [R]
|   ◆ BETA        = beta,         [R]
|   ◆ KC          = kc,           [R]
|   ◆ PC0_INIT     = Pc0(0),       [R]
|   ◆ KAPAS       = Kappas,       [R]
|   ◆ LAMBDA_S    = Lambdas,      [R]
|   ◆ ALPHAB      = alphab        [R]
| )
```

9.14.2 Opérandes MU/PORO/LAMBDA/KAPA/M

MU = mu

Module élastique de cisaillement.

PORO = poro

Porosité associée à une pression initiale et liée à l'indice des vides initial : $n = \frac{e_0}{1+e_0}$.

LAMBDA = lambda

Coefficient de compressibilité (pente plastique dans un essai de compression hydrostatique).

KAPA = kapa

Coefficient élastique de gonflement (pente élastique dans un essai de compression hydrostatique).

M = m

Pente de la droite d'état critique.

9.14.3 Opérandes PRES_CRIT et PA

PRES_CRIT = pc, PA = pa

Pression critique égale à la moitié de la pression de consolidation et pression atmosphérique.

9.14.4 Opérandes R/BETA/KC

R = r, BETA = beta

Coefficients adimensionnels intervenant dans l'expression : $\lambda(p_c) = \lambda(0) \left[(1-r) \exp(-\beta p_c) + r \right]$

KC = kc

Paramètre adimensionnel contrôlant l'augmentation de la cohésion avec la succion (pression capillaire).

9.14.5 Opérandes PCO_INIT/KAPAS/LAMBDAS/ALPHAB

PCO_INIT = Pc0(0)

Seuil initial de la pression capillaire (homogène à des contraintes).

KAPAS = Kappas

Coefficient de rigidité adimensionnel associé au changement de succion dans le domaine élastique.

LAMBDAS = Lambdas

Coefficient de compressibilité lié à une variation de succion dans le domaine plastique. (adimensionnel).

ALPHAB = alphab

Coefficient de correction de la normalité de l'écoulement plastique [R7.01.17].

Terme correctif facultatif et adimensionnel permettant de mieux prendre en compte des résultats expérimentaux. Par défaut, il est calculé par Code_Aster en fonction de la pente de la droite d'état critique, du coefficient de gonflement et du coefficient de compressibilité.

9.15 Mot clé facteur HUJEUX

Loi de comportement élasto-plastique en mécanique des sols (géomatériaux granulaires : argiles sableuses, normalement consolidées ou sur-consolidées, graves...). Ce modèle est un modèle multi-critère qui comporte un mécanisme élastique non linéaire, 3 mécanismes plastiques déviatoires et un mécanisme plastique isotrope (voir [R7.01.23]).

Les caractéristiques mécaniques élastiques **E**, **NU**, et **ALPHA** doivent être définies en parallèle sous le mot-clé **ELAS**. La loi de Hujeux exhibant un comportement élastique non-linéaire, les valeurs de ces paramètres sont associées à la pression de référence **PREF** de la loi de Hujeux.

9.15.1 Syntaxe

```
| HUJEUX = _F (
|   ◆ N = n, [R]
|   ◆ BETA = beta, [R]
|   ◆ B = b, [R]
|   ◆ D = d, [R]
|   ◆ PHI = phi, [R]
|   ◆ ANGDIL = angdil, [R]
|   ◆ PCO = pco, [R]
|   ◆ PREF = pref, [R]
|   ◆ ACYC = acyc, [R]
|   ◆ AMON = amon, [R]
|   ◆ CCYC = ccyc, [R]
|   ◆ CMON = cmon, [R]
|   ◆ RD_ELA = rdela, [R]
|   ◆ RI_ELA = riela, [R]
|   ◆ RHYS = rhys, [R]
|   ◆ RMOB = rmob, [R]
|   ◆ XM = xm, [R]
|   ◆ RD_CYC = rdcyc, [R]
|   ◆ RI_CYC = ricyc, [R]
|   ◆ DILA = dila, [R]
|   ◇ P TRAC = /ptrac, [R]
|           /0.0 [DEFAULT]
| )
```

9.15.2 Opérandes N/BETA/B/D/PHI

N = n

Valeur du paramètre caractéristique de la loi puissance élastique non-linéaire, comprise entre 0 et 1.

BETA = beta

Valeur du coefficient de compressibilité plastique volumique ou de loi d'état critique, (positif).

B = b

Valeur du paramètre influençant la fonction de charge dans le plan (P', Q) , comprise entre 0 (Mohr-Coulomb) et 1 (Cam-Clay).

D = d

Valeur du paramètre caractérisant la distance entre la droite d'état critique et la droite de consolidation isotrope, (positif).

PHI = phi

Valeur du paramètre caractérisant l'angle de frottement interne, en degré.

9.15.3 Opérandes ANGDIL/PCO/PREF

ANGDIL = angdil

Valeur du paramètre caractérisant l'angle de dilatance, en degré.

PCO = pco

Valeur pression critique de référence initiale, (négative).

PREF = pref

Valeur pression de confinement de référence, (négative).

9.15.4 Opérands ACYC/AMON/CCYC/CMON

ACYC = acyc, AMON = amon, CCYC = ccyc, CMON = cmon

Valeurs des paramètres d'écrouissage des mécanismes plastiques déviatoires, en cyclique et en monotone, et des mécanismes plastiques de consolidation, en cyclique et en monotone, respectivement.

9.15.5 Opérands RD_ELA/RI_ELA

RD_ELA = rdela, RI_ELA = riela,

Valeurs des rayons initiaux des seuils des mécanismes déviatoire monotone et de consolidation monotone, respectivement, comprises entre 0 et 1.

RD_ELA = rdela, RI_ELA = riela,

Valeurs des rayons initiaux des seuils des mécanismes déviatoire monotone et de consolidation monotone, respectivement, comprises entre 0 et 1.

9.15.6 Opérands RD_CYC/RI_CYC

RD_CYC = rdcyc, RI_CYC = ricyc

Valeurs des rayons initiaux des seuils des mécanismes déviatoire cyclique et de consolidation cyclique, respectivement, comprises entre 0 et 1.

9.15.7 Opérands RHYS/RMOB/XM/DILA/PTRAC

RHYS = rhys

Valeur du paramètre définissant la taille du domaine hystérétique.

RMOB = rmob

Valeur du paramètre définissant la taille du domaine mobilisé.

XM = xm

Valeur du paramètre de contrôle dans le domaine hystérétique.

DILA = dila

Valeur du coefficient de dilatance, comprise entre 0 et 1.

PTRAC = ptrac

cohésion du matériau, homogène à une contrainte (valeur positive ou nulle). Permet de décaler la surface de charge vers les $p > 0$ afin de prendre en compte une légère traction dans le matériau.

9.16 Mot clé facteur HOEK_BROWN

Loi de comportement en mécanique des roches de type loi de HOEK-BROWN modifiée (Cf. [R7.01.18])

Les caractéristiques mécaniques élastiques E, NU, et ALPHA doivent être définies en parallèle sous le mot-clé ELAS.

9.16.1 Syntaxe

```
| HOEK_BROWN = _F (
    ♦ GAMMA_RUP      = grup,          [R]
    ♦ GAMMA_RES      = gres,          [R]
    ♦ S_END          = send,          [R]
    ♦ S_RUP          = srup,          [R]
    ♦ M_END          = mend,          [R]
    ♦ M_RUP          = mrup,          [R]
    ♦ BETA           = beta,          [R]
    ♦ ALPHAHB        = alphahb,      [R]
    ♦ PHI_RUP        = prup,          [R]
    ♦ PHI_RES        = pres,          [R]
    ♦ PHI_END        = phiend        [R]
)
```


9.16.2 Opérandes GAMMA_RUP/GAMMA_RES

GAMMA_RUP = grup

Valeur du paramètre d'écrouissage à la rupture du matériau.

GAMMA_RES = gres

Valeur du paramètre d'écrouissage au début de la résistance résiduelle.

9.16.3 Opérandes S_END/S_RUP/M_END/M_RUP

S_END = send

Valeur du produit $S \cdot \text{SIGMA}_c^{**2}$ atteinte à l'initiation d'endommagement.

S_RUP = srup

Valeur du produit $S \cdot \text{SIGMA}_c^{**2}$ atteinte en GAMMA_RUP.

M_END = mend

Valeur du produit $M \cdot \text{SIGMA}_c$ atteinte à l'initiation d'endommagement.

M_RUP = mrup

Valeur du produit $M \cdot \text{SIGMA}_c$ atteinte en GAMMA_RUP.

9.16.4 Opérande BETA/ALPHAHB

BETA = beta

Paramètre caractérisant le comportement post-rupture du matériau.

ALPHAHB = alphahb

Paramètre caractérisant le comportement post-rupture du matériau.

9.16.5 Opérande PHI_RUP/PHI_RES/PHI_END

PHI_RUP = prup

Valeur de l'angle de frottement atteinte en GAMMA_RUP.

PHI_RES = pres

Valeur de l'angle de frottement atteinte en GAMMA_RES.

PHI_END = phiend

Valeur de l'angle de frottement à l'initiation d'endommagement (prise nulle par défaut).

9.17 Mot clé facteur ELAS_GONF

Loi de comportement en mécanique des roches permettant de décrire le comportement des matériaux de type "argile gonflante" (bentonite). Ce modèle a été développé au LAEGO. Il s'agit d'un modèle élastique non-linéaire reliant la contrainte nette à la pression de gonflement qui elle même dépend de la succion (ou pression capillaire). Il ne peut être utilisé que dans le cadre des comportements THHM et HHM.

Les caractéristiques mécaniques élastiques E , ν , et α doivent être définies en parallèle sous le mot-clé ELAS.

La loi ELAS_GONF est un modèle de comportement pour les argiles gonflantes (type bentonite), elle est définie par la relation :

$$d\tilde{\sigma} = K_0 d\varepsilon_v + b \left(1 + \frac{s}{A} \right) e^{-\beta_m \left(\frac{s}{A} \right)^2} ds$$

avec $\tilde{\sigma}$: contrainte nette (trace) $\sigma = \tilde{\sigma} - p_g$

Dans le domaine saturé : $d\tilde{\sigma} = K_0 d\varepsilon_v - b dp_w + dp_g$

Ou encore : $d\tilde{\sigma} = K_0 d\varepsilon_v - b dp_c + (1 - b) dp_g$

K_0 est le module d'incompressibilité du matériau

b est le coefficient de Biot

A est un paramètre homogène à une pression

β_m est un paramètre sans dimension

s la succion (ou pression capillaire)

A partir de là, l'identification se fait en recherchant la pression de gonflement.

Soit P_{gf} la pression de gonflement attendue et soit $P_{gf}(s_0)$ la pression de gonflement trouvée par le modèle quand on re-sature un échantillon dans un essai à déformation bloquée et en partant d'une succion s_0 .

Il est facile de voir que :

$$\frac{P_{gf}(s_0)}{A} = \frac{\sqrt{\pi}}{2\sqrt{\beta_m}} \operatorname{Erf}\left(\frac{s_0}{A}\sqrt{\beta_m}\right) + \frac{I}{2\beta_m} \left(1 - e^{-\beta_m\left(\frac{s_0}{A}\right)^2}\right)$$

On doit avoir $P_{gf} = P_{gf}^\infty$. On sait que $\operatorname{Erf}(\infty) = 1$ et donc :

$$\frac{P_{gf}(s_0)}{A} = \frac{\sqrt{\pi}}{2\sqrt{\beta_m}} + \frac{I}{2\beta_m}$$

Dans Aster, la loi est programmée de manière incrémentale sous la forme :

$$\Delta \tilde{\sigma} = K_0 \Delta \varepsilon_v + b \Delta PG$$

en introduisant la fonction pression de gonflement en saturé et non saturé :

$$PG(P_c) = \begin{cases} A \left(\frac{\sqrt{\pi}}{2\sqrt{\beta_m}} \right) \operatorname{Erf}\left(\frac{s_0}{A}\sqrt{\beta_m}\right) + \frac{I}{2\beta_m} \left(1 - e^{-\beta_m\left(\frac{s_0}{A}\right)^2}\right) & \text{si } S < I \\ P_c & \text{si } S = I \end{cases}$$

9.17.1 Syntaxe

```
| ELAS_GONF = _F (
    ♦ BETAM = betam, [R]
    ♦ PREF = pref [R]
),
```

9.17.2 Opérande BETAM

Paramètre matériau sans dimension correspondant au β_m de la loi ci-dessus. L'identification se fait en recherchant la pression de gonflement.

9.17.3 Opérande PREF

Paramètre homogène à une pression correspondant au A de la loi ci-dessus.

9.18 Mot clé facteur JOINT_BANDIS

Loi de comportement d'un joint hydraulique en mécanique des roches.

Dans la direction normale au joint, le comportement est donné par

$$d\sigma'_n = -K_{ni} \frac{dU}{\left(1 - \frac{U}{U_{max}}\right)^y}$$

σ'_n est la contrainte effective normale

K_{ni} est la rigidité initiale normale

U est la fermeture de fissure (ouverture à chargement nul moins ouverture courante)

U_{\max} est la fermeture asymptotique de la fissure (à contrainte infinie)
 γ est un paramètre matériau

Dans la direction tangentielle, le comportement est élastique linéaire
$$\sigma'_t = K_t [[u_t]]$$

9.18.1 Syntaxe

```
| JOINT_BANDIS = _F (
    ♦ K      = k,                [R]
    ♦ DMAX    = dmax,            [R]
    ♦ GAMMA    = gamma,          [R]
    ◇ KT      = /kt,              [R]
                                /1.E12 [DEFAULT]
),
```

9.18.2 Opérande κ

Rigidité normale à chargement nul K_{ni} (contrainte par unité de longueur).

9.18.3 Opérande **DMAX**

Fermeture asymptotique D_{\max} (longueur).

9.18.4 Opérande **GAMA**

Paramètre matériau γ sans dimension .

9.18.5 Opérande κ_t

Rigidité tangentielle K_t (contrainte par unité de longueur).

9.19 Mot clé facteur **THM_RUPT**

Loi de comportement pour les fissures avec couplage hydro-mécanique (voir [R7.02.15]).

Lorsque les massifs environnants la fissure sont imperméables, l'écoulement n'est plus bien défini sur les éléments de joints non ouverts. Dans ce cas, on remplace le saut de déplacement par une ouverture de fissure fictive $\varepsilon_{\text{fict}}$ qui permet de régulariser l'écoulement et de reporter à la pointe de fissure la condition aux limites écrite à l'extrémité du trajet de fissuration.

On peut également définir un module de Biot N pour la zone cohésive.

9.19.1 Syntaxe

```
| THM_RUPT = _F (
    ♦ OUV_FICT    = ouv_fict,      [R]
    ◇ UN_SUR_N    = / 1/n,         [R]
                                / 0.0 [DEFAULT]
),
```

9.19.2 Opérande **OUV_FICT**

Ouverture fictive de fissure $\varepsilon_{\text{fict}}$ (longueur).

9.19.3 Opérande UN_SUR_N

Inverse du module de Biot de la fissure N (contrainte par unité de longueur).

10 Comportements spécifiques aux éléments 1D

10.1 Mots clés facteur VMIS_POUTRE, VMIS_POUTRE_FO

Paramètres définissant le critère de plasticité global intervenant dans le comportement élastoplastique des éléments de poutre (Modélisations POU_D_E, POU_D_T, POU_D_TG). (Voir [R5.03.30]).

Le critère de plasticité est défini par :

$$G(T, q^p, p) = F(T, q^p) - R(p) \leq 0$$

avec

$$F(T, q^p) = N_p \sqrt{\frac{N^2}{N_p^2} + A_y(c_y^p) \cdot M_y^2 + A_z(c_z^p) \cdot M_z^2 + \frac{M_x^2}{M_{px}^2}}$$

$R(p)$ peut être calculée à partir de ECRO_FLEJOU ou ECRO_LINE.

En ce qui concerne la flexion, les fonctions $A_y(c_y^p)$ et $A_z(c_z^p)$ permettent le passage progressif du moment de début de plastification de la section (en général, $M_{ey} = \frac{I_y \sigma_y}{z_{max}}$ et $M_{ez} = \frac{I_z \sigma_y}{y_{max}}$) au moment limite $M_{py} = \lambda M_{ey}$ ($M_{pz} = \lambda M_{ez}$). Ces moments sont à introduire directement par l'utilisateur, ils ne sont pas calculés par le code en fonction de la limite d'élasticité σ_y et de la géométrie de la section. La valeur de λ dépend de la forme de la section : les valeurs classiques sont :

- 1.5 pour une section rectangulaire
- $\frac{4}{p}$ pour une section circulaire creuse
- $\frac{16}{3p}$ pour une section circulaire pleine.

Les fonctions $A_y(c_y^p)$ et $A_z(c_z^p)$ sont définies par les moments caractéristiques précédents, et les paramètres numériques $\alpha_y, \beta_y, \alpha_z, \beta_z$:

$$\begin{cases} A_y(X_y^p) = \frac{(X_y^p)^{\alpha_y} + \beta_y}{M_{py}^2 + M_{ey}^2} \\ A_z(X_z^p) = \dots \end{cases}$$

L'effort normal limite est caractérisé par $N_p = S \sigma_y$. Le moment de torsion limite est $M_{px} = C \sigma_y$.

10.1.1 Syntaxe

```
| / VMIS_POUTRE
/ VMIS_POUTRE_FO = _F (
    ♦ NP = Np, [R] ou [fonction**]
    ♦ MEY = Mey, [R] ou [fonction**]
    ♦ MPY = Mpy, [R] ou [fonction**]
    ♦ CAY = ay, [R] ou [fonction**]
    ♦ CBY = by, [R] ou [fonction**]
    ♦ MEZ = Mez, [R] ou [fonction**]
    ♦ MPZ = Mpz, [R] ou [fonction**]
    ♦ CAZ = az, [R] ou [fonction**]
    ♦ CBZ = bz, [R] ou [fonction**]
    ♦ MPX = Mpx 2 [R] ou [fonction**]
)
```

10.2 Mot clé facteur ECRO_FLEJOU

Définition de la courbe d'écrouissage $R(p)$:

$$R(p) = S \sigma_L = S \left(\sigma_y + \frac{H_p \cdot p}{\left(1 + \left(\frac{p}{e_u} \right)^\alpha \right)^{\frac{1}{\alpha}}} \right)$$

avec $H = \frac{E \cdot E_p}{E - E_p}$
soit $E_p = \frac{E \cdot H}{E + H}$
il faut donc respecter $E_p < E$

$$e_u = \frac{\sigma_u - \sigma_y}{E_p}$$

Cette courbe a l'avantage de présenter une asymptote horizontale égale à σ_u (cf. [R5.03.30]).

10.2.1 Syntaxe

```
/ ECRO_FLEJOU = _F (
    ♦ EP = ep, [R]
    ♦ SY = sy, [R]
    ♦ SU = su, [R]
    ♦ PUISS = alpha [R]
)
```

10.3 Mot clé facteur ECRO_ASYM_LINE (cf. [R5.03.09])

Il permet de modéliser un comportement à écrouissage isotrope linéaire, mais avec des limites d'élasticité et des modules d'écrouissage différents en traction et en compression. Ceci est utilisé par le modèle de comportement 1D VMIS_ASYM_LINE, utilisable pour des éléments de barre.

Le comportement élastique en traction et compression est le même : même module d'Young.

Il y a deux domaines d'écrouissage isotrope définis par R_T et R_C . Les deux domaines sont indépendants l'un de l'autre. Nous adoptons un indice T pour la traction et C pour la compression.

σ_{YT}	Effort limite en traction. En valeur absolue.
σ_{YC}	Effort limite en compression. En valeur absolue.
p_T	Déformation plastique cumulée en traction. Valeur algébrique.
p_C	Déformation plastique cumulée en compression. Valeur algébrique.
E_{TT}	Pente d'écrouissage en traction.
E_{TC}	Pente d'écrouissage en compression.

Les équations du modèle de comportement sont :

$$\left\{ \begin{array}{l} \dot{\varepsilon}^p = \dot{\varepsilon} - \overbrace{E^{-1} \sigma}^{\cdot} - \dot{\varepsilon}^{th} \text{ avec} \\ \dot{\varepsilon}^p = \dot{\varepsilon}_C^p + \dot{\varepsilon}_T^p \\ \dot{\varepsilon}_C^p = \dot{p}_C \frac{\sigma}{|\sigma|} \\ \sigma - R_T(p_T) \leq 0 \\ -\sigma - R_C(p_C) \leq 0 \end{array} \right. \left\{ \begin{array}{l} \dot{p}_C = 0 \text{ si } -\sigma - R_C(p_C) < 0 \\ \dot{p}_C \geq 0 \text{ si } -\sigma = R_C(p_C) \\ \dot{p}_T = 0 \text{ si } \sigma - R_T(p_T) < 0 \\ \dot{p}_T \geq 0 \text{ si } \sigma = R_T(p_T) \end{array} \right.$$

où :

$\dot{\varepsilon}_C^p$: vitesse de déformation plastique en compressions,

$\dot{\varepsilon}_T^p$: vitesse de déformation plastique en traction.

ε_{th} : déformation d'origine thermique : $\varepsilon_{th} = \alpha(T - T_{ref})$. α est défini sous ELAS.

On remarque que l'on ne peut avoir simultanément plastification en traction et en compression : soit $\dot{p}_C = 0$, soit $\dot{p}_T = 0$, soit les deux sont nulles.

10.3.1 Syntaxe

```
| ECRO_ASYM_LINE = _F (
    ♦ DT_SIGM_EPSI = RT, [R]
    ♦ SY_T = sigmayT, [R]
    ♦ DC_SIGM_EPSI = RC, [R]
    ♦ SY_C = sigma yC [R]
)
```

11 Comportements particuliers

11.1 Mot clé facteur LEMAITRE_IRRA

Caractéristiques (spécifiques à l'irradiation) du fluage des crayons ou assemblages combustibles (comportement LEMAITRE_IRRA).

Les caractéristiques élastiques doivent être définies sous le mot clé ELAS ou ELAS_FO.

La forme uniaxiale de la loi de grandissement est :

$$\varepsilon_g(t) = (aT + b) \cdot \left(\int_0^t \Phi d\tau \right)^S$$

où F est le flux neutronique et $\int_0^t \Phi d\tau$ la fluence. T est en $^{\circ}C$.

Dans le cas où l'on adopte une modélisation 1D (le comportement est alors appliqué à un élément de poutre dans la direction axiale, confer [R5.03.09]), cette forme uniaxiale est utilisée telle quelle.

En revanche, pour les modélisations 2D et 3D, la loi de grandissement s'écrit (confer [R5.03.08]) :

$$\varepsilon_g(t) = (aT + b) \cdot \left(\int_0^t \Phi d\tau \right)^S \varepsilon_g^0$$

avec : $\varepsilon_g^0 = \begin{pmatrix} 1 & 0 & 0 \\ 0 & 0 & 0 \\ 0 & 0 & 0 \end{pmatrix}_{R_i}$

On doit alors définir à l'aide de l'opérande ANGL_REP du mot clé MASSIF de l'opérateur AFFE_CARA_ELEM les axes locaux correspondant au repère R_i (voir [U4.42.01]). Cet opérande attend 3 angles nautiques dont on n'utilise que les 2 premiers (le troisième peut donc être quelconque).

Les paramètres de grandissements sont fournis derrière les mots clés GRAN_A, GRAN_B et GRAN_S. On renseigne les quatre mots-clés QSR_K, BETA, PHI_ZERO, L (les autres paramètres du fluage sont identiques à ceux du comportement LEMAITRE) et le comportement en fluage est alors suivant :

$$\dot{p} = \left[\frac{\sigma_{eq}}{p^{1/m}} \right]^n \left(\frac{1}{K} \frac{\Phi}{\Phi_0} + L \right)^{\beta} e^{\frac{-Q}{R(T+T_0)}} \quad (T_0 = 273,15^{\circ})$$

où F est le flux neutronique calculé à partir de la fluence (voir [R5.03.08] ou [R5.03.09] selon la modélisation). T est en $^{\circ}C$.

Dans le cas où l'on souhaite que le comportement ne dépende pas de la fluence, mais comporte quand même le terme en $\exp(-Q/RT)$, il est possible, uniquement pour les modélisations 2D et 3D, d'utiliser le mot-clé LEMAITRE_IRRA dans STAT_NON_LINE en renseignant le mot-clés LEMAITRE_IRRA dans DEFI_MATERIAU. Il faut alors impérativement affecter UN_SUR_K, A, B, S à zéro et PHI_ZERO à un. Dans ces conditions, il n'est pas nécessaire de définir un champ de fluence.

11.1.1 Syntaxe

```
| LEMAITRE_IRRA = _F (
    ♦ N = n, [R]
    ♦ UN_SUR_K = 1/K, [R]
    ◇ UN_SUR_M = / 1/m, [R]
    / 0.0, [DEFAULT]
    ◇ QSR_K = / Q/R, [R]
    / 0.0, [DEFAULT]
    ◇ BETA = / beta, [R]
    / 0.0, [DEFAULT]
    ◇ PHI_ZERO = / phi0, [R]
    / 1.10E+20, [DEFAULT]
    ◇ L = / L, [R]
    / 0.0, [DEFAULT]
    ◇ GRAN_A = / a, [R]
    / 0., [DEFAULT]
    ◇ GRAN_B = / b, [R]
    / 0.0, [DEFAULT]
    ◇ GRAN_S = / s, [R]
    / 0., [DEFAULT]
)
```

11.2 Mot clé facteur LMARC_IRRA

Modèle élasto-viscoplastique développé au LMA-RC pour décrire le comportement viscoplastique orthotrope des tubes de gaines du crayon combustible [R5.03.10], complété par les paramètres de grandissement fournis derrière les mots clés GRAN_A, GRAN_B et GRAN_S.

Brièvement, les relations de comportement sont :

$$\left\{ \begin{array}{l} f = |\tilde{\sigma} - X| - R_0 = \sqrt{\frac{3}{2}} (\tilde{\sigma} - X)^t M (\tilde{\sigma} - X) \\ \dot{\varepsilon}^{vp} = \dot{\nu} \frac{\partial f}{\partial \sigma} = \frac{3}{2} \dot{\nu} \frac{M (\tilde{\sigma} - X)}{|\tilde{\sigma} - X|} \quad \dot{\nu} = \sqrt{\frac{2}{3}} (\dot{\varepsilon}^{vp})^t M^{-1} \dot{\varepsilon}^{vp} = \dot{\varepsilon}_0 \left\{ \sinh \left(\frac{|\tilde{\sigma} - X|}{K} \right) \right\}^n \\ \dot{X} = p \left(\frac{2}{3} Y(\nu) N \dot{\varepsilon}^{vp} - Q (X - X^{(1)}) \dot{\nu} \right) - \left\{ r_m \sinh \left(\left(\frac{|X|}{X_0} \right)^m \right) \right\} N R \frac{|X|}{X} \\ X^{(1)} = p_1 \left(\frac{2}{3} Y(\nu) N \dot{\varepsilon}^{vp} - Q (X^{(1)} - X^{(2)}) \dot{\nu} \right) \quad X^{(2)} = p_2 \left(\frac{2}{3} Y(\nu) N \dot{\varepsilon}^{vp} - Q X^{(2)} \dot{\nu} \right) \end{array} \right.$$

$$\text{avec : } Y(\nu) = Y_\infty + (Y_0 - Y_\infty) e^{b\nu} \quad |X| = \sqrt{\frac{3}{2}} X^t N X$$

Remarque :

$\tilde{\sigma}$ représente le déviateur des contraintes et $|\tilde{\sigma} - X|$ l'équivalent au sens de Hill.
Les matrices M , N , R et Q permettent de décrire l'anisotropie de comportement viscoplastique.

11.2.1 Syntaxe

```
| LMARC_IRRA= _F (
    ♦ R_0      = R0,          [R]
    ♦ DE_0     = eps 0,      [R]
    ♦ N        = n,          [R]
    ♦ K        = k,          [R]
    ♦ Y_0      = y0,         [R]
    ♦ Y_I      = yinfi,      [R]
    ♦ B        = b,          [R]
    ♦ A_0      = X0,         [R]
    ♦ RM       = rm,         [R]
    ♦ M        = m,          [R]
    ♦ P        = p,          [R]
    ♦ P1       = p1,         [R]
    ♦ P2       = p2,         [R]
    ♦ M11      = M11,        [R]
    ♦ M22      = M22,        [R]
    ♦ M33      = M33,        [R]
    ♦ M66      = M66,        [R]
    ♦ N11      = N11,        [R]
    ♦ N22      = M22,        [R]
    ♦ N33      = N33,        [R]
    ♦ N66      = N66,        [R]
    ♦ Q11      = Q11,        [R]
    ♦ Q22      = Q22,        [R]
    ♦ Q33      = Q33,        [R]
    ♦ Q66      = Q66,        [R]
    ♦ R11      = R11,        [R]
    ♦ R22      = R22,        [R]
    ♦ R33      = R33,        [R]
    ♦ R66      = R66,        [R]
    ◇ GRAN_A   = /a,         [R]
                        /0.0,   [DEFAULT]
    ◇ GRAN_B   = /b,         [R]
                        /0.0,   [DEFAULT]
    ◇ GRAN_S   = /s,         [R]
                        /0.0     [DEFAULT]
)
```

11.3 Mot clé facteur DIS_GRICRA

Ce mot clé permet de définir les paramètres associés au comportement non linéaire de la liaison entre la grille et le crayon dans un assemblage combustible modélisée par un élément discret (cf. [R5.03.17]). Le comportement utilisable dans les commandes STAT_NON_LINE et DYNA_NON_LINE à partir de ces paramètres est DIS_GRICRA .

Les paramètres d'entrée de cette loi sont les suivants :

- Comportement en glissement axial : 5 paramètres (dont un paramètre arbitraire, purement numérique) :
 1. rigidité normale du discret KN_AX ;
 2. rigidité tangentielle (dans la direction du glissement) KT_AX ;
 3. coefficient de frottement de Coulomb COUL_AX ;
 4. force de serrage F_SER (limite de glissement = COUL_AX x F_SER) ;
 5. paramètre d'écrouissage ET_AX (la loi de comportement peut être assimilée à de la plasticité parfaite. Le paramètre d'écrouissage ne sert qu'à assurer la convergence du calcul ; une valeur par défaut de 10^{-7} lui est affectée) ;
- Comportement en rotation : 6 paramètres (dont un paramètre purement numérique)
 1. pentes successives PEN1, PEN2 et PEN3 de la courbe $Moment = f(angle)$;
 2. angles ANG1 et ANG2 des points d'inflexion de la courbe ;
 3. paramètre d'écrouissage ET_ROT (paramètre ne servant qu'à assurer la convergence du calcul ; une valeur par défaut de 10^{-7} lui est affectée).

Les forces de serrage peuvent varier en fonction de la température et de l'irradiation. Ces dépendances sont affectées sur les pentes PEN1 et PEN2 pour le comportement en rotation et sur la force de serrage F_SER pour le comportement en glissement axial. Les fonctions de dépendance sont définies directement sous forme d'une FORMULE dans le fichier de commande.

- comportement s'appuyant sur un élément discret à 2 nœuds (modélisation DIS_TR) avec degrés de liberté en translation et en rotation
- contact avec frottement de Coulomb pour les degrés de translation, modélisé par un modèle élastoplastique
- loi de comportement non linéaire en rotation basé sur des considérations géométriques et physiques (cf. [R5.03.17])

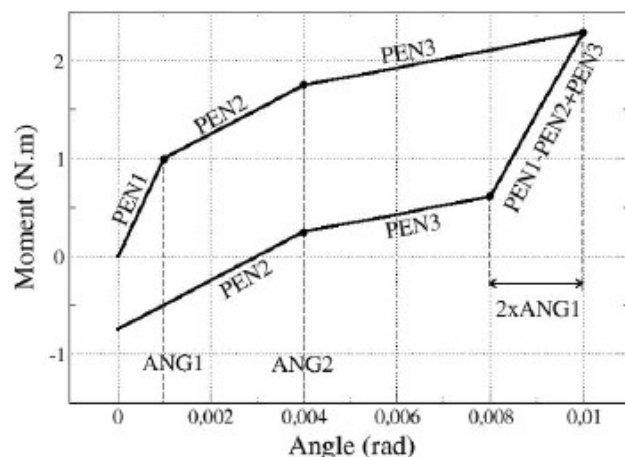
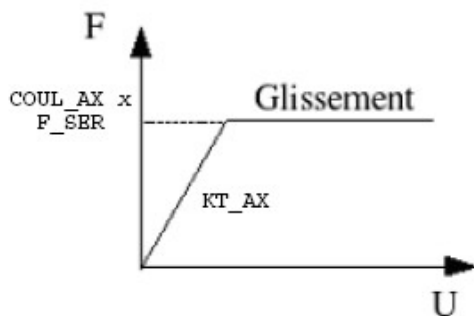
Les noms des paramètres suivis du suffixe _FO permettent de renseigner la valeur sous la forme d'une fonction.

Un certain nombre de paramètres supplémentaires, disponibles pour ce comportement mais qui ne figurent pas dans le présent document, sont explicités dans [V6.04.131].

11.3.1 Syntaxe

```
| DIS_GRICRA = _F (
% Comportement 'DIS_GRICRA'

♦ KN_AX      = kn_bossette,      [R]
♦ KT_AX      = kt_bossette,      [R]
♦ COUL_AX    = kt_bossette,      [R]
♦ F_SER      = kt_bossette,      [R]
```



(a) Comportement en translation

(b) Comportement en flexion

```
♦ F_SER_FO   = kt_bossette,      [fonction]
♦ ET_AX      = /kt_bossette,      [R]
              /1.0E-7,            [DEFAULT]
♦ ET_ROT     = /kt_bossette,      [R]
              /1.0E-7,            [DEFAULT]
♦ ANG1       = kn_ressort,        [R]
♦ ANG2       = kt_ressort,        [R]
♦ ANG1_FO    = mu_bossette,      [fonction]
♦ ANG2_FO    = mu_ressort,       [fonction]
♦ PEN1_FO    = gamma_bossette,   [fonction]
♦ PEN2_FO    = gamma_ressort,    [fonction]
♦ PEN3_FO    = forc_serrage      [fonction]
```

)

11.4 Mot clé facteur GATT_MONERIE

Loi de comportement thermo-mécanique du combustible "Gatt-Monerie" afin de simuler des essais d'indentation [R5.03.08]. Cette loi de comportement est une loi élasto-viscoplastique isotrope sans écrouissage dont les spécificités sont :

- le potentiel de dissipation est la somme de deux potentiels de type Norton (sans seuil),
- le combustible présentant une porosité résiduelle susceptible d'évoluer en compression (densification), ce potentiel dépend, en plus de la contrainte équivalente, de la contrainte hydrostatique.

Les deux variables internes de ce modèle sont la déformation plastique cumulée et la fraction volumique de porosité.

11.4.1 Syntaxe

```
◇ | GATT_MONERIE = _F (
    ◆ D_GRAIN      = d_grain,          [R]
    ◆ PORO_INIT    = poro_init ,       [R]
    ◇ EPSI_01      = /eps1,            [R]
                                /2.7252E-10, [DEFAULT]
    ◇ EPSI_02      = /eps2,            [R]
                                /9.1440E-41  [DEFAULT]
)
```

avec

D_GRAIN : taille du grain combustible
PORO_INIT : porosité initiale
EPSI_01 : coefficient vitesse de déformation basse contrainte
EPSI_02 : coefficient vitesse de déformation forte contrainte

Les caractéristiques élastiques doivent être renseignées sous le mot clé ELAS.

11.5 Mot clé facteur DIS_CONTACT

Ce mot clé permet de définir les paramètres associés au comportement DIS_CHOC non linéaire de choc avec frottement de Coulomb associés aux éléments discrets (cf. [R5.03.17]) pour des modélisations DIS_T, DIS_TR, 2D_DIS_T, 2D_DIS_TR s'appuyant sur des mailles POI1 ou SEG2 (élément discret à 1 ou 2 nœuds).

11.5.1 Syntaxe

```
◇ | DIS_CONTACT = _F (
    ◇ RIGI_NOR      = Kn,              [R]
    ◇ RIGI_TAN      = /Kt,             [R]
                                / 0.0, [DEFAULT]
    ◇ AMOR_NOR      = /Cn,             [R]
                                / 0.0, [DEFAULT]
    ◇ AMOR_TAN      = /Ct,             [R]
                                / 0.0, [DEFAULT]
    ◇ COULOMB       = /mu,             [R]
                                / 0.0, [DEFAULT]
    ◇ DIST_1        = /dist1,          [R]
                                / 0.0, [DEFAULT]
    ◇ DIST_2        = /dist2,          [R]
                                / 0.0, [DEFAULT]
    ◇ JEU           = /d0,             [R]
                                / 0.0   [DEFAULT]
)
```

11.5.2 Opérands RIGI_NOR/RIGI_TAN/AMOR_NOR/AMOR_TAN

RIGI_NOR = Kn

Valeur de la rigidité normale de choc. Si RIGI_NOR est présent c'est cette valeur qui est prise en compte. Si elle n'est pas présente, les éléments discrets auxquels on affecte ce matériau doivent avoir leur raideur définie par ailleurs (par exemple à l'aide de la commande AFFE_CARA_ELEM avec les mots clés DISCRET, 2D_DISCRET ou RIGI_PARASOL).

RIGI_TAN = Kt

Valeur de la rigidité tangentielle de choc.

AMOR_NOR = Cn

Valeur de l'amortissement normal de choc.

AMOR_TAN = Ct

Valeur de l'amortissement tangentiel de choc.

11.5.3 Opérands COULOMB/DIST_1/DIST_2/JEU

COULOMB = mu

Valeur du coefficient de frottement.

DIST_1 = dist1

Distance caractéristique de matière entourant le premier nœud de choc.

DIST_2 = dist2

Distance caractéristique de matière entourant le deuxième nœud de choc (choc entre deux structures mobiles).

JEU = d0

Distance entre le nœud de choc et un obstacle non modélisé (cas d'un choc entre une structure mobile et un obstacle indéformable et immobile).

11.6 Mot clé facteur DIS_ECRO_CINE

Ces paramètres de comportement matériau élastoplastique à écrouissage cinématique non linéaire, cf. [R5.03.17], sont à utiliser avec les éléments discrets 2D_DIS_TR, 2D_DIS_T, DIS_TR, DIS_T (cf. opérateur AFFE_MODELE [U4.41.01]). La loi est construite composante par composante du tenseur des efforts résultants sur l'élément discret : il n'y a pas de couplage entre les composantes d'efforts (forces et couples), sur lesquelles on peut définir des caractéristiques différentes ; seules les caractéristiques diagonales sont affectées par le comportement. La raideur élastique K_e (qui sert également à l'algorithme non linéaire pour la prédiction) de cette loi de comportement est donnée via les mots-clés K_T_D_L, K_TR_D_L, K_T_D_N, K_TR_D_N de la commande AFFE_CARA_ELEM [U4.42.01] :

Les grandeurs sont toutes exprimées dans le repère local de l'élément ; il est obligatoire de préciser le mot-clé REPERE='LOCAL' dans AFFE_CARA_ELEM [U4.42.01]. L'orientation du discret peut se faire dans AFFE_CARA_ELEM avec les règles habituelles en utilisant le mot-clé ORIENTATION.

L'utilisation de la loi de comportement se fait dans STAT_NON_LINE ou DYNA_NON_LINE sous le mot clé COMP_INCR [U4.51.11] avec RELATION = 'DISC_ECRO_CINE'.

11.6.1 Syntaxe

```
◇ | DIS_ECRO_CINE = _F (

    ◇/ ◇ LIMY_DX          = fy_dx,          [R]
      ◇ KCIN_DX           = kx_dx,          [R]
    ◇/ ◇ PUIS_DX          = n_dx,          [R]
      ◇ LIMU_DX           = fu_dx,          [R]
    ◇/ ◇ LIMY_DY          = fy_dy,          [R]
      ◇ KCIN_DY           = kx_dy,          [R]
    ◇/ ◇ PUIS_DY          = n_dy,          [R]
      ◇ LIMU_DY           = fu_dy,          [R]
    ◇/ ◇ LIMY_DZ          = fy_dz,          [R]
      ◇ KCIN_DZ           = kx_dz,          [R]
    ◇/ ◇ PUIS_DZ          = n_dz,          [R]
      ◇ LIMU_DZ           = fu_dz,          [R]
    ◇/ ◇ LIMY_RX          = fy_rx,          [R]
      ◇ KCIN_RX           = kx_rx,          [R]
    ◇/ ◇ PUIS_RX          = n_rx,          [R]
      ◇ LIMU_RX           = fu_rx,          [R]
    ◇/ ◇ LIMY_RY          = fy_ry,          [R]
      ◇ KCIN_RY           = kx_ry,          [R]
    ◇/ ◇ PUIS_RY          = n_ry,          [R]
      ◇ LIMU_RY           = fu_ry,          [R]
    ◇/ ◇ LIMY_RZ          = fy_rz,          [R]
      ◇ KCIN_RZ           = kx_rz,          [R]
    ◇/ ◇ PUIS_RZ          = n_rz,          [R]
      ◇ LIMU_RZ           = fu_rz          [R]
)
```

11.6.2 Opérandes

LIMY_DX = fy_dx,

F_y^x : limite élastique dans la direction d'effort x

KCIN_DX = kx_dx,

k_x : « raideur » d'écrouissage cinématique dans la direction d'effort x

PUIS_DX = n_dx,

n_x : puissance, définissant la forme de la courbe monotone dans la direction d'effort

LIMU_DX = fu_dx,

F_u^x : limite d'écrouissage cinématique, définissant le plateau de la courbe monotone dans la direction d'effort x

11.7 Mot clé facteur DIS_VISC

Ces paramètres de comportement viscoélastique non linéaire sont à utiliser avec les éléments discrets (cf. [R5.03.17]) 2D_DIS_TR, 2D_DIS_T, DIS_TR, DIS_T (cf. opérateur AFFE_MODELE [U4.41.01]). La loi est construite composante par composante du tenseur des efforts résultants sur l'élément discret : il n'y a pas de couplage entre les composantes d'efforts (forces et couples), sur lesquelles on peut définir des caractéristiques différentes ; seules les caractéristiques diagonales sont affectées par le comportement. La valeur de la raideur élastique K_e (qui sert également à l'algorithme non linéaire pour la prédiction) de cette loi de comportement est donnée via les mots-clés K_T_D_L, K_TR_D_L, K_T_D_N, K_TR_D_N de la commande AFFE_CARA_ELEM [U4.42.01].

Cette loi de comportement visqueuse est utilisable avec les opérateurs STAT_NON_LINE et DYNA_NON_LINE, sous le mot clé COMP_INCR [U4.51.11] avec RELATION = 'DISC_VISC'.

Les grandeurs sont toutes exprimées dans le repère local de l'élément ; il est obligatoire de préciser `REPERE='LOCAL'` dans `AFFE_CARA_ELEM` [U4.42.01]. L'orientation du discret peut se faire dans `AFFE_CARA_ELEM` avec les règles habituelles en utilisant le mot-clé `ORIENTATION`.

11.7.1 Syntaxe

```
| DIS_VISC = _F(  
    / ♦ COEF_DX          = a_dx,          [R]  
    ♦ PUIS_DX           = c_dx,          [R]  
    / ♦ COEF_DY          = a_dy,          [R]  
    ♦ PUIS_DY           = c_dy,          [R]  
    / ♦ COEF_DZ          = a_dz,          [R]  
    ♦ PUIS_DZ           = c_dz,          [R]  
    / ♦ COEF_RX          = a_rx,          [R]  
    ♦ PUIS_RX           = c_rx,          [R]  
    / ♦ COEF_RY          = a_ry,          [R]  
    ♦ PUIS_RY           = c_ry,          [R]  
    / ♦ COEF_RZ          = a_rz,          [R]  
    ♦ PUIS_RZ           = c_rz,          [R]  
)
```

11.7.2 Opérandes

La loi de comportement est de la forme $F = -CV^\alpha$ et nécessite 2 caractéristiques. Leurs unités doivent être en accord avec celles de l'effort ou du couple considéré : F est homogène à une force (resp . Couple), V est homogène à une vitesse (resp . vitesse angulaire) .

`COEF_DX = c_dx`

C_x : coefficient d'amortissement (cette valeur peut être différente de la raideur K_e) dans la direction d'effort x

`PUIS_DX = a_dx`

α_x : puissance de la loi d'amortissement en vitesse dans la direction d'effort x

11.8 Mot clé facteur DIS_BILI_ELAS

Ce mot clef facteur permet d'affecter un comportement élastique bilinéaire à des discrets dans les 3 directions de translation.

Ce comportement est à utiliser avec les éléments discrets (cf. [R5.03.17]), `2D_DIS_T`, `DIS_T` (cf. opérateur `AFFE_MODELE` [U4.41.01]). La loi est construite composante par composante, il n'y a donc pas de couplage entre les composantes d'efforts, sur lesquelles on peut définir des caractéristiques différentes ; seules les caractéristiques diagonales sont affectées par le comportement. La valeur de la raideur élastique K_e (qui ne sert qu'à l'algorithme non linéaire pour la prédiction) de cette loi de comportement est donnée via les mots-clés `K_T_D_L`, `K_T_D_N` de la commande `AFFE_CARA_ELEM` [U4.42.01].

Cette loi de comportement est utilisable avec les opérateurs `STAT_NON_LINE` et `DYNA_NON_LINE`, sous le mot clé `COMP_INCR` [U4.51.11] avec `RELATION = 'DISC_BILI_ELAS'` .

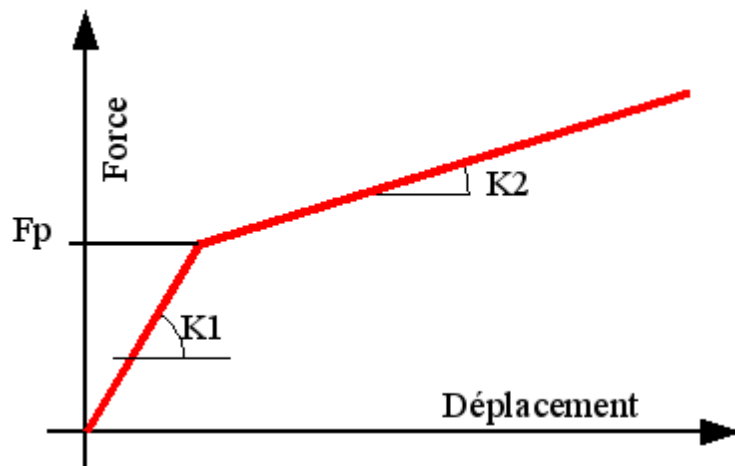
Les grandeurs sont toutes exprimées dans le repère local de l'élément. L'orientation du discret peut se faire dans la commande `AFFE_CARA_ELEM` avec les règles habituelles en utilisant le mot-clé `ORIENTATION`.

11.8.1 Syntaxe

```
| DIS_BILI_ELAS = _F(
    ◇/ ◇ KDEB_DX      = k1_dx,      [fonction**]
    ◇   ◇ KFIN_DX     = k2_dx,      [fonction**]
    ◇   ◇ FPRE_DX     = fp_dx,      [R]
    ◇/ ◇ KDEB_DY      = k1_dy,      [fonction**]
    ◇   ◇ KFIN_DY     = k2_dy,      [fonction**]
    ◇   ◇ FPRE_DY     = fp_dy,      [R]
    ◇/ ◇ KDEB_DZ      = k1_dz,      [fonction**]
    ◇   ◇ KFIN_DZ     = k2_dz,      [fonction**]
    ◇   ◇ FPRE_DZ     = fp_dz       [R]
)
```

11.8.2 Opérandes

La loi de comportement est bilinéaire élastique et nécessite 3 caractéristiques. Les unités des caractéristiques doivent être en accord avec celles du problème analysé : $k1$ et $k2$ sont homogènes à une force par déplacement, Fp est homogène à une force.



$KDEB_DX = k1_dx$, $KDEB_DY = k1_dy$, $KDEB_DZ = k1_dz$

La raideur du comportement lorsque l'effort dans le discret est inférieur Fp .

$KFIN_DX = k2_dx$, $KFIN_DY = k2_dy$, $KFIN_DZ = k2_dz$

La raideur du comportement lorsque l'effort dans le discret est supérieur à Fp .

$FPRE_DX = fp_dx$, $FPRE_DY = fp_dy$, $FPRE_DZ = fp_dz$

L'effort qui définit la transition entre les 2 comportements linéaires.

11.9 Mot clé facteur ASSE_CORN

Description des caractéristiques matériau associées au comportement d'un assemblage boulonné [R5.03.32].

11.9.1 Syntaxe

```
| ASSE_CORN = _F (
    ◇ NU_1      = nu1,      [R]
    ◇ MU_1      = mu1,      [R]
    ◇ DXU_1     = dxu1,     [R]
    ◇ DRYU_1    = dryu1,    [R]
    ◇ C_1       = c1,       [R]
    ◇ NU_2      = nu2,      [R]
    ◇ MU_2      = mu2,      [R]
)
```

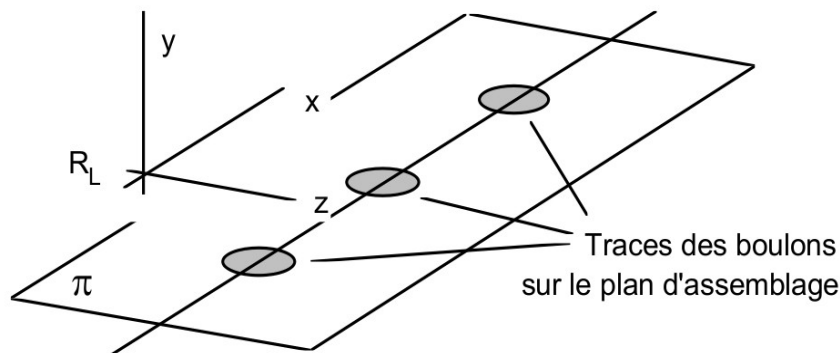
```

♦ DXU_2 = dxu2, [R]
♦ DRYU_2 = dryu2, [R]
♦ C_2 = c2, [R]
♦ KY = ky, [R]
♦ KZ = kz, [R]
♦ KRX = krx, [R]
♦ KRZ = krz, [R]
◊ R_P0 = /rp0, [R]
        /1.E-4
    )

```

11.9.2 Opérandes

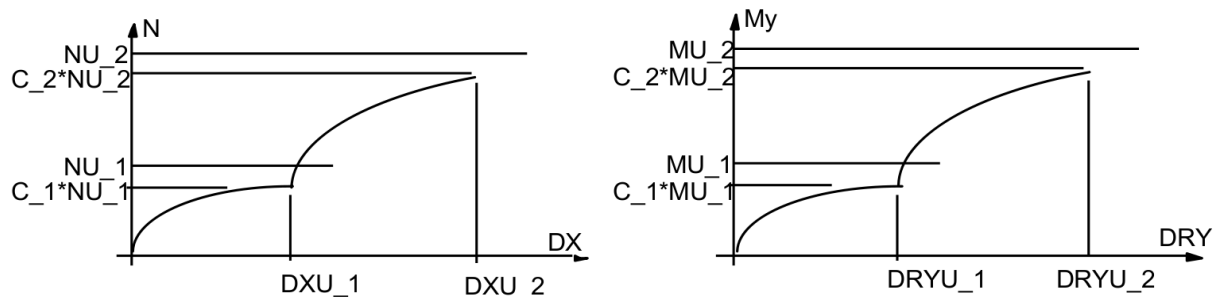
Sur la figure suivante, le plan π représente le plan de l'assemblage. L'axe des boulons est perpendiculaire à ce plan. Le lecteur se reportera à [U4.42.01] AFFE_CARA_ELEM pour l'orientation du repère R_L définissant le plan de l'assemblage.



La relation de comportement de l'assemblage est :

- non-linéaire en translation suivant x et en rotation autour de y .
- linéaire suivant les autres degrés de libertés : DY , DZ , DRX , DRZ

Comportements en traction suivant l'axe x et en rotation autour de l'axe y .



Le comportement de la liaison est considéré linéaire dans les autres directions :

KY : raideur en translation suivant Y
 KZ : raideur en translation suivant Z

KRX : raideur en rotation autour de X
KRZ : raideur en rotation autour de Z
R_P0 : Pente à l'origine ou de décharge

11.10 Mot clé facteur ARME

Description des caractéristiques matériau associées au comportement d'un armement de ligne aérienne.

Le bras de chaque armement de phase rompue, représenté par un élément discret, a un comportement non-linéaire en force-déplacement constitué par la différence entre le déplacement maximal d_{lp} de l'extrémité de l'armement dans la phase plastique et le déplacement élastique limite d_{le} .

11.10.1 Syntaxe

```
| ARME = _F (
    ♦ KYE = kye , [R]
    ♦ DLE = dle , [R]
    ♦ KYP = kyp , [R]
    ♦ DLP = dlp , [R]
    ♦ KYG = kyg [R]
)
```

11.10.2 Opérands KYE/DLE

$KYE = kye$

Pente élastique jusqu'à un effort limite.

$DLE = dle$

Déplacement limite de la déformation élastique.

11.10.3 Opérande KYP/DLP

$KYP = kyp$

Pente plastique jusqu'au déplacement limite DLP .

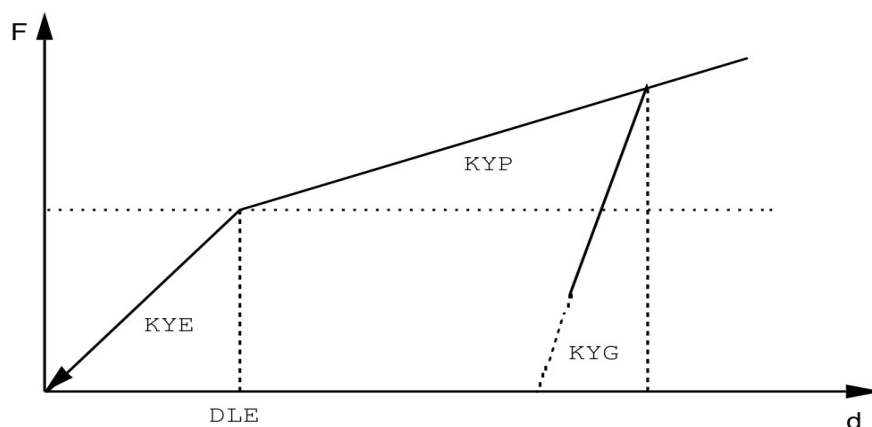
$DLP = dlp$

Déplacement limite de la déformation plastique 0.

11.10.4 Opérande KYG

$KYG = kyg$

Pente de décharge.



12 Comportement fluide

12.1 Mot clé facteur FLUIDE

Définitions des caractéristiques de fluide constantes.

12.1.1 Syntaxe

```
| FLUIDE = _F (  
    ♦ RHO          = rho ,           [R]  
    ◇ CELE_R       = celr ,          [R]  
    ◇ CELE_C       = celc ,          [C]  
)
```

12.1.2 Opérande RHO

RHO = rho

Masse volumique du fluide. Pas de vérification.

12.1.3 Opérandes CELE_R/ CELE_C

CELE_R = celr

Célérité de propagation des ondes acoustiques dans le milieu fluide (type réel).

Pas de vérification de l'ordre de grandeur.

CELE_C = celc

Célérité de propagation des ondes acoustiques dans le milieu fluide (type complexe notamment pour un milieu poreux). Pas de vérification de l'ordre de grandeur.

Pour une modélisation en PHENOMENE : ACOUSTIQUE (commande AFFE_MODELE [U4.41.01]) seule la définition de la célérité à l'aide du mot clé CELE_C est valide.

La définition à l'aide du mot clé CELE_R conduit à un arrêt en erreur.

13 Données Matériaux associées à des post-traitements

13.1 Mot clé facteur FATIGUE

On pourra se reporter à [R7.04.01] et [R7.04.03] .

13.1.1 Syntaxe

```
| FATIGUE = _F (
    /◇ WOHLER           = f_wohl,    [fonction]
    /◇ A_BASQUIN        = a,         [R]
    ◇ BETA_BASQUIN      = beta,      [R]

    /◇ A0               = a0,        [R]
    ◇ A1                = a1,        [R]
    ◇ A2                = a2,        [R]
    ◇ A3                = a3,        [R]
    ◇ SL                = SL,        [R]

    ◇ MANSO_N_COFFIN    = f_mans,    [fonction]

    ◇ E_REFE            = Ec,         [R]
    ◇ D0                = d0,        [R]
    ◇ TAU0              = tau0,      [R]

)
```

13.1.2 Opérande WOHLER

Cet opérande permet d'introduire la courbe de Wöhler du matériau sous une forme discrétisée point par point. Cette fonction donne le nombre de cycles à la rupture N_{rupt} en fonction de la demi-amplitude de contrainte $\frac{\Delta\sigma}{2}$.

La courbe de Wöhler est une fonction pour laquelle l'utilisateur choisit le mode d'interpolation :

- LOG LOG : interpolation logarithmique sur le nombre de cycles à la rupture et sur la demi-amplitude de la contrainte (formule de Basquin par morceaux),
- LIN LIN : interpolation linéaire sur le nombre de cycles à la rupture et sur la demi amplitude de la contrainte (cette interpolation est déconseillée car la courbe de Wöhler n'est absolument pas linéaire dans ce repère),
- LIN LOG : interpolation en linéaire sur la demi-amplitude de contrainte, et logarithmique sur le nombre de cycles à la rupture, ce qui correspond à l'expression donnée par Wöhler.

L'utilisateur doit également choisir le type de prolongement de la fonction à droite et à gauche.

13.1.3 Opérandes A_BASQUIN / BETA_BASQUIN

A_BASQUIN = a
BETA_BASQUIN = beta

Ces opérandes permettent d'introduire la courbe de Wöhler du matériau sous la forme analytique de BASQUIN [R7.04.01].

$D = A Salt^\beta$ où A et β sont deux constantes du matériau,

$Salt$ = contrainte alternée du cycle = $\frac{\Delta\sigma}{2}$ et D le dommage élémentaire.

13.1.4 Opérandes A0 / A1 / A2 / A3 / SL

$A0 = a0, A1 = a1, A2 = a2, A3 = a3, SL = SL$

Ces opérandes permettent de définir sous forme analytique la courbe de Wöhler en "zone courante" [R7.04.01].

$$Salt = \text{contrainte alternée} = \frac{1}{2} \frac{E_c}{E} \Delta \sigma$$

$$X = \log_{10}(Salt)$$

$$N_{rupt} = 10^{a0 + a1x + a2x^2 + a3x^3}$$

$$D = \begin{cases} 1/N & \text{si } Salt \geq SL \\ 0. & \text{sinon} \end{cases}$$

Cette liste d'opérandes permet d'introduire les divers paramètres de cette forme analytique.

$a0, a1, a2$ et $a3$ constantes du matériau,

SL limite d'endurance du matériau.

Le module d'Young E est introduit dans DEFI_MATERIAU (mot clé facteur ELAS opérande E).

La valeur de E_c , module d'Young associé à la courbe de fatigue du matériau est également introduite dans DEFI_MATERIAU sous le mot clé facteur FATIGUE, opérande E_REFE.

13.1.5 Opérande MANSON_COFFIN

MANSON_COFFIN = f_mans

Cet opérande permet d'introduire la courbe de Manson-Coffin du matériau sous une forme discrétisée point par point. Cette fonction donne le nombre de cycles à la rupture en fonction de la demi-

amplitude de déformations $\frac{\Delta \varepsilon}{2}$.

13.1.6 Opérande E_REFE

E_REFE = E_c

Cet opérande permet de spécifier la valeur du module d'Young associé à la courbe de fatigue du matériau. Cette valeur permet entre autre, de définir la courbe de Wöhler en "zone courante" [R7.04.01].

13.1.7 Opérandes D0/TAU0

D0 = $d0$

Permet de spécifier la valeur de la limite d'endurance en traction-compression pure alternée. Cette valeur est utilisée dans le calcul des critères de Crossland et Dang Van Papadopoulos [R7.04.01] par la commande de POST_FATIGUE [U4.83.01].

TAU0 = τ_{00}

Permet de spécifier la valeur de la limite d'endurance en cisaillement pur alterné. Cette valeur est utilisée dans le calcul des critères de Crossland et Dang Van Papadopoulos [R7.04.01] par la commande de POST_FATIGUE [U4.83.01].

13.2 Mot clé facteur DOMMA_LEMAITRE

Sous ce mot clé facteur sont regroupées toutes les caractéristiques matériau nécessaires au calcul du dommage de Lemaitre et la loi de Lemaitre-Sermage (option ENDO_ELGA de CALC_ELEM, U4.81.01).

13.2.1 Syntaxe

```
| DOMMA_LEMAITRE = _F (
    ♦ S = s,                                [fonction**]
    ♦ EPSP_SEUIL = Pseuil,                  [fonction**]
    ◇ EXP_S = / pd,                         [R]
                                          / 1.0 [DEFAULT]
)
```

13.2.2 Opérande s

$S = s$

S est un paramètre matériau nécessaire au calcul du dommage de Lemaitre. S doit être une fonction du paramètre $TEMP$.

13.2.3 Opérande EPSP_SEUIL

$EPSP_SEUIL = Pseuil$

Permet de spécifier la valeur du seuil d'endommagement pd , nécessaire au calcul du dommage de Lemaitre.

13.2.4 Opérande EXP_S

$EXP_S = pd$

Permet de définir la loi de Lemaitre-Sermage, la valeur par défaut (1.0) correspond au calcul du dommage de Lemaitre.

13.3 Mot clé facteur CISA_PLAN_CRIT

Sous ce mot clé facteur sont regroupées toutes les caractéristiques matériau nécessaires à la mise en œuvre des critères avec plans critiques [R7.04.04].

13.3.1 Syntaxe

```
◇ | CISA_PLAN_CRIT = _F (
    ♦ CRITERE =/ 'MATAKE_MODI_AC',          [TXM]
                / 'DANG_VAN_MODI_AC ',      [TXM]
                / 'MATAKE_MODI_AV',          [TXM]
                / 'DANG_VAN_MODI_AV',        [TXM]
                / 'FATESOCI_MODI_AV',        [TXM]

    #Si CRITERE == 'MATAKE_MODI_AC' OU 'MATAKE_MODI_AV' :

    ♦ MATAKE_A = a,                        [R]
    ♦ MATAKE_B = b,                        [R]
    ♦ COEF_FLEX_TORS = c_flex_tors,         [R]
    #FinSi

    #Si CRITERE == 'DANG_VAN_MODI_AC' OU 'DANG_VAN_MODI_AV' :

    ♦ D_VAN_A = a,                        [R]
```

```
        ♦ D_VAN_B = b, [R]
        ♦ COEF_CISA_TRAC = c_cisa_trac, [R]
#FinSi

#Si CRITERE == ' FATESOCI_MODI_AV' :

        ♦ FATSOC_A = a, [R]
        ♦ COEF_CISA_TRAC = c_cisa_trac, [R]
#FinSi
)
```

13.3.2 Opérateur MATAKE_A

MATAKE_A = a,

Permet de spécifier la valeur du coefficient sans dimension a , présent dans les critères MATAKE_MODI_AC et MATAKE_MODI_AV, confer [R7.04.01] et [U4.83.02].

13.3.3 Opérateur MATAKE_B

MATAKE_B = b,

Permet de spécifier la valeur du coefficient b , présent dans les critères MATAKE_MODI_AC et MATAKE_MODI_AV, confer [R7.04.01] et [U4.83.02].

13.3.4 Opérateur COEF_FLEX_TORS

COEF_FLEX_TORS = c_flex_tors,

Permet de spécifier la valeur du rapport des limites d'endurance en flexion et torsion alternées, confer [R7.04.01] et [U4.83.02]. Cette valeur doit être supérieure ou égale à un et inférieure ou égale à $\sqrt{3}$. Cet opérateur est à utiliser dans les critères : MATAKE_MODI_AC et MATAKE_MODI_AV.

13.3.5 Opérateur D_VAN_A

D_VAN_A = a,

Permet de spécifier la valeur du coefficient sans dimension a , présent dans les critères DANG_VAN_MODI_AC et DANG_VAN_MODI_AV, confer [R7.04.01] et [U4.83.02].

13.3.6 Opérateur D_VAN_B

D_VAN_B = b,

Permet de spécifier la valeur du coefficient b , présent dans les critères DANG_VAN_MODI_AC et DANG_VAN_MODI_AV, confer [R7.04.01] et [U4.83.02].

13.3.7 Opérateur COEF_CISA_TRAC

COEF_CISA_TRAC = c_cisa_trac,

Permet de spécifier la valeur du rapport des limites d'endurance en flexion et torsion alternées, cf. [R7.04.01] et [U4.83.02]. Cette valeur doit être supérieure ou égale à un et inférieure ou égale à $\sqrt{3}$. Cet opérateur est à utiliser dans les critères : DANG_VAN_MODI_AC, DANG_VAN_MODI_AV et FATESOCI_MODI_AV, confer [R7.04.01] et [U4.83.02].

13.3.8 Opérateur FATSOC_A

FATSOC_A = a,

Permet de spécifier la valeur du coefficient α , présent dans le critère `FATESOCI_MODI_AV`,
confer [R7.04.01] et [U4.83.02].

13.4 Mot clé facteur WEIBULL, WEIBULL_FO

Définition des coefficients du modèle de Weibull [R7.02.06].

Brièvement, la probabilité de rupture cumulée de rupture P_r d'une structure s'écrit, dans le cas d'un chargement monotone :

$$P_r = 1 - \exp \left[- \sum_{V_p} \left(\left(\frac{\sigma_I}{\sigma_u} \right)^m \frac{V_p}{V_0} \right) \right]$$

où la sommation porte sur les mailles V_p plastifiées (i.e. déformation plastique cumulée supérieure à une valeur choisie arbitrairement p_s) et m, σ_u, V_0 sont les paramètres du modèle de Weibull.

Dans le cas d'un trajet de chargement quelconque :

$$P_r(t) = 1 - \exp \left[- \left(\frac{\sigma_w}{\sigma_u} \right)^m \right]$$

avec :

$$\sigma_w^m = \sum_V \left[\max_{|u < t, \dot{p}(u) > 0|} [\tilde{\sigma}_I(u)] \right]^m \frac{V}{V_0},$$

\dot{p} désignant le taux de déformation plastique cumulée, $\tilde{\sigma}_I$ la plus grande contrainte principale à l'instant t [R7.02.06].

Enfin, si la contrainte de clivage dépend de la température (WEIBULL_FO) :

$$P_r(t) = 1 - \exp \left[- \left(\frac{\sigma_w^0}{\sigma_u^0} \right)^m \right],$$

σ_w^0 désignant la contrainte de Weibull définie conventionnellement pour σ_u^0 donnée :

$$\sigma_w^0 = \sum_V \max_{|u < t, \dot{p}(u) > 0|} \left[\frac{\sigma_u^0 \cdot \sigma_I(u)}{\sigma_u(\theta(u))} \right]^m \frac{V}{V_0} A^{p^m},$$

$\theta(u)$ désignant la température dans l'élément δV .

13.4.1 Syntaxe

```
| / WEIBULL = _F (
    ♦ M = m, [R]
    ♦ SIGM_REFE = sigmu, [R]
    ♦ VOLU_REFE = V0, [R]
    ◇ SEUIL_EPSP_CUMU = /ps, [R]
    /10-6 [DEFAULT]
)
/ WEIBULL_FO = _F (
    ♦ M = m, [R]
    ♦ SIGM_REFE = sigmu, [fonction]
    ♦ SIGM_CNV = sigm0u, [R]
    ♦ VOLU_REFE = V0, [R]
    ◇ SEUIL_EPSP_CUMU = /ps, [R]
    /10-6, [DEFAULT]
)
```

13.4.2 Opérandes

M = m, SIGM_REFE = sigmu, SIGM_CNV = sigm0u, VOLU_REFE = V0

Paramètres associés au modèle de Weibull.

SEUIL_EPSP_CUMU = ps

Déformation plastique cumulée seuil.

13.5 Mots clés facteur RCCM, RCCM_FO

Définition des grandeurs nécessaires à l'utilisation des méthodes simplifiées définies dans le règlement RCC-M [R7.04.03]. Ces grandeurs sont constantes ou fonction du paramètre 'TEMP'.

13.5.1 Syntaxe

```
|      /  RCCM      = _F (
                                ◇ SY_02      = sy,                [R]
                                ◇ SM          = sm,                [R]
                                ◇ SU          = su,                [R]
                                ◇ SC          = sc,                [R]
                                ◇ SH          = sh,                [R]
                                ◇ N_KE        = h,                [R]
                                ◇ M_KE        = m,                [R]
                                ◇ A_AMORC     = a,                [R]
                                ◇ B_AMORC     = b,                [R]
                                ◇ D_AMORC     = d,                [R]
                                ◇ R_AMORC     = r,                [R]
                                )
/  RCCM_FO = _F (
                                ◇ SY_02      = sy,                [fonction]
                                ◇ SM          = sm,                [fonction]
                                ◇ SU          = su,                [fonction]
                                ◇ S           = s ,                [fonction]
                                ◇ SH          = sh,                [fonction]
                                ◇ N_KE        = h,                [fonction]
                                ◇ M_KE        = m,                [fonction]
                                ◇ A_AMORC     = a,                [fonction]
                                ◇ B_AMORC     = b,                [fonction]
                                ◇ D_AMORC     = d,                [fonction]
                                ◇ R_AMORC     = r,                [fonction]
                                )
```

13.5.2 Opérande sy_02

SY_02 = sy

Limite d'élasticité à 0,2% de déformation plastique à la température de calcul. Cet opérande peut varier en fonction de la température.

13.5.3 Opérandes SM/SU/SH

SM = sm

Contrainte équivalente admissible du matériau à la température de calcul. Cet opérande peut varier en fonction de la température.

SU = su

Résistance à la traction du matériau à la température de calcul. Cet opérande peut varier en fonction de la température.

Sh = sh

Contrainte admissible du matériau à la température ambiante, cf. POST_RCCM[U4.83.11]

Contrainte admissible du matériau à la température maximale, cf. POST_RCCM[U4.83.11]

13.5.4 Opérande SC

SC = SC

Contrainte admissible du matériau à la température ambiante, confer POST_RCCM [U4.83.11]

13.5.5 Opérande S

S = S

Contrainte admissible du matériau. Cet opérande varie en fonction de la température, confer POST_RCCM [U4.83.11].

13.5.6 Opérandes N_KE/M_KE

N_KE = n, M_KE = m

Ces opérandes permettent de définir les valeurs de n et m deux constantes du matériau.

Ces caractéristiques sont nécessaires pour le calcul du coefficient de concentration élasto-plastique K_e , qui est défini par le RCC-M comme étant le rapport entre l'amplitude de déformation réelle et l'amplitude de déformation déterminée par l'analyse élastique.

$$\left\{ \begin{array}{ll} K_e = 1 & \text{si } \Delta \sigma \leq 3 S_m \\ K_e = 1 + (1 - n) \left(\frac{\Delta \sigma}{3 S_m} - 1 \right) (n(m - 1)) & \text{si } 3 S_m < \Delta \sigma \leq 3 S_m \\ K_e = \frac{1}{n} & \text{si } 3 m S_m \leq \Delta \sigma \end{array} \right.$$

13.5.7 Opérandes A_AMORC/B_AMORC

A_AMORC = a, B_AMORC = b

Coefficients de la loi d'amorçage.

13.5.8 Opérande D_AMORC

D_AMORC = d

Distance d'extraction des contraintes.

13.5.9 Opérande R_AMORC

R_AMORC = r

Paramètre de la relation entre contrainte et contrainte efficace.

13.6 Mots clés facteur UMAT, UMAT_FO

Définition des paramètres permettant l'utilisation d'une loi de comportement « utilisateur », c'est à dire dont la routine d'intégration du comportement est fournie par l'utilisateur, cf. [U2.10.01]. Ces grandeurs sont constantes ou fonction du paramètre 'TEMP'. Il est possible de fournir jusqu'à 50 paramètres.

13.6.1 Syntaxe

```
| / UMAT = _F (
|         ◇ C1      = C1,          [R]
|         ◇ C2      = C2,          [R]
|         ...       [R]
|         ◇ C50     = C50,         [R]
|         )
| / UMAT_FO = _F (
```

```
      ◇ C1          = C1,          [fonction]
      ◇ C2          = C2,          [fonction]
      ...           [fonction]
      ◇ C50         = C50          [fonction]
    )
```

13.7 Mot clé simple **MATER**

La commande `DEFI_MATERIAU` peut être ré-entrante mais chaque comportement reste unique. On ne permet en effet pas de remplacer un comportement déjà présent dans le matériau mais seulement enrichir la structure de donnée de caractéristiques matériau supplémentaires.

Exemple d'utilisation :

Seules les caractéristiques thermique du matériau sont définies dans un premier temps. Puis, après la résolution thermique, on ajoute les propriétés mécaniques sous `ELAS` :

```
ACIER_TH=DEFI_MATERIAU( THER=_F( LAMBDA=54.6,
                                RHO_CP=3710000.0, ), );

CHM=AFFE_MATERIAU(      MAILLAGE=MAIL,
                      AFPE=_F( TOUT='OUI',
                                MATER=ACIER_TH,
                                TEMP_REF=20.0, ), );

...

TEMPE=THER_LINEAIRE(    MODELE=MODETH, ...
...

ACIER_TH=DEFI_MATERIAU( reuse=ACIER_TH,
                        MATER=ACIER_TH,
                        ELAS=_F( E=204000000000.0,
                                NU=0.3,
                                ALPHA=1.092e-05, ), );

RESUT=MECA_STATIQUE( MODELE=MODMECA, ...
```